ميكانيك التربة والأساسات



الجيولوجيا الهندسية: Engineering geology

الجيولوجيا الهندسية:

تعتبر الجيولوجيا الهندسية من العلوم الأساسية الهامة في الهندسة المدنية؛ حيث تفيد المهندسين والفنيين في حل المشكلات التي تصادفهم في كثير من المنشات الهندسية مثل الأنفاق والسدود والطرق ...إلخ

من أهم خواص الصخور:

القساوة: Hardnes

تعتبر القساوة من أهم الخواص المميزة للمعادن ، علماً بأنها خلاصة مجموعة من الخواص المعادن ، علماً بأنها خلاصة محموعة من الخواص الفيزيائية (لا يوجد لها تعريف عام) . غير أنه أتفق على التعريف الحدود التالى :

هي عبارة عن المقاومة التي يبديها المعدن تجاه تأثير أو دخول (خدش) أجسام غريبة في الوجه البلوري أو المقاومة تجاه القص (الانكسار) لهذه الأوجه البلورية. وبتعبير آخر تكون القساوة: هي المقاومة التي تبديها الأوجه البلورية (السطح الخارجي للبلورية) تجاه الخدش الميكانيكي (جرح الوجه).

طريقة الخدش لموهز: 1839 – 1773 (cratch methods of Mohs (1773 – 1839)

وتعتمد هذه الطريقة على المقارنة بين قساوة معدن ما (قساوته غير معروفة مثلاً) وقساوة معدن آخر معروفة . ولهذا الهدف يستخدم سلم القساوة الذي يضم عشرة معادن نختلفة القساوة ، مرتبة حسب وجودها في الطبيعة من الأضعف إلى الأقسى الذي يؤثر في جميع المعادن التي تكون قبله (جدول 1-4).

جدول 1-4: سلم موهز للقساوة

| الصيغة الكيمياثية | اسبم المعلن | درجة القساوة | |
|--|--|--|--|
| Mg ₃ Si ₄ O ₁₀ (HO) ₂ | تالك | 1 | |
| CaSO ₄ .2H ₂ O | جبس | 2 | |
| CaCO ₃ | كلسيت | 3 | |
| Ca F ₂ | فلوريت | 4 | |
| Ca ₅ F(PO ₄) ₃ | أباتيت | 5 | |
| K ₂ O.AL ₂ O ₃ .6SiO ₂ | فلدسبار | 6 | |
| SiO ₂ | كوارتز | 7 | |
| AL ₂ SiO ₄ (F,OH) ₂ | توباز | 8 | |
| AL ₂ O ₃ | كوروندم | 9 | |
| С | ألماس | 10 | |
| | Mg ₃ Si ₄ O ₁₀ (HO) ₂ CaSO ₄ .2H ₂ O CaCO ₃ Ca F ₂ Ca ₅ F(PO ₄) ₃ K ₂ O.AL ₂ O ₃ .6SiO ₂ SiO ₂ AL ₂ SiO ₄ (F,OH) ₂ AL ₂ O ₃ | العدن العياقية الكيمياقية الكيمياقية الكيمياقية الكيمياقية الكال الله الله الله الله الله الله الل | |

وستقصر دراستنا هنا على القشرة الأرضية مع التركيز على الطبقات الرسوبية المنتشرة في القطر ، وذلك لأن أغلب المنشآت الهندسية في الهندسة المدنية ستقع ضمنها أوعليها.

١-٢- الصـخور:

١-٢-١- لمحة وتعويف:

إن كلمة صخر لا تحمل بالضرورة نفسس التعريف لدى الجيول وحيين والمهندسين ، إذ يعتبر الجيولوجي أن الصخر هو ركام المعادن بينما لا يوجد تعريف هندسي واضح للصخر. والتعريف الأكثر استعمالاً في الهندسة المدنية وبصورة خاصة في أعمال الطرق هو أن كل ارض طبيعية لا يمكن حفرها إلا بالتفجير تسمى صخرا"، وماعدا ذلك فتدعى تربة.

إنَّ علم ميكانيك الصخور قد بدىء بدراسته وتطويره منذ وقت قصير، بينما علىم ميكانيك التربة فقد عولج بعناية فائقة من الدراسة والبحث منذ سنين عديدة ويعرد ذلك إلى أن التعامل مع التربة أصعب بكثير من التعامل مع الصخور، كما أن الكثير من المهندسين يتعاملون مع التربة بشكل أكبر بكثير من التعامل مع الصخور، إذ أن معظم المنشآت الهندسية ومنها الطرق تقام بشكل رئيسي على التربة.

١-٢-٢- الأنواع الونيسية للصخور:

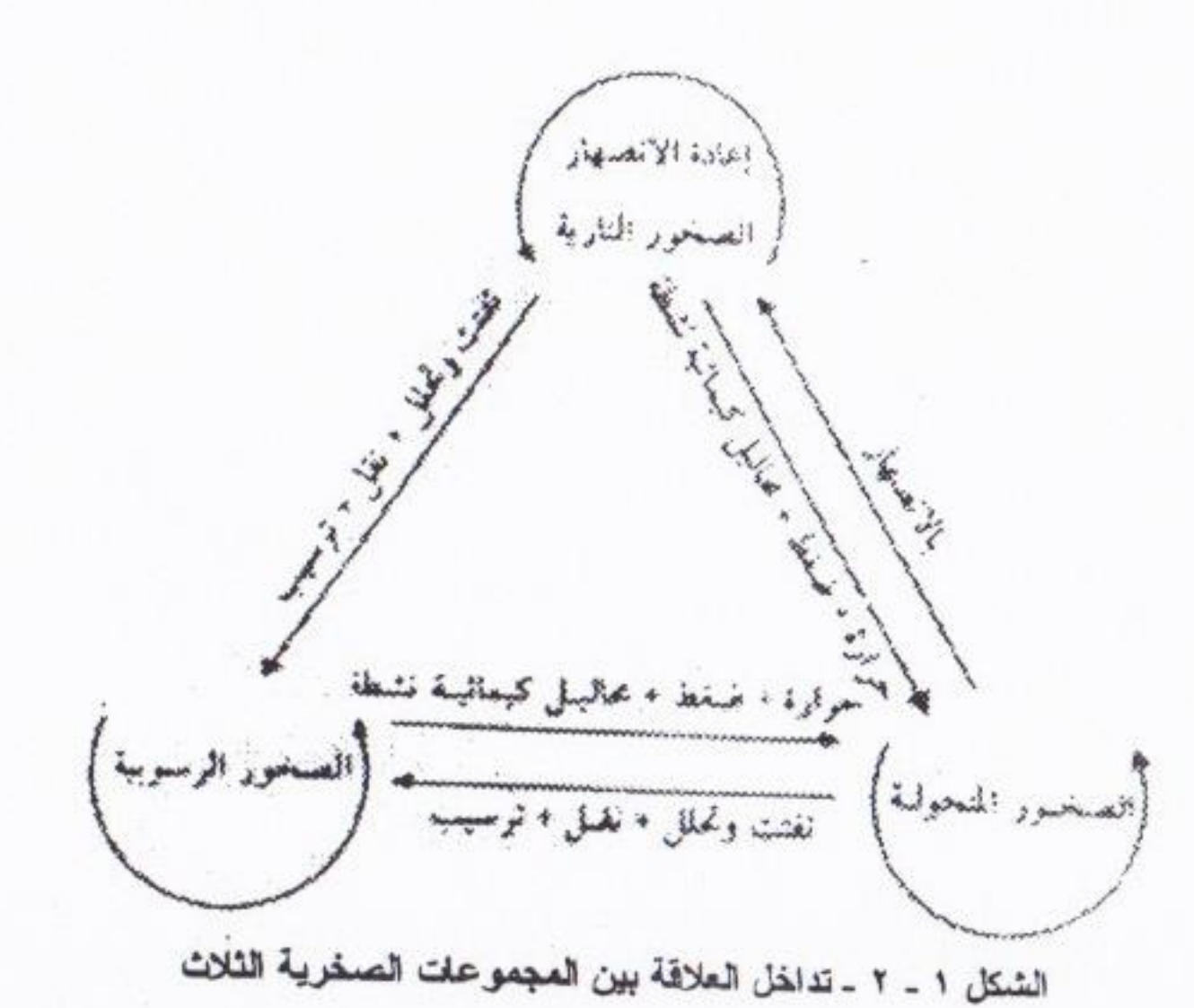
كما هو معروف في الجيولوجيا فإن صخور القشرة الأرضية بمكن تصنيفها حسب طريقة تكوينها إلى ثلاث مجموعات.

١- بحموعة الصخور النارية (IGNEOUS ROCKS): وقد تكونت من تحمد المسواد المنصهرة (المكما).

٢- مجموعة الصخور الرسوبية (SEDIMENTARY ROCKS) وهي ذات المحموعة الصخور الرسوبية (SEDIMENTARY ROCKS) وهي ذات تكوير ثانوي ، إذ تتألف من غيرها من الصخور والمعادن المنقولة إلى قعر البحار والمحيطات تحت تأثير عوامل ميكانيكية أو كيميائية أو عضوية.

٣- مجموعة الصخور المتحولة (METAMORPHIC ROCKS): وهـــي صـــخور تكونت من صخور نارية أصيلة أو صخور مرسوبية تحولت نتيجـــة لتـــأثير الحـــرارة

والضعط، والشــكل (٢-١) يوضح تداخل العلاقة بين المحموعات الثلاث عــبر دورة تكون الصحور . وبما أنما دورة فلا يمكن تحديد بداية أو نهاية لها.



وتجدر الإشارة إلى أنَّ أكثر من % 95 من حجم الأرض مؤلف من الصـــخور التفكير بأن نسبة الصخور الرسوبية ذات أهمية محدودة، وعلى العكس من ذلك فـــإن الصخور الرسوبية ذات أهمية كبيرة بالنسبة لأعمال الهندسة المدنية وهـــذا يعـــود إلى حوالـــــي % 75من الصخور المكشوفة على سطح القشرة الأرضية (محال أعمـــال الهندسة المدنية) هي من الصخور الرسوبية.

١-٢-١- خواص الصخور:

إن ما يهم المهندس المدني بشكل عام، ومهندس الطرق بشكل خــاص مــن خواص الصخور هو معرفة:

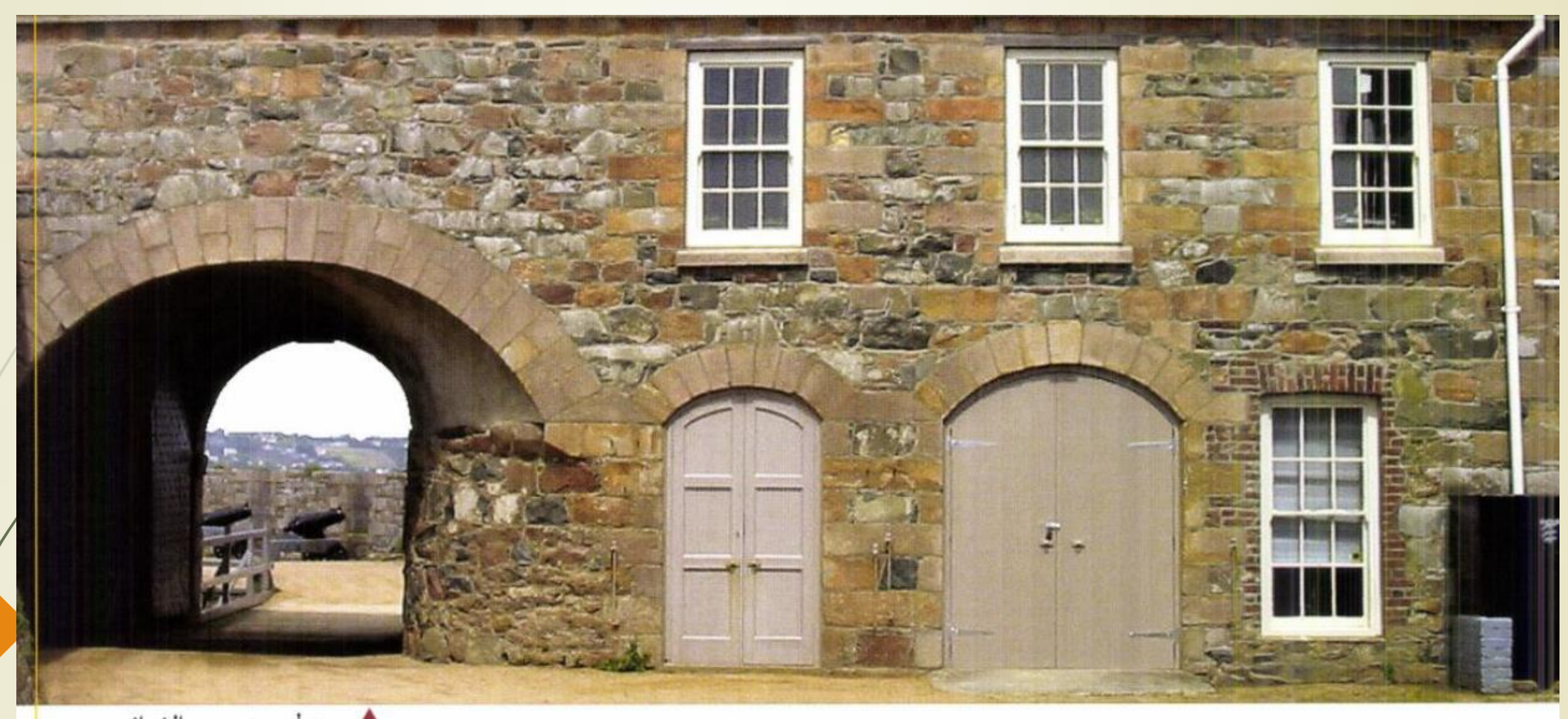
- قوة هذه الصخور (Strength properties) وتأثير الماء عفي مقاومتها ومرونتها.
 - انسباها (Creep of Rocks) تحت تأثير الإجهادات العالية (الردميات العالية) .
 - تأثير الشروط المحيطية.
 - استعمالها كمواد إنشائية.
 - مقدار سهولة الحفر فيها.

الجدول (۱ - ۱) - الخواص المركاتيكية للصخور MECHANICAL PROPERTIES OF VARIOUS ROCKS

| | | ICAL PROPI | KILESOF | VARIOUS ROC | , N.S |
|----------------------------|---|----------------|-----------|-----------------------|-----------------------|
| نوعية الصخر | عامل يونغ في حالة عدم التحميل | الكثافة الكلية | المسامية | إجهاد الانضغاط | إجهاد الشد |
| | (10 ⁵ (Kg/cm ²) | (g/cm³) | (%) | (Kg/cm ²) | (Kg/cm ²) |
| الغرانيت | 2.6 | 2.6 - 2.7 | 0.5 - 1.5 | 1000-2500 | 70 – 250 |
| الدولوريت | 8-11 | 3.0-3.05 | 0.1-0.5 | 2000-3500 | 150-300 |
| الغابرو | 7-11 | 3.0-3.1 | 0.1-0.2 | 1000-3000 | 150-300 |
| البازلت | 6-10 | 2.8-2.9 | 0.1-1.0 | 1500-3000 | 100-300 |
| الحجر الرملي | 0.5-8 | 2.0-2.6 | 5-25 | 200-1700 | 40-250 |
| الحجر الطبي الصفحي | 1-3.5 | 2.0-2.4 | 10-30 | 100-1000 | 20-100 |
| الحجر الكلسي | 1-8 | 2.2-2.6 | 5-20 | 300-3500 | 50-250 |
| الدولوميت | 4-8.4 | 2.5-2.6 | 1-5 | 800-2500 | 150-250 |
| الفحم | 1-2 | | | 50-500 | 20-50 |
| الكوارنزيت | | 2.65 | 0.1-0.5 | 1500-3000 | 100-300 |
| الغنايس | | 2.9-3.0 | 0.5-1.5 | 500-2000 | 50-200 |
| الرخام | | 2.6-2.7 | 0.2-2.0 | 1000-2500 | 70-200 |
| الطين الصنحري الصفحى | | 2.6-2.7 | 0.1-0.5 | 1000-2000 | 70-200 |
| C. | 1 | 7.3 | | | |

٣



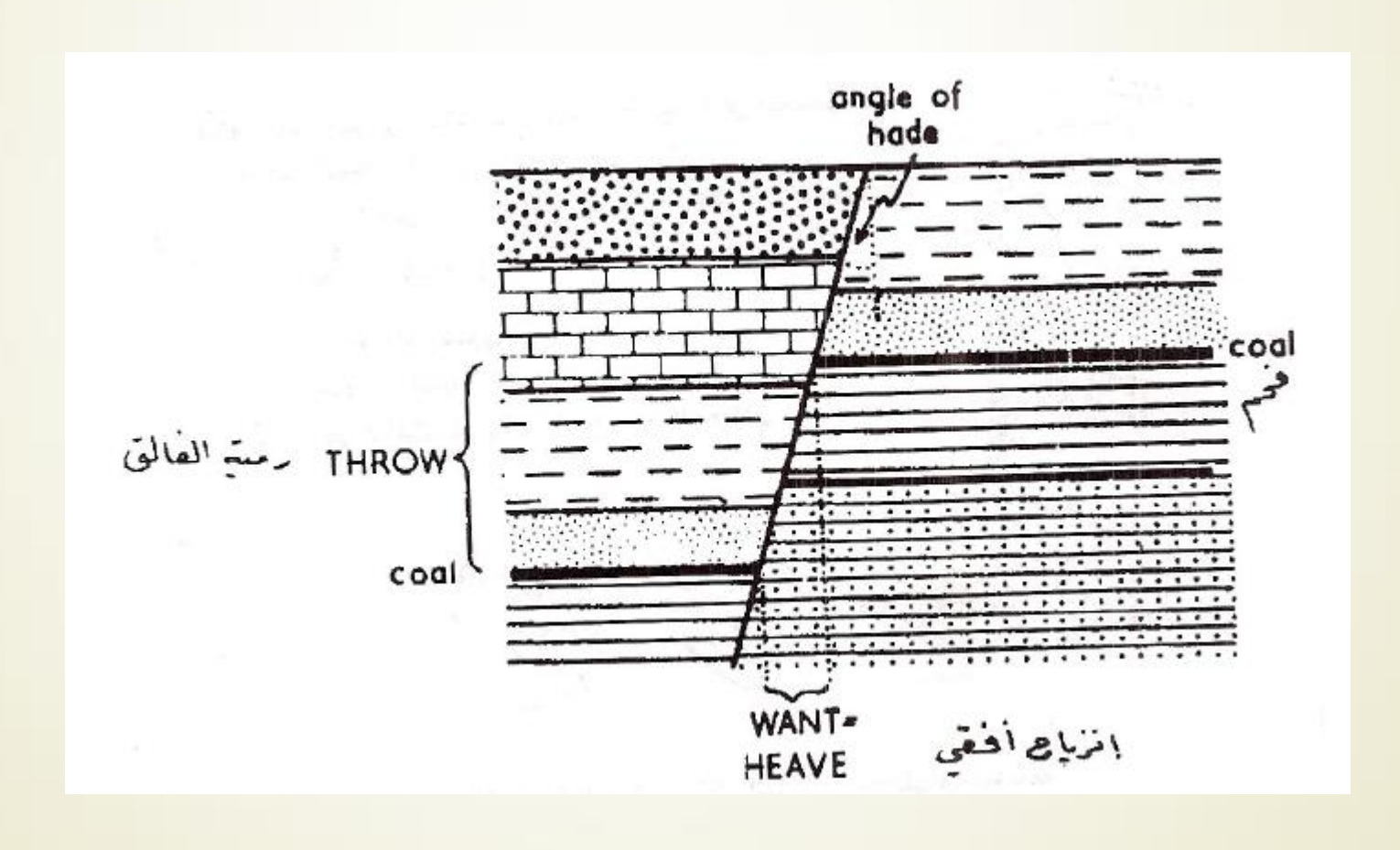


منزل مبني من الغرانيت



Fault : الفوالق = 1-3-2-2

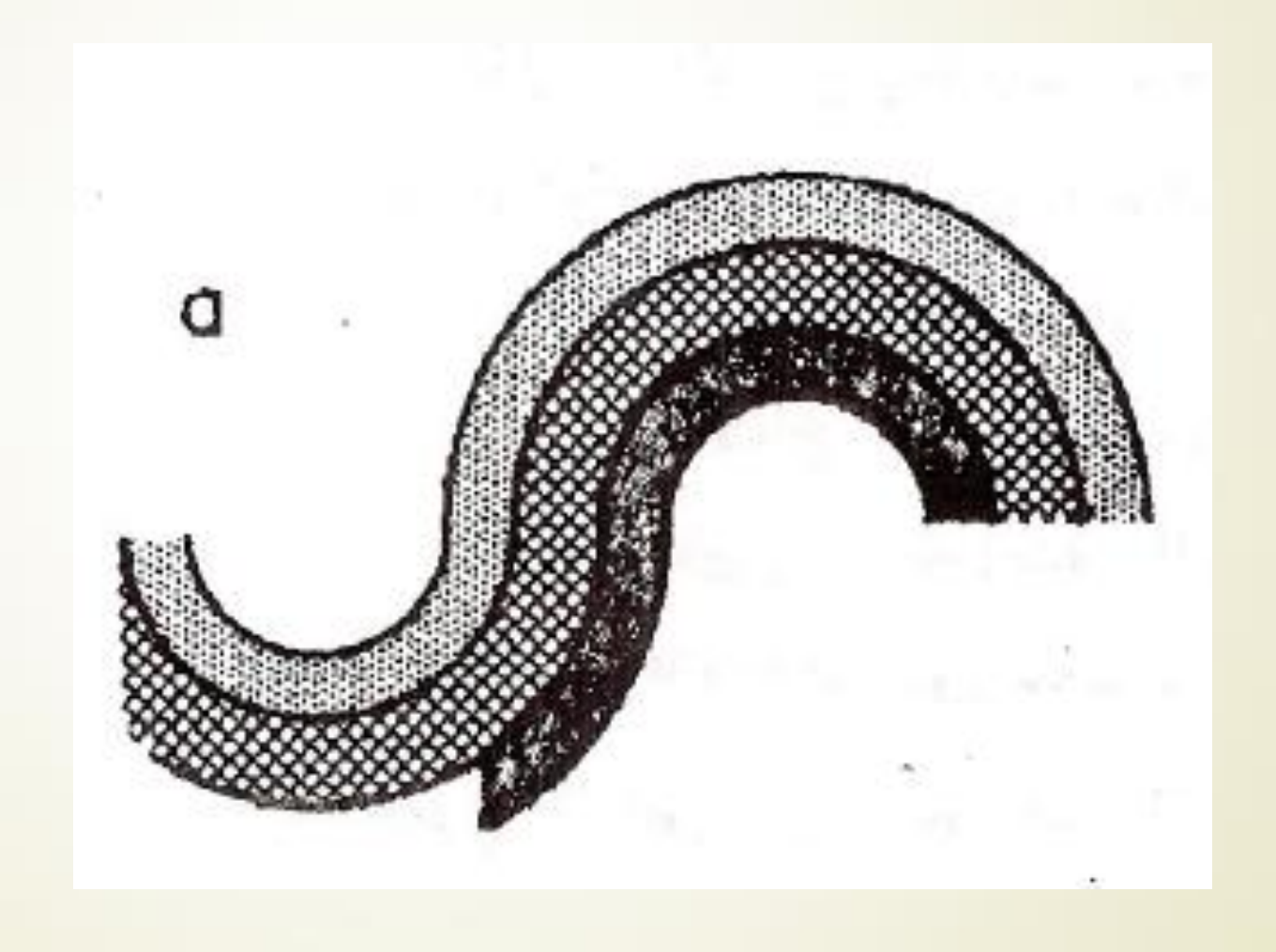
الفوالق أو الصدوع هي انكسارات تصطحب بتحريك الصخور من مكانها.



2-3-2-2 الطيات: Folding

فكثيراً ما يرافق ظهور الفوالق، على الخرائط الجيولوجية، العديد من الطيات (ارتفاع وانخفاض للطبقات بشكل منتظم أو غير منتظم = طي)، التي تـؤثرفي العمـق كالفوالق في الطبقات

2-3-2-2 الطيات: Folding





يستحسن دائماً إجراء تجارب موقعية في النفق لأنها تعطي نتائج جيدة و معلومات هامة عن خواص الصخور ، وإمكانية ستعمال المواد المفجرة ، واختيار نوعية البناء وكيفية الحفر (الشق) .

وبناء على اقتراحات (STINI (1950) توقف الدراسات الجيوهندسية على

توضيح النقاط التالية ذات الأهمية بالنسبة للتقر ر الجيولوجي:

1 -كيفية توضع الصخور: شاقولي (شديد الميل)، أفقي،

2 - ثخانة الطبقات واتجاه الفواصل الطبقية .

3 –الوزن النوعي وكثافة الصخور المراد اختراقه .

4 - التركيب المعدني: منها ما هو الضار مثل الح بد الكبريتي، أو ما هو مخفف من مقاومة الصخر مثل الميكا، أو الاحتواء على لغضار،

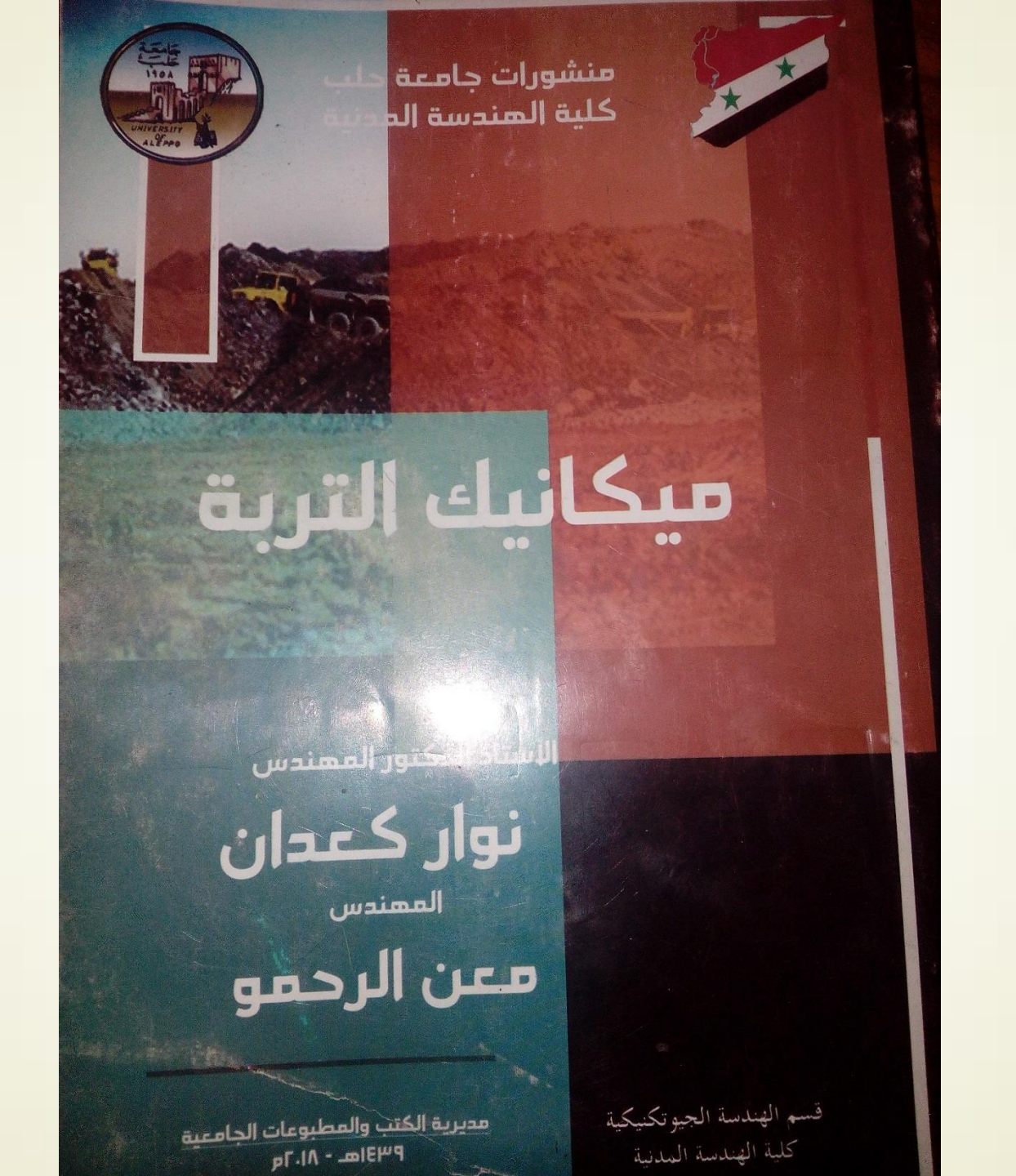
5 –البنية الحبيبية ، والنسيج

6 - صلابة الصخر: التي تؤثر مباشرة على أعمال الحفر والتفجير وعلى عملية اقتلاع الصخر من المقلع (المقاومة الاستثمارية) .

7 –هيئة تكون الصخر في البروفيل : متطبق ، كتلم ، متورق .

8 - تأثيرات الصخور التكتونية (البنيوية) : التشيق، التصدع ، التفلق ، الطحن .

9 - مقاومة الصخور الشدية والانضغاطية في أماكن مختلفة من النفق. 10 - عامل ثبوتية الجبل: نوع الضغط الجبلي وقيمته. 11 - مقاومة التجوية الصخرية: حساب طول القطعة (من النفق) التي يمكن أن تتأثر بالصقيع ثم تبطينها. الهزات الأرضية أو الزلازل: هي اهتزازات فجائية لأجزاء من القشرة الأرضية مصدرها باطن الأرض ترافقها أصوات أرضية عميقة. كثيراً ما تصطحب هذه الاهتزازات بشقوق أرضية و تصدعات تتدفق منها أحياناً مياه جوفية و غازات طبيعية كما ترتبط معها انهيارات جبلية و انزلاقات أو تشكيل منخفضات محلية.



الفصل الأول التحريات الجيوتكنيكية والتجارب الحقلية Field Exploration

١-١ مقدمة

يتطلب تحديد خصائص طبقات تأسيس المنشآت الهندسية عموماً معرفة بعض العناصر اللازمة والتي تتمثل بنوع الحمولة المنقولة والشروط المسموحة للبناء وسلوك التربة وتغيراتها الناجمة عن تحمل حمولة المنشأة وأخيراً الحالة الجيولوجية للتربة وذلك بمعرفة شكل توضع الطبقات وموقع منسوب البساط المائي.

كما أنه هناك حاجة ملحة للتعامل مع المفاهيم الأساسية لعلم ميكانيك التربة باعتبار أنها عنصر فعال في سياق دراسة وتصميم أساسات أية منشأة بمدف الحصول على حلول أمينة واقتصادية في آن واحد وللوصول إلى تحديد هذه المفاهيم يتوجب وضع برنامج للتحريات الحقلية يتضمن مجموعة من التجارب التي يتم تنفيذها حقلياً ويتبع ذلك مجموعة من التجارب المخبرية سيتم التعرف عليها في الفصل الثاني من الكتاب.

Field Exploration Program برنامج التحريات الحقلية

إن معرفة طبيعة ومواصفات تربة التأسيس أمر ضروري للغاية، وندعو بالتحريات الحقلية كل الجهود المبذولة لمعرفة الخصائص الجيوتكنيكية للتربة وطبيعة الطبقات وسماكاتها، لذلك فإن تجهيز وإعداد برنامج للتحريات الحقلية يجب أن يساعد في الحصول على بعض المعلومات اللازمة مثل:

- ١- اختيار نوع الأساس وعمق التأسيس المناسب للمنشأة المدروسة.
 - ٢- حساب قدرة التحمل الحدية و المسموحة لتربة التأسيس.
- ٣- تقدير القيمة المتوقعة للهبوط الكلي لتربة التأسيس تحت المنشأة المدروسة.

77

ع - تحديد المشاكل الخاصة بتربة التأسيس من حيث سلوكيتها، كأن تكون ترب منتفيعة أو من النوع القابل للانهيار الخ.

٥ - تحديد منسوب البساط المائي.

٦- تقدير قيم دفع التربة على المنشآت (جدران استنادية).

٧- إمكانية استبدال تربة التأسيس الضعيفة بترب محسنة.

وعلى المهندس المصمم أن يتذكر دوماً أن التربة في أي موقع هي غير متجانسة وبالتالي فإن التغيرات التي تطرأ عليها متبدلة أيضاً، إلا أن معظم نظريات ميكانيك التربة تعتبر الحالة المثالية وأن تطبيق مثل هذه النظريات على مسائل الأساسات يتطلب تقدير دقيق للقيم والمعلومات المستقاة من برنامج التحريات. وتقدر عادة كلفة أعمال التحريات الحقلية كنسبة من الكلفة العامة للمنشأة بحدود % 0.1-0.5 منها.

۲V

1-۲-۱ استقصاء المعلومات الأولية حول نوع المنشأة ووظيفتها وطبيعة دراستها الإنشائية والحمولات القصوى للأعمدة مع مجازات هذه الأعمدة، كما يجب معرفة " الكود " أو النظام الهندسي المعتمد في الدراسة.

1-۲-۱ الاستكشافات والزيارات الميدانية من قبل المهندس مباشرة وذلك لتأمين ما أمكن من المعلومات التالية:

أ-طبوغرافية الموقع العام للمشروع، احتمال وجود طبقات نفوذة، إمكانية حصول انهيار للمنحدرات الموجودة، إضافة إلى الأضرار الناجمة عن انتفاخ الترب، وكل ذلك يمكن ملاحظته بشكل مبدئي بزيارة الموقع.

ب-تطبق الترب ابتداءً من المناطق العميقة وحتى سطح التربة.

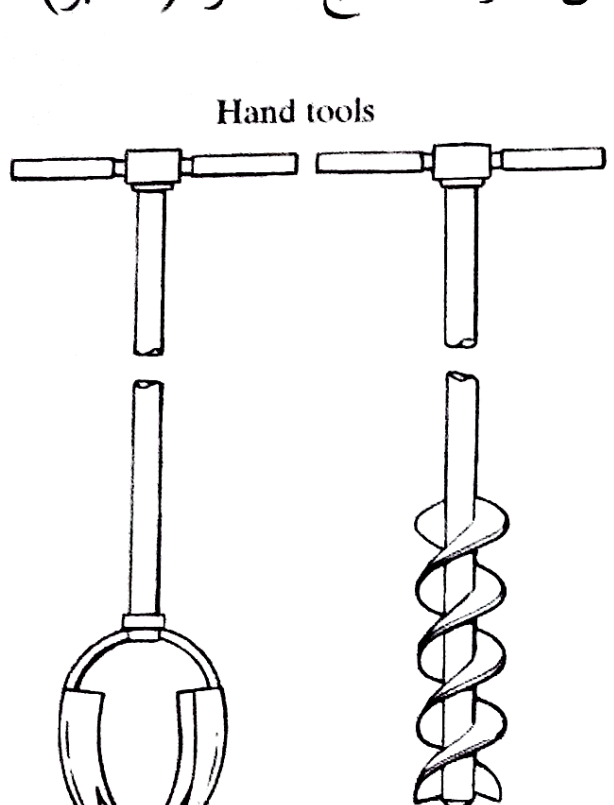
ج-طبيعة النباتات في الموقع وهذا يعبر عن نوعية الترب بشكل مبدئي، فبعض النباتات تنشط في الرس الغضارية القابلة للانتفاخ والذي يؤدي إلى مشاكل في حالات التأسيس.

- د وجود مكامن مياه متاخمة لموقع المنشآت.
- ه منسوب المياه الجوفية وحركته الفصلية (بين الشتاء والصيف).
- و -وجود منشآت قديمة قد تحوي على تشققات ظاهرة في جدرانها، مما يعطي فكرة عن حدوث انتقالات تفاضلية، يجب البحث عن أسبابها لتفاديها في المنشآت الجديدة.

Soil boring هي عملية يدوية أو ميكانيكية تستخدم في حفر التربة بواسطة أداة سبر بحيث تشكل حفرة اسطوانية ضمن التربة، ناتج الحفر (السبر)،

يمكن أن يكون عينات سليمة أو مخربة ويستفاد منها لمعرفة نوع التربة وتطبيقها مع تحديد ميل الطبقات إن وجد وهكذا فإن مجموعة من السبور تساعد في رسم المقطع الجيولوجي للمنطقة المدروسة.

وتستخدم أدوات السبر اليدوية الشكل (١-١) في بعض الأعمال الهندسية التي لا تتطلب دراسة التربة أكثر من 5m مثل مشاريع الطرق والمطارات وبعض المنشآت الصغيرة. ويتم بواسطة هذه الأدوات استخراج العينات الترابية السليمة والمخربة على السواء.



posthole auger helical auger

الشكل (١-١) أدوات السبر اليدوية

ويتبع تحديد عدد وعمق السبور إلى نوعية المنشأة ومساحة الموقع فبالنسبة للمباني العادية تنفذ ثلاثة سبور، إذا كانت الأرض مستوية وخمسة سبور، إذا كانت غير مستوية (أربعة عند زوايا المبنى والخامس في المركز) أما بالنسبة لمنشآت الأبراج الكهربائية والمآذن وغيرها ذات الحمولات المركزة فينفذ سبر وحيد عند محور الحمولة المركزة.

وبالنسبة للمنشآت ذات الطابق الوحيد يمكن اعتبار عمق السبر بحيث تتراوح قيمته بين السبر المنشآت ذات الطوابق المتكررة والعالية فيتم الاستمرار في حفر السبور حتى الوصول إلى طبقة صخرية أو طبقة ترابية ذات مقاومة عالية.

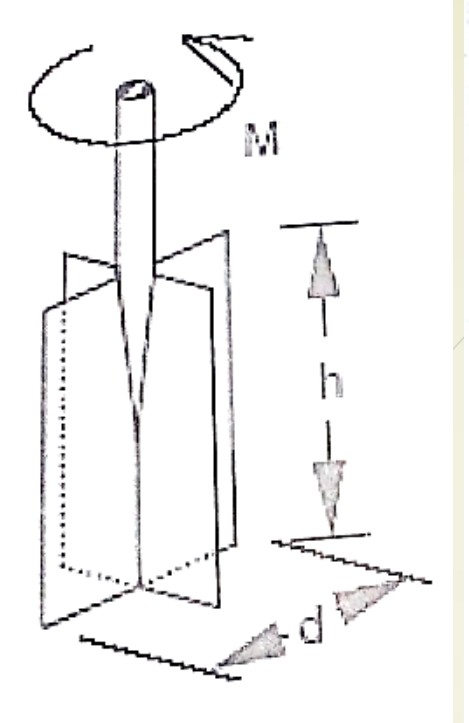
| Y | _ |
|---|---|

الجدول (٢-١) تحديد النباعد الأصغري بين السبور

| التباعد الأصغري بين السبور بالمتر | نوع المنشأة |
|-----------------------------------|---------------------------|
| 10-30 | أبنية متعددة الطوابق |
| 20-60 | منشآت صناعية وحيدة الطابق |
| 40-80 | سدود |
| 250-500 | طرق دولية |

٣٣

وعموماً لا يوحد عينة سليمة بكل معنى الكلمة إلا أنه يسبب أن درجة تشوهها أثناء استخراجها هي ضنيلة بالنسبة للعينات المخربة فعلاً يمكننا تسميتها بالعينة السليمة. جه عي تبقى العينة سليمة يجب الحفاظ عليها (بالتشميع مع تعديد اتجاه توضع رست العينة) ونقلها إلى المحبر بشكل أمين دون تعريضها إلى اهتزازات تؤدي إلى تغيرات رح مرح فيها. وفي الترب العديمة التماسك يتعذر الحصول على عينات سليمة والتي تبدي زيادة في الحجم أثناء عملية الاستخراج،



الشكل (٩-٩) جهاز المروحة الدوارة

٧-١-٥ النجارب الحقلية: وهي مرحلة أساسية من برنامج التحريات الحقلية وتتمة للمراحل السابقة وتشمل مجموعة من التجارب التي تجرى في موقع العمل للحصول على قيم ونتائج تتعلق بخصائص التربة في موقع المشروع، من هذه التجارب:

أ- قياس مقاومة القص في الحقل بالمروحة الدوارة:Field Van Testing FVT

تثبت المروحة ضمن التربة ثم تطبق عليها مزدوجة فتل T

تستخدم هذه التجربة الحقلية لقياس مقاومة القص غير المصرفة C_{n} في الحقل وذلك للترب الغضارية الطرية والمفككة، ويتألف جهاز التجربة من أربعة شفرات تشكل مروحة مثبتة في نهاية قضيب مزود بقبضتين، الشكل (9-1) h = 2d.

ج- تجربة الاختراق النظامية (Standard Penetration Test (SPT)

وهي من أكثر طرق الاحتراق شيوعاً والتي تقيس مقاومة احتراق مسير نظامي الشكل (١-١٣) في أي سير مدروس وتتميز بأنها من الطرق السريعة.

-تعرف مقاومة الاحتراق (N) أو (SPT N) بأنها عدد الطرقات اللازمة لانغراس المسبر النظامي لعمق قدره mm 305 وذلك بعد انغراس أولي قدره152.5

بعد بخهيز حفرة الاعتبار حيث تنظف تماماً من بقايا الحفر يتم تئبيت جهاز الاختراق على أرضية الحفرة وتبدأ عملية الانغراس بواسطة المطرقة والتي تزن 0.762 m و 0.762 m) وتسقط من علو قدره 0.762 m.

يسجل عدد الطرقات الا التي يصل بتأثيرها المسبر إلى العمق 152.5mm ويستمر في غرس المسبر ضمن التربة حتى يصل إلى عمق يساوي ضعف العمق الأولي ويسجل عندها عدد الطرقات الإجمالية N2 فنحصل على مقاومة الاختراق (SPT N).

 $N = N_2 - N_1$

70

الشكل (١-٣٠) نوع من المطارق المستخدمة في تجربة SPT

77

. موقف التجربة في الحالات التالية:

- عندما يصل عدد الطرقات 100.

- عندما لا يتجاوز الإنعرس 10 mm لكل ٢٥ طرقة.

- عندما لا يكون تحاوب في الإنغراس بعد الطرقة العاشرة.

يستفاد من نتائج بحربة (SPT) في معرفة نوعية الترب الغضارية حيث قوامها، كما يبين الجدول (۱-٥)

الجدول (١-٥) قوام الترب الغضارية بدلالة N

| المنفطأ غيا | القوام | مقاومة الاختراق |
|----------------------|---------------|-----------------|
| الضغط غير المحصور qu | Consistency | N |
| kN/m² | طري جداً | 0 – 2 |
| 0 - 25 | | 2 5 |
| 25 - 50 | طري | Z == J |
| 50 - 100 | متوسط التماسك | 5 – 10 |
| 100 - 200 | متماسك | 10- 20 |
| 200 - 400 | شديد التماسك | 20 – 30 |
| أكبر من 400 | قاسي | أكبر من 30 |

يمكن الاستعانة من النتائج الحقلية العديدة لقيم مقاومة الاختراق في الترب المفككة والغير متجانسة لمعرفة مواصفات هذه الترب بشكل أولي وذلك كما يوضح الجدول (٦-١).

الجدول (۱-۱) مواصفات الترب المفككة بدلالة N

| | زاوية الاحتكاك الداخلية | الكثافة النسبية | الاختراق\مقاومة | |
|--------------------|--|--|-----------------|--|
| وزن واحدة الحجم | هٔ میرد د در میرد میرد میرد میرد میرد میرد | Dr % | | |
| $\gamma_b kN/m^3$ | 26 – 30 | 5 – 0 مخلخلة جداً | 0-5 | |
| 11 - 16 | | المحالة المحال | 5 – 10 | |
| 14 - 18 | 28 – 35 | 30 - 60 متوسطة | 10 – 30 | |
| 17 - 20 | 35 – 52 | 60 - 95 كثفة | | |
| 20 - 22 | 38 – 46 | الميت | | |

و - تجربة التحميل الحقلية Plate Load Test

تستخدم في قياس مقاومة التربة للإجهاد والمطبقة في الحقل مع تحديد قيم الهبوطات المتوقعة، حيث يتم تطبيق حمولات تدريجية على سطح التربة بواسطة صفيحة مربعة $mm = 305 \times 305$ أو دائرية mm = 25m mm = 25m هذه التجربة.

- Meßuhr bzw. Wegautnehmer
- 2 Traggestell
- 3 Drehpunkt
- 4 Tastarm
- 5 Last
- 6 Linearlager
- 7 Dosenlibelle
- s_M, s Setzung an der Meßuhr bzw. am Wegaufnehmer

الفصل الثاني Properties of Soils الأساسية للترب

- ميكانيك التربة (خواص التربة وسلوكها)
- ديناميك التربة (الخواص الديناميكية للترب، هندسة الزلازل)
 - هندسة الأساسات (الأساسات السطحية والعميقة)
 - هندسة الطرق (الرصف الصلب والمرن)
 - ميكانيك الصخور (توازن واستقرار الصخور، الأنفاق)
 - الترب المسلحة (تحسين الترب)

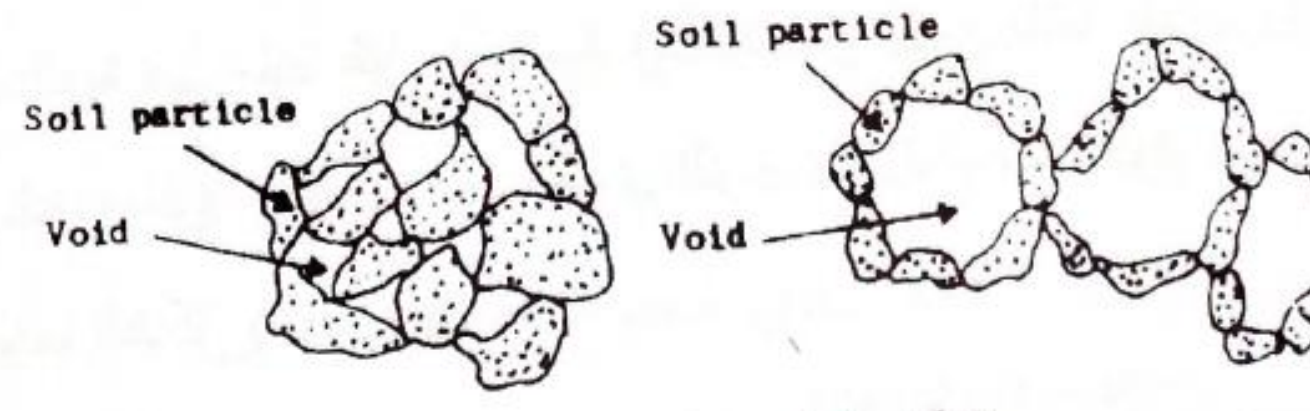
١-٣-١ تكوين التربـــة:

إن الحبيبات الصلبة التي تتألف منها التربة غير العضوية هي عبارة عن نتـــائج تأثير القوى الميكانيكية والكيميائية على الصخور الأصلية حيث تؤدي هذه القوى إلى عملية تأكل وتفتت هذه الصحور (The disintegration or decompasition of rocks).ومن بين القوى المؤثرة، يمكن أن نذكر تأثير الرياح والماء وتــواتر التجمـــد والتميع والتغيرات الحرارية والتحلل الكبميائي وغيرها، تبعاً للعوامل الرئيسية المسؤولة عن تكوين وتواجد التربة في موقع معين فإننا يمكن أن نميز بين الترب المتبقية والتـــرب المنقولة.

- الترب المتبقية: وهي الترب التي تكون موجودة فوق الصخر الأم مباشرة وتتميز بتركيب معدفي مشابه للصخر الأم، وتختلف درجة تماسكها وفقاً لعمقها، وطبقاتما ذات التدرج الانتقالي من التربة إلى الصخر، كما أن حواف حباتما حادة خلافاً لأنواع الترب المنقولة.

- الترب المنقولة: وهي الترب التي ترسبت بعد أن نقلت من مواقع تكوينها إلى مواقع أخرى بإحدى وسائط النقل كالماء والرياح والجليد واندفاعات البراكين، وتنميز بفقدالها للتجانس واستدارة حبالها. وتعتبر التربة المنقولة بوساطة المياه الجارية أهم تربة للمهندس في قطرنا نظراً لشمولها في طبيعتنا بشكل أوفر وانتشارها بشكل أوسع.

تكون التربة الحبيبية كالرمال والحصى والمشكلة من الحبات التي يزيد قطرها عن D>0.01mm مجموعات غير مترابطة حيث أن قوى الثقالة فيما بيتها أكبر من القوى بين الحبات كما في الشكل (٨-٢)



الشكل (٢-٨) بنية التربة الحبيبية (الخشنة)

تتباين هذه الترب فيما بينها وفق قيمة الكثافة النسبية فهي إما أن تكون مخلخلة أو كثيفة في توضعها وهي عموماً تتحمل الإجهادات الستاتيكية وتنهار عند الحمولات الديناميكية أو عند تغير المحتوى المائى فيها بشكل مفاجئ.

٢-٤-٢ بنية الترب المتماسكة:

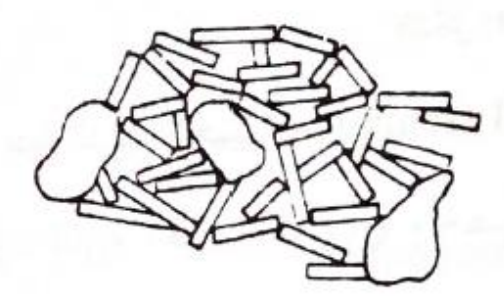
تتضح هذه البنية بواسطة الاعتماد على الجهر الإلكتروني وهي عبارة عن تجمعات مترابطة للحبات التي يقل قطرها عن D<0.01mm وتكون عبارة عن تجمع على شكل

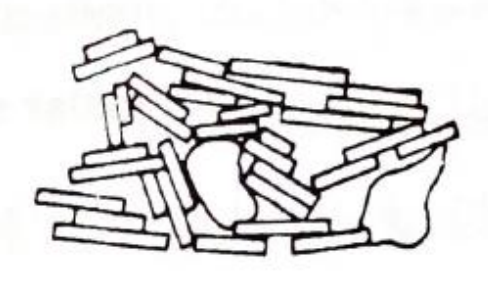


الشكل (٢-٩) بنية التربة المتماسكة (بنية مفرقة)

عناقید أو رقائق مشكلة بذلك الوحدات الأساسیة للمعادن الغضاریة وتكون هذه البنیة الأساسیة للمعادن الغضاریة وتكون هذه البنیة إما مفرقة Dispersed structure كما في حالة الصفائح التي تتوضع بشكل متوازي مع وجود قوى تنافر فیما بینها كما في الشكل وجود قوى تنافر فیما بینها كما في الشكل (۹-۲). أو أن تكون متكتلة على بعضها البعض Flocculated structure بسبب قوى

التجاذب وتبدي هذه الأنواع من الترب مقاومة أكثر من الترب ذات البنية المفرقة .



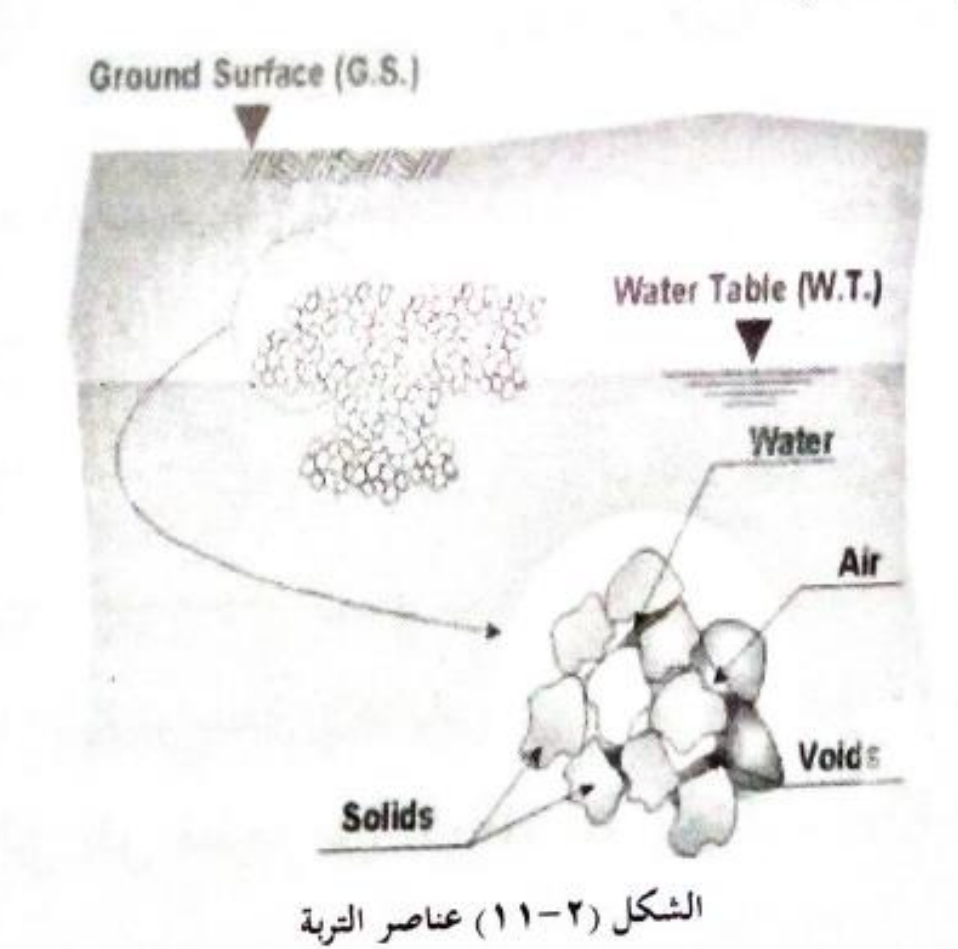


(Flocculated structure) بنية التربة المتماسكة (١٠-٢) بنية التربة المتماسكة

٤V

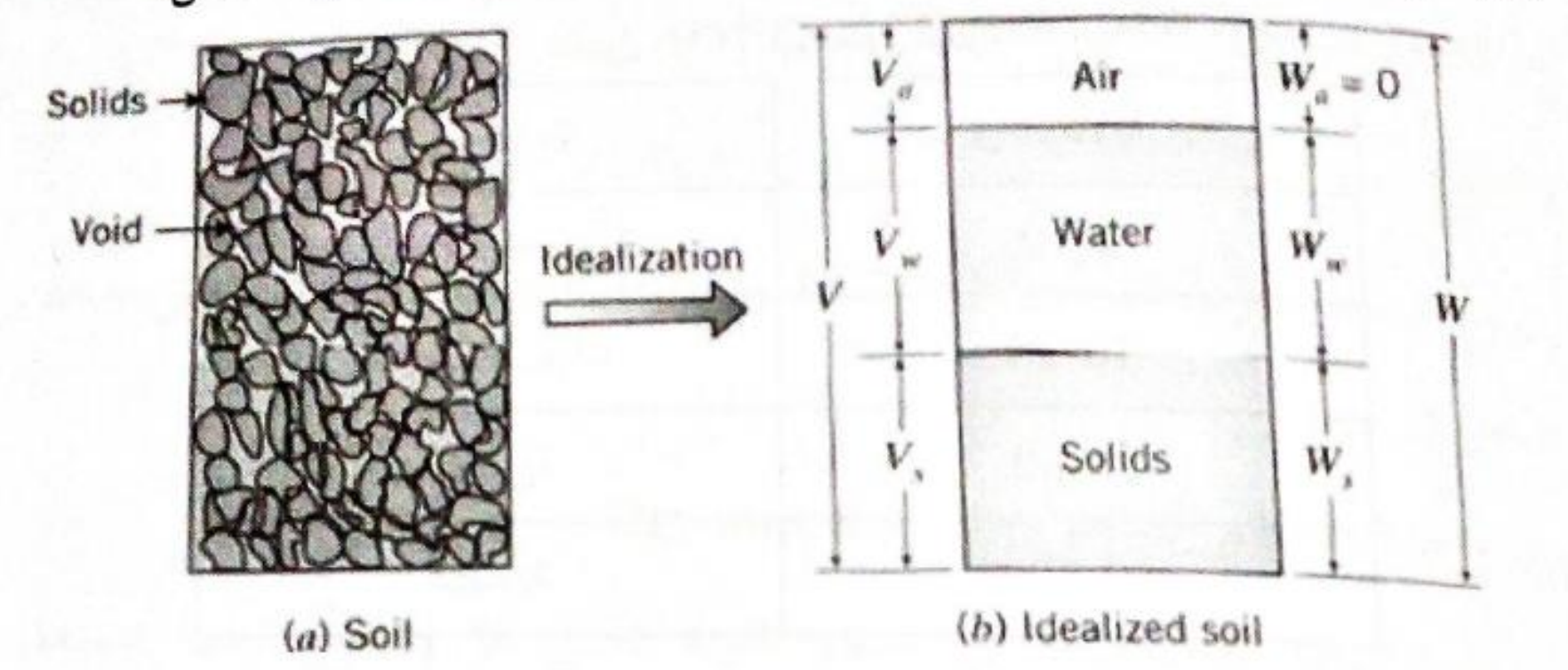
Phase Relationships (عناصر التربة) الميزيائية للترب (عناصر التربة)

إن التربة هي مادة غير متجانسة وتتكون من تجمع ثلاثة عناصر من المادة وهي المادة الصلبة + الماء + الهواء حيث تحتوي التربة على فراغات تكون مليئة بنسب متغيرة بالماء والهواء، الشكل (٢-١١).



تتألف التربة الحبيبية (المفككة) من حصى ورمل حيث تتراوح أقطار حبات الرمل من 0.06-63mm أما الترب الناعمة (سيلت و غضار) فهي التي تكون أبعاد حباتها أقل من 0.06mm وتدعى بالترب المتماسكة.

يتم إيجاد خصائص التربة الفيزيائية مخبرياً وذلك بالاعتماد على تحليل عناصر التربة الثلاثة (مادة صلبة، ماء، هواء) وذلك لحالة ترب مشبعة جزئياً كما في الشكل:



الشكل (٢-٢) تحليل عناصر التربة إلى حجوم وأوزان

تم الرمز إلى حجم كل عنصر من عناصر التربة بالرمز V و الوزن بالرمز W

يتضح من الشكل أن حجم الفراغات الكلية في التربة V_v هو عبارة عن مجموع حجم الفراغات الهوائية V_v وحجم الفراغات المائية V_w وبالتالي فإنه في حالة الترب المشبعة الفراغات الهوائية وحجم الفراغات المائية أي $V_v=V_w$ من الشكل كلياً فإن حجم الفراغات الكلية يساوي حجم الفراغات المائية أي $V_v=V_w$ من الشكل يتضح أن الحجم الكلي للعينة $V_v=V_v$ أو $V_v=V_v$ هو مجموع حجوم العناصر الثلاثة أي:

$$V = V_s + V_v = V_s + V_w + V_a$$
 (1-7)

 V_a الحجم الكواد الصلبة، V_v الحجم الكلي للفراغات، V_w حجم الماء حجم المواء للعينة الواحدة.

وكذلك الوزن الكلي WT أو W هو مجموع وزن المادة الصلبة Ws ووزن الماء Ww أي:

$$W = W_s + W_w \tag{7-7}$$

محتوى الماء أو محتوى الرطوبة (Water content (w):

هو النسبة بين وزن الماء إلى وزن المادة الصلبة (الوزن الجاف) أي: $W = W_w \, / \, W_s \label{eq:ww}$

يبين الجدول (١-٢) نسبة (محتوى) الرطوبة لأنواع مختلفة من الترب حسب النظام الألماني: (DIN 18 121-1/2)

الجدول (١-٢) قيم محتوى الرطوبة

| محتوى الرطوبة % | نوع التربة | |
|-----------------|----------------|--|
| 2-10 | رملية أو حصوية | |
| 10-20 | سيلتية ضعيفة | |
| 20-80 | غضارية | |
| 50-800 | عضوية | |

درجة الإشباع (The degree of Saturation (Sr) درجة الإشباع

وهي النسبة بين حجم الماء إلى الحجم الكلي للفراغات وتتراوح بين (100-0): $S_r = V_w / V_v$

: Void ratio (e) نسبة الفراغات

 $V_{\rm s}$ الحبات الحلية $V_{\rm v}$ الحجم الحبات الصلبة

$$e = V_v / V_s \tag{o-7}$$

المسامية (Porosity (n)

هي نسبة حجم الفراغات الكلية V_{v} إلى الحجم الكلي للعينة V وتتراوح قيمتها بين v_{v} و v_{v} و v

$$n = V_v / V \tag{7-7}$$

والعلاقة بين نسبة الفراغات e و المسامية n يمكن تمثيلها وفق ما يلي:

$$e = \frac{n}{1-n} \quad , \quad n = \frac{e}{1+e} \tag{Y-Y}$$

محتوى الهواء Air content:

 $A=V_a/V$ إلى حجمها الكلي V أي: V_a

وزن واحدة الحجم الكلي (الرطب) Bulk unit weight γь:

هو النسبة بين الوزن الكلي للعينة W إلى حجمها V

$$\gamma_b = \frac{W}{V} \tag{A-Y}$$

وتتراوح قيمها عموماً بين NM-21 kN/m³ وكلما قلت قيمتها دل ذلك على ضعف و تخلخل في التربة.

وزن واحدة الحجم الجاف Dry unit weight γ_d :

هو نسبة الوزن الجاف W_s إلى حجم العينة الكلي V وتتراوح قيمها عموماً بين W_s المراتبة وكلما قلت قيمتها دل ذلك على إمكانية حدوث هبوطات في التربة.

$$\gamma_d = \frac{W_s}{V} \tag{9-7}$$

$$\gamma_d = \frac{\gamma_b}{1+w}$$
 (۱۰-۲) يتبين: $\gamma_d = \gamma_b$ يتبين

وزن واحدة الحجم الصلب Solid unit weight γ_s

 V_s الصلب (الجاف) W_s للعينة إلى حجمها الصلب W_s

$$\gamma_s = \frac{W_s}{V_s} \tag{11-7}$$

:Saturated unit weight γ_{sat} المشبع

 $V_v = V_w$ هو النسبة بين الوزن الكلي للعينة W و الحجم الكلي لها V وذلك في حالة $V_v = V_w$ أي أن الماء يشغل كافة الفراغات الهوائية (تربة مشبعة).

وزن واحدة الحجم المغمور 'Submerged unit weight y'

$$\gamma' = \gamma_{\text{sat}} - \gamma_{\text{w}}$$
 (17-7)

أي أن التربة ينقص وزنها في حالة الغمر نتيجة لقوى دفع أرخميدس.

$$\gamma_{\rm w} = 1000 \; {\rm kg/m^3} = 10 \; {\rm kN/m^3} \approx \; 9.81 \; {\rm kN/m^3} \; (۱۳-۲) \; : حیث :$$

الثقل النوعي (النسبي) Specific gravity G:

هو نسبة وزن واحدة الحجم الصلب γ_s إلى وزن واحدة الحجم للماء المقطر في الدرجة $+4^{\circ}c$

$$G = \gamma_s / \gamma_w \qquad (1\xi - \Upsilon)$$

تتراوح قيمة الثقل النوعي G للمواد الصلبة في التربة بين 3-2 بينما ترتفع قيمتها في المعادن المشكلة للتربة لتصل حتى (5) كما في أكسيد الحديد، يبين الجدول التالي قيم الثقل النوعي لبعض أنواع التربة والمعادن المكونة لها:

الجدول (٢-٢) قيم الثقل النوعي G لترب ومعادن مختلفة

| الثقل النوعي G | نوع التربة / المعدن | الثقل النوعي G | نوع التربة/ المعدن |
|----------------|---------------------|----------------|--------------------|
| 2.62-2.78 | صفاح (صوديوم) | 2.60-2.70 | حصى أو رمال |
| 2.60-2.90 | كلورايت | 2.68-2.70 | سيلت |
| 2.8-3.2 | بيوتيت | 2.70-2.80 | غضار |
| 2.76-3.1 | موسكوفيت | 2.64 | كاولينيت |
| 3.0-3.47 | هورنبلند | 2.80 | إللايت |
| 3.6-4.0 | ليمونيت | 2.75-2.78 | مونتموريللونيت |
| 3.27-3.37 | أوليفين | 2.0-2.55 | هالوسيت |
| 2.32 | جبس | 2.55 | صفاح (بوتاسيوم) |

هناك إمكانية ربط كافة التعاريف التي تم عرضها سابقاً وذلك وفق ما يلي:

• درجة الإشباع Sr بدلالة G و e

$$S_r = \frac{w \cdot G}{e}$$
 , $S_r = 1 \implies e = w \cdot G$ (10-7)

• محتوى الهواء A بدلالة e,w,G, n

$$A = \frac{e - w \cdot G}{1 + e} = n \cdot (1 - S_r) \tag{17-7}$$

 $n, \gamma_d, \gamma_s, e, \gamma_w, w.G, S_r$ بدلالة γ_b (الرطب) وزن واحدة الحجم الكلي (الرطب) γ_b

$$\gamma_b = \frac{G \cdot (1+w)}{1+e} \cdot \gamma_w = \frac{G + S_r \cdot e}{1+e} \cdot \gamma_w \tag{1V-Y}$$

$$\gamma_b = \gamma_s \cdot (1-n) \cdot (1+w) = \gamma_d + S_r \cdot n \cdot \gamma_w$$



e , γ_w , G بدلالة $S_r=1$ بدلالة γ_{sat} وزن واحدة الحجم المشبع γ_{sat} أي عندما

$$\gamma_{sat} = \frac{G + e}{1 + e} \cdot \gamma_w \tag{1A-Y}$$

 $e, \gamma_b, w, \gamma_w, G$ وزن واحدة الحجم الجاف γ_d بدلالة

$$\gamma_d = \frac{G}{1+e} \cdot \gamma_w = \frac{\gamma_b}{1+w} = \frac{S_r \cdot \gamma_e \cdot \gamma_w}{w \cdot \gamma_s + S_r \cdot \gamma_w}$$
 (19-7)

e , γ_{sat} , γ_w , G وزن واحدة الحجم المغمور γ' بدلالة

$$\gamma' = \frac{G - 1}{1 + e} \cdot \gamma_w = \gamma_{sat} - \gamma_w = \gamma_d + (n - 1) \cdot \gamma_w \tag{(Y - Y)}$$

و نسبة الفراغات e والمسامية n بدلالة γd, γw, ,G

$$e = \frac{G \cdot \gamma_w}{\gamma_d} - 1$$
 , $n = 1 - \frac{\gamma_d}{G \cdot \gamma_w}$ $(Y \cdot 1 - Y)$

γ_d , γ_s , γ_w بدلالة w_s الإشباع w_s

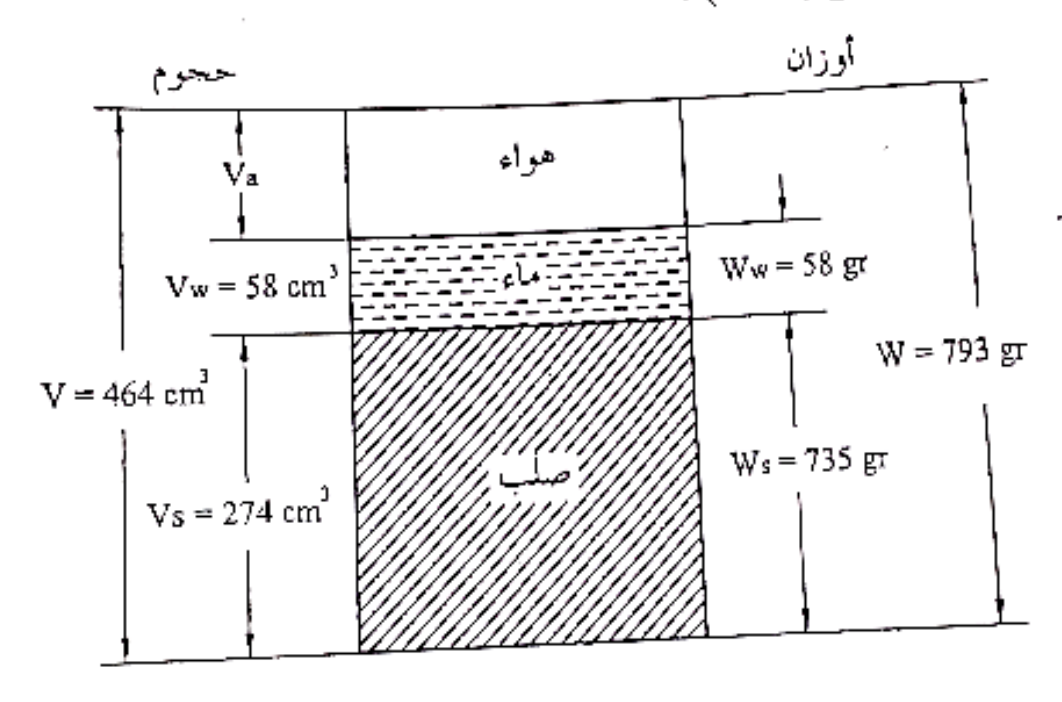
$$w_s = \gamma_w \cdot \left(\frac{1}{\gamma_d} - \frac{1}{\gamma_s}\right) \tag{YY-Y}$$

مسألة (1-4) :

عينة ترابية رطبة وزنما 793 gr وحجمها 464 cm³ ووزنما الجاف 735 gr الوزن النوعي لحبات التربة 2,68 ، عين كلاً من نسبة الفراغ ، المسامية ، الرطوبة ودرجة الإشباع ؟

اگحل:

انظر إلى الشكل (4-1) :



الشكل (4-1)

نلاحظ من الشكل أن:

$$W = 793 \text{ gr}$$
 ; $W_s = 735 \text{ gr}$; $G = 2,68$
 $W_w = 793 - 735 = 58 \text{ gr}$

$$V_s = \frac{735}{2,68} = 274 \text{ cm}^3$$

حجم الصلب:

$$V_{\rm w} = 58 \, {\rm cm}^3$$
 ; $\gamma_{\rm w} = 1 \, {\rm g/cm}^3$

حجم الماء :

$$V_v = V - V_s = 464 - 274 = 190 \text{ cm}^3$$

حجم الفراغات :

$$e = \frac{V_v}{V_c} = \frac{190}{274} = 0,693$$

نسبة الفراغ:

$$n = \frac{V_{\dot{v}}}{V} = \frac{190}{464} = 0,410$$

المسامية :

$$\omega = \frac{W_w}{W} \times 100 = \frac{58}{735} \times 100 = 7,9$$
 (%) : الرطوبة

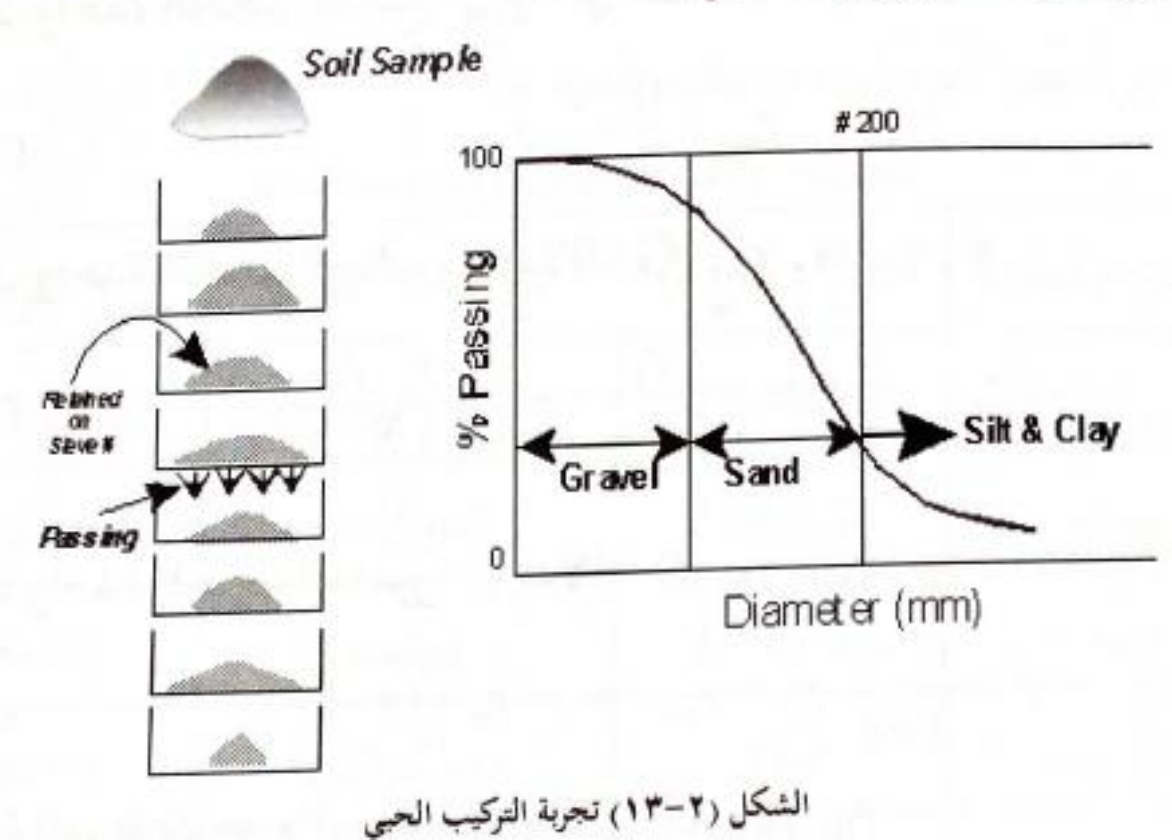
$$S = \frac{V_w}{V_w} \times 100 = \frac{58}{190} \times 100 = 30,5$$
 (%) : درجة الإشباع :

٧- ٦ التجارب المخبرية:

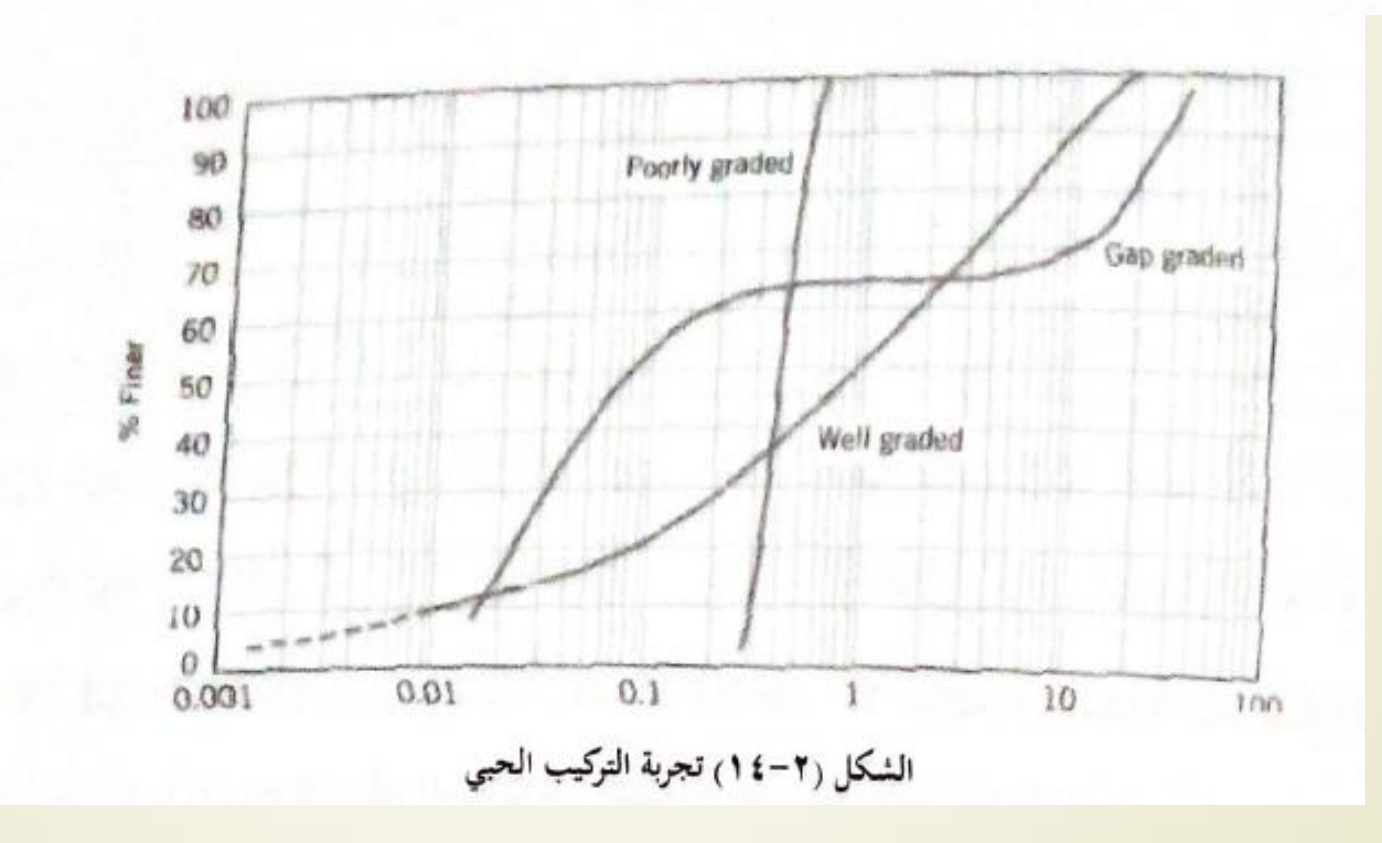
سيتم التعرف على بعض التجارب المخبرية الأساسية وهي تجارب التركيب الحبي للترب الخشنة والناعمة، الكثافة النسبية D_r، نسبة الفراغات الأعظمية والأصغرية، حدود القوام (حدود أتربرغ)، النفوذية، القص المباشر، وتجربة التشديد.

: Size distribution التركيب الحبي

تفيد هذه التجربة في تحديد أقطار ونسبة الحبات المكونة للتربة من خلال التمثيل البياني بين أقطار الحبات (مقياس لوغاريتمي) وبين النسبة المئوية المارة (مقياس عادي)، كما في الشكل (٢-١٣) حيث تحدد أولاً كمية معروفة وزنا من التربة الجافة والمراد إجراء تجربة التركيب الحبي عليها ومن ثم تمرر هذه الكتلة عبر مجموعة من المناخل ذات الفتحات المعروفة والمرتبة من الأعلى إلى الأسفل



لتسهيل عملية مرور التربة عبر المناخل المتتالية المتدرجة في أقطار فتحاتها يمكن الاستعانة بواسطة هزاز ميكانيكي حيث يتم قي نهاية التجربة وزن ما قد تم حجزه على كل منخل ومن ثم تدرس العلاقة بين أقطار الحبات والنسبة المئوية المارة ويتم تمثيل هذه العلاقة في منحني كما في الشكل (٢-١٤).



٦V

يدل كل منحني من المنحيات الممثلة في الشكل (٢-١٤) على نوع معين من تربة مدروسة فهي إما أن تكون جيدة التدرج أي تحتوي على نسب من المواد الناعمة والرملية والحصوية على السواء كما في المنحني Well graded أو تكون وحيدة النوع كما في المنحني Uniform فهي في هذه الحالة تربة رملية فقط.

مسألة (٢-١)

تم إجراء تجربة التحليل الحبي على كتلة من التربة وزنما الجاف 5717 وبلغت أوزان الكتل المحجوزة على كل منخل كما في الجدول التالي:

| 0.063 | 0.125 | 0.25 | 0.5 | 1.0 | 2.0 | 4.0 | 8.0 | 16.0 | 31.5 | فتحة المنخل mm |
|-------|-------|-------|-----|-------|-------|------|------|------|------|--------------------|
| 11.3 | 205.5 | 220.5 | 428 | 741.9 | 827.4 | 1284 | 1112 | 884 | 0 | الوزن المحجوز g |

المطلوب تمثيل نسبة المواد المارة بيانياً بدلالة أقطار الحبات.

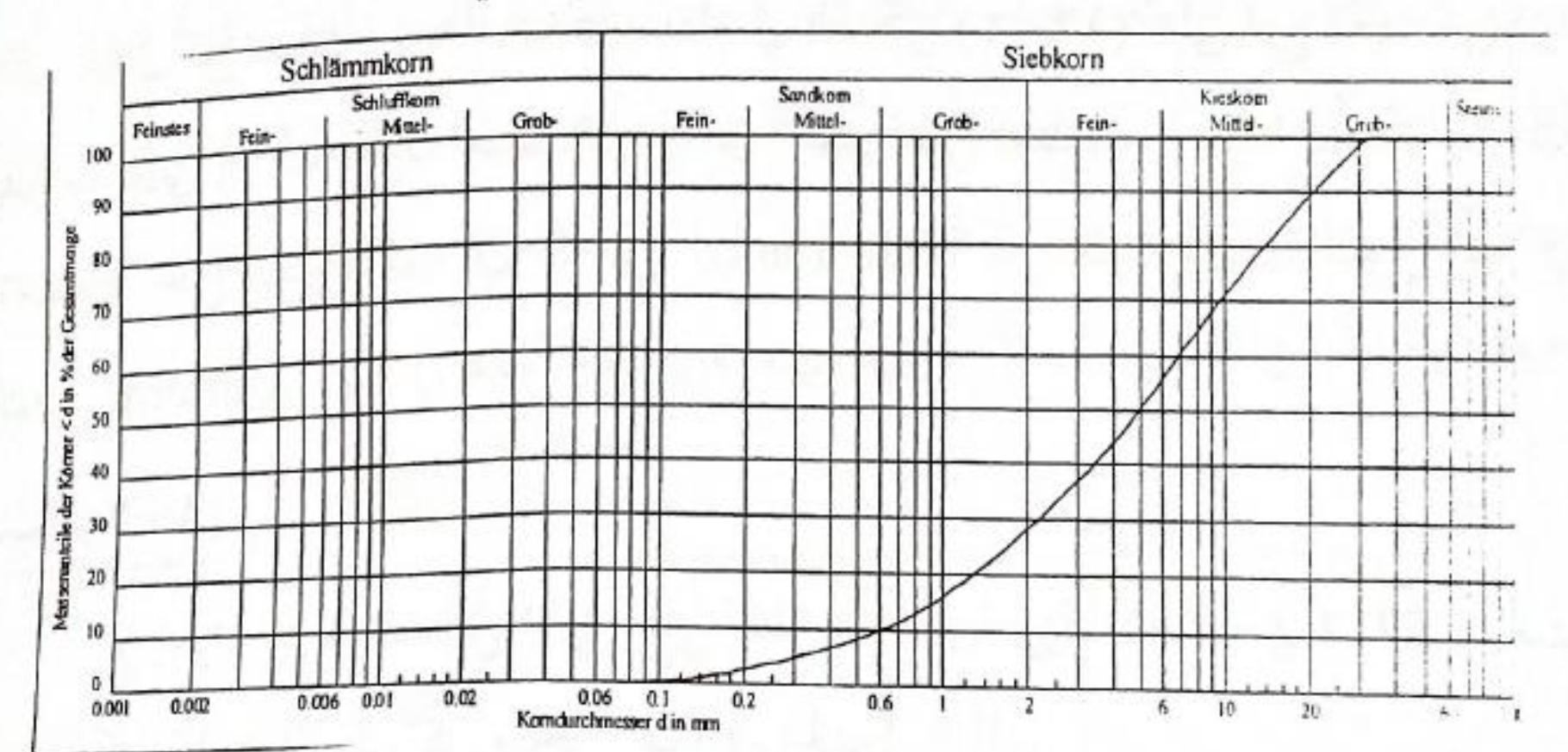
الحل : يتم أولاً تشكيل الجدول التالي:

| النسبة المارة % | النسبة المحجوزة % | الوزن المحجوز g | أقطار الحبات mm |
|-----------------|-------------------|-----------------|-----------------|
| 100.00 | 0.00 | 0.00 | 31.5 |
| 84.53 | 15.47 | 884.50 | 16.0 |
| 65.06 | 19.46 | 1112.80 | 8.0 |
| 42.60 | 22.46 | 1284.00 | 4.0 |
| 28.13 | 14.47 | 827.40 | 2.0 |

| 12.98 | 741.90 | 1.0 |
|------------|--------|-------|
| 15.13 7.49 | 428.00 | 0.5 |
| 7.67 | 220.50 | 0.25 |
| 3.81 | 205.50 | 0.125 |
| 0.22 0.20 | 11.30 | 0.063 |

٧.

تحسب النسبة المحجوزة لكل قطر كما يلي: عند القطر mm 16.0 مثلاً تكون النسبة المحجوزة % 15.47 = 15.47 (884.5 × 100)/5717 = 15.47 هي: المحجوزة % 15.47 = 100-15.47 وهكذا بالنسبة للأقطار الأخرى، في النهاية يتم تمثيل قيم الجدول بين النسبة المارة و أقطار الحبات كما في الشكل التالي:



 C_{u} من المنحني البياني يتم إيجاد قيم تفيد في تصنيف الترب وهي عامل الانتظام U أو U وعامل التقعر U وذلك بدلالة قيم أقطار الحبات وفق النسب U وذلك بدلالة قيم أقطار الحبات وفق النسب U

$$C_u = \frac{d_{60}}{d_{10}}$$
 , $C_c = \frac{d_{30}^2}{d_{10} \cdot d_{60}}$ (۲۳-۲)

وتكون التربة الرملية جيدة التدرج عندما يتحقق $C_u \geq 6$ و $C_c = (1-3)$ بينما تكون التربة الحصوية جيدة التدرج عندما يتحقق $C_u \geq 4$ وفيما عدا ذلك فالتربة الرملية أو الحصوية هي سيئة التدرج.

من المنحني البياني $d_{00}=0.643~\mathrm{mm}$ و $d_{10}=0.643~\mathrm{mm}$ و $d_{10}=0.643~\mathrm{mm}$ من المنحني البياني $C_{0}=0.643~\mathrm{mm}$ و $C_{0}=0.643~\mathrm{mm}$ من قيم $C_{0}=0.09$ و $C_{0}=0.09$ يتبين من قيم $C_{0}=0.09$ و $C_{0}=0.09$ يتبين من قيم و $C_{0}=0.09$ أن التربة هي حصوية رملية جيدة التدرج.

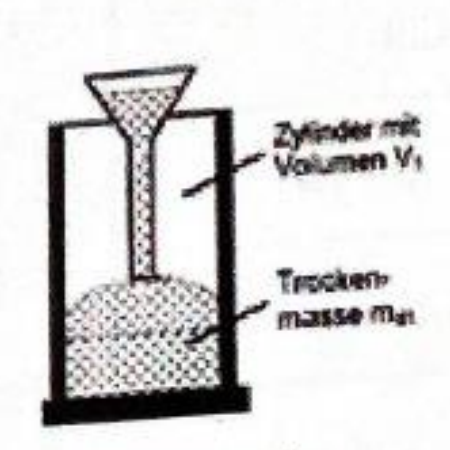
/٢

عندما تزيد نسبة المواد الناعمة أي المارة من المنخل ذو الفتحة 0.06 mm عن 20% فإنه ينصح بإجراء تجربة الترسيب بالمكثاف لتصنيف المواد الناعمة وفق أقطارها

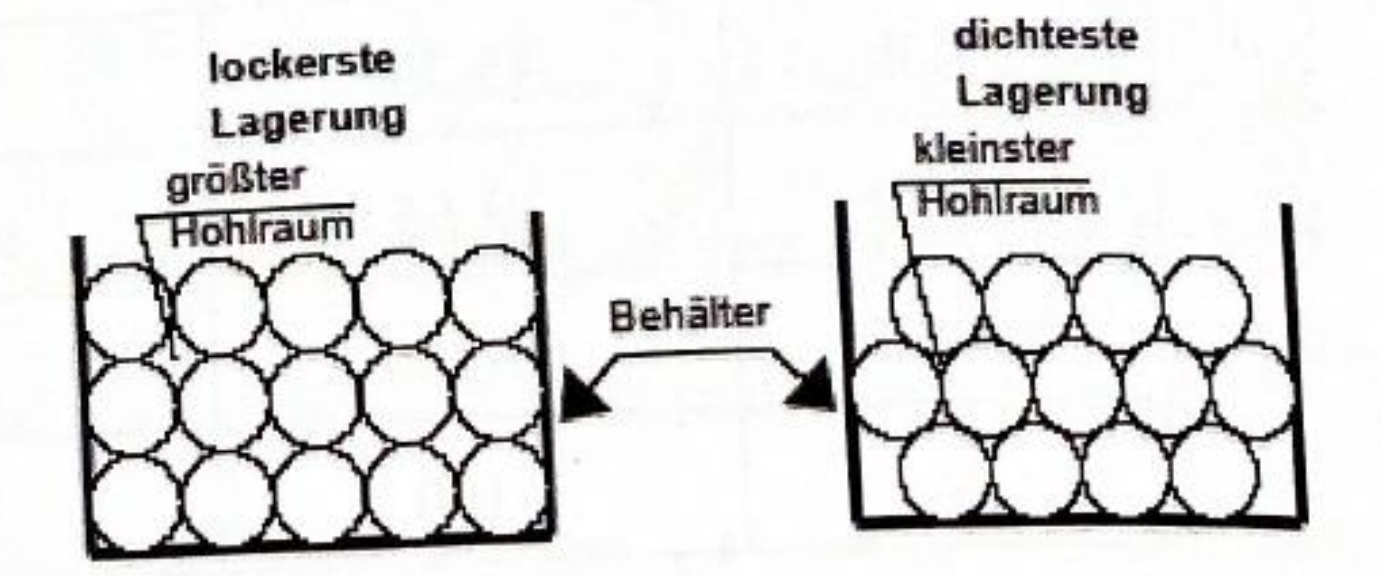
وفي أغلب الأحيان لا نقوم بتعيين المنحني الحبي كاملا وإنما نكتفي بالتحليل

الحبي المنحلي فقط دون إضافة المنحني الحبي الناتج عن طريقة الترسيب، وذلك لأن معرفة المنحني الحبي للترب الناعمة ليسس له فائدة عملية إلا في حالة تثبيت الترب، أما في الحالة العامة فإننا نعتمد على خواص اللدونة المتمثلة بحدود أتربرغ.

تعد قيم نسب الفراغات من القيم الأساسية التي تساعد في توصيف الترب وتحديد حالة توضعها (أي القوام) فهي عموماً إما ذات توضع مخلخل أو كثيف، الشكل (١٦-٢).



Bestimmung der lockersten Lagerung



الشكل (٢-٢) التوضع المخلخل Loose والكثيف Dense

يتم تحديد نسبة الفراغات الصغرى emin لتربة (توضع مخلخل) بواسطة ملء هذه التربة في اسطوانة ذات حجم معروف بواسطة قمع، أما نسبة الفراغات العظمى emax فتحدد بملء الاسطوانة بالتربة على مراحل يتم خلالها هز الاسطوانة لتكتنز ضمنها الحبات وتكون نسبة الفراغات الطبيعية en أو e لتربة ما محصورة بين القيمتين emin و ويتم تحديد قيمة الكثافة النسبية (Relative Density D_r) أو e_{max} التالية:

$$D_r = \frac{e_{\text{max}} - e}{e_{\text{max}} - e_{\text{min}}} = \frac{V_{\text{max}} - V}{V_{\text{max}} - V_{\text{min}}}$$
 (٣١-٢)

تتراوح قيم D_r للتربة الرملية بين %(00-0) وكلما ازدادت قيمتها كانت ذات توضع اشد كثافة Dense وبالتالي أكثر مقاومة وبالعكس كلما نقصت قيمتها كان الرمل مخلخلاً Loose ويمكن حساب دليل الكثافة I_n بدلالة قيم المسامية العظمى والصغرى من العلاقة:

$$I_n = \frac{n_{\text{max}} - n}{n_{\text{max}} - n_{\text{min}}} \tag{TT-T}$$

 I_n يبين الجدول (٣-٢) وصف التربة بدلالة قيم الكثافة النسبية D_r و دليل الكثافة D_r يبين الجدول (٣-٢) وصف التربة بدلالة قيم الكثافة النسبية D_r

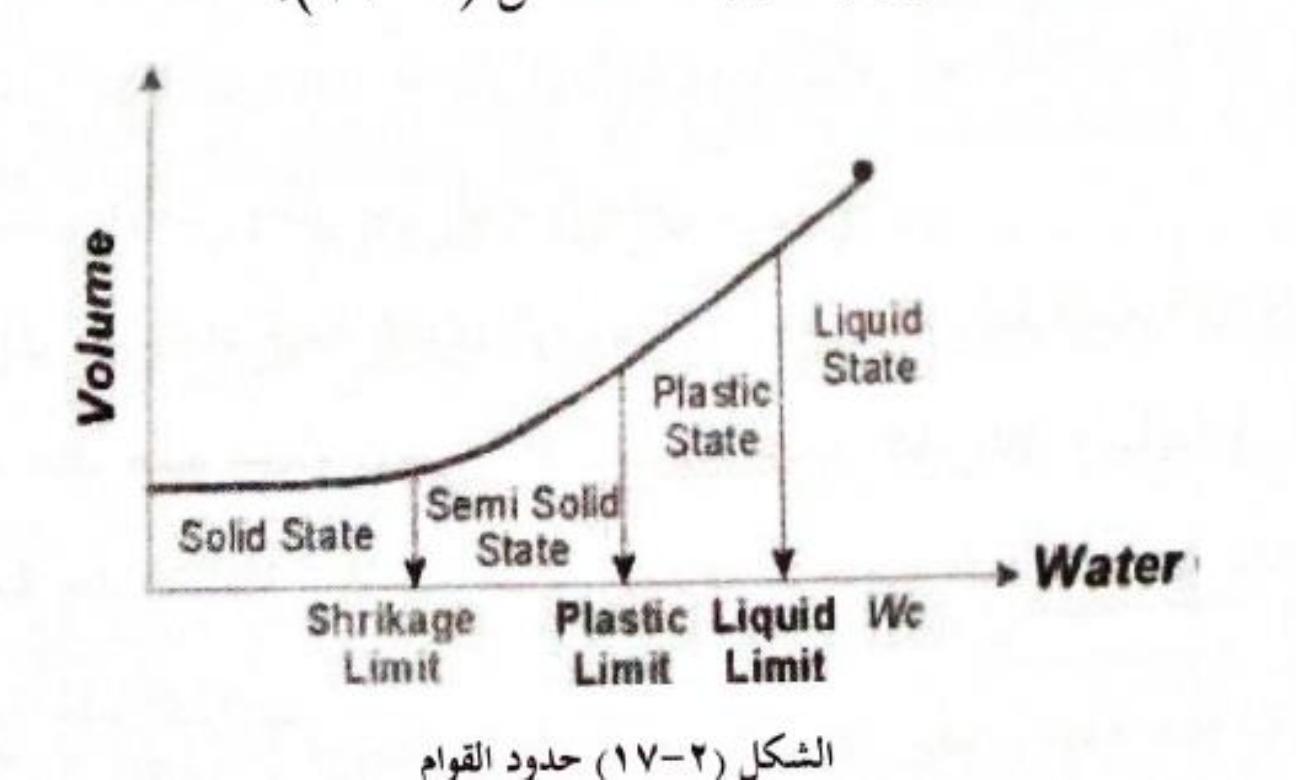
| In % | (I _D), D _r % | الحالة |
|--------|-------------------------------------|---------------|
| 0-15 | 0-15 | مخلخل جداً |
| 15-30 | 15-33 | مخلخل |
| 30-50 | 33-65 | متوسط الكثافة |
| 50-100 | 65-100 | کثیف |
| | >100 | كثيف جداً |

وتقاس قابلية التربة للرص بدلالة قيم نسبة الفراغات بالعلاقة التالية:

$$I_f = \frac{e_{\text{max}} - e_{\text{min}}}{e_{\text{min}}} \tag{TT-T}$$

:consistency of soil(حدود أتربرغ) consistency of soil

إن حدود القوام consistence للترب الغضارية هي العلاقة بين تغير محتوى الرطوبة وبين التغير الحجمي فيها فهي بمعنى آخر قابلية تشكل وتغيير سلوك هذه الترب من الحالة السائلة إلى الحالة اللدنة بدلالة محتوى الرطوبة w حيث أنه بنقصان المحتوى المائي في التربة يمكن للتربة الغضارية أن تكون في حالتها السائلة ثم تصبح طرية (لدنة) ومن ثم متوسطة القساوة (نصف صلبة) Semi Solid State وأخيراً قاسية (صلبة) Solid State وذلك عند بلوغ قيمة المحتوى المائي فيها الحد الأدنى، ويدعى الحد الفاصل بين الحالة السائلة Liquid State والحالة اللدنة Solid Stat بحد السيولة Liquid State ويرمز له W_L وهو كمية الرطوبة الأصغرية التي تجري عندها التربة تحت تأثير وزنما الذاتي و الحد الفاصل لانتقال التربة بسلوكها من الحالة اللدنة إلى الحالة النصف صلبة بحد اللدونة الفاصل لانتقال التربة بسلوكها و الحد الفاصل بين الحالة النصف صلبة والحالة الصلبة بحد المقلص المناس المناس



V9

أول من بدأ بتحديد قيم حدي السيولة و اللدونة بشكل مبسط هو العالم ATTERBERG من ثم طور العالم ATTERBERG طريقة تجريبية لتحديد قيمة W_L على بواسطة جهاز يدوي وأصبح الآن كهربائي، ويوضح الشكل W_L جهاز كاساغراندي مع العينة الترابية و التي تجفف وتطحن بمطرقة مطاطية وتمرر من المنحل ذي الفتحة μ 425.

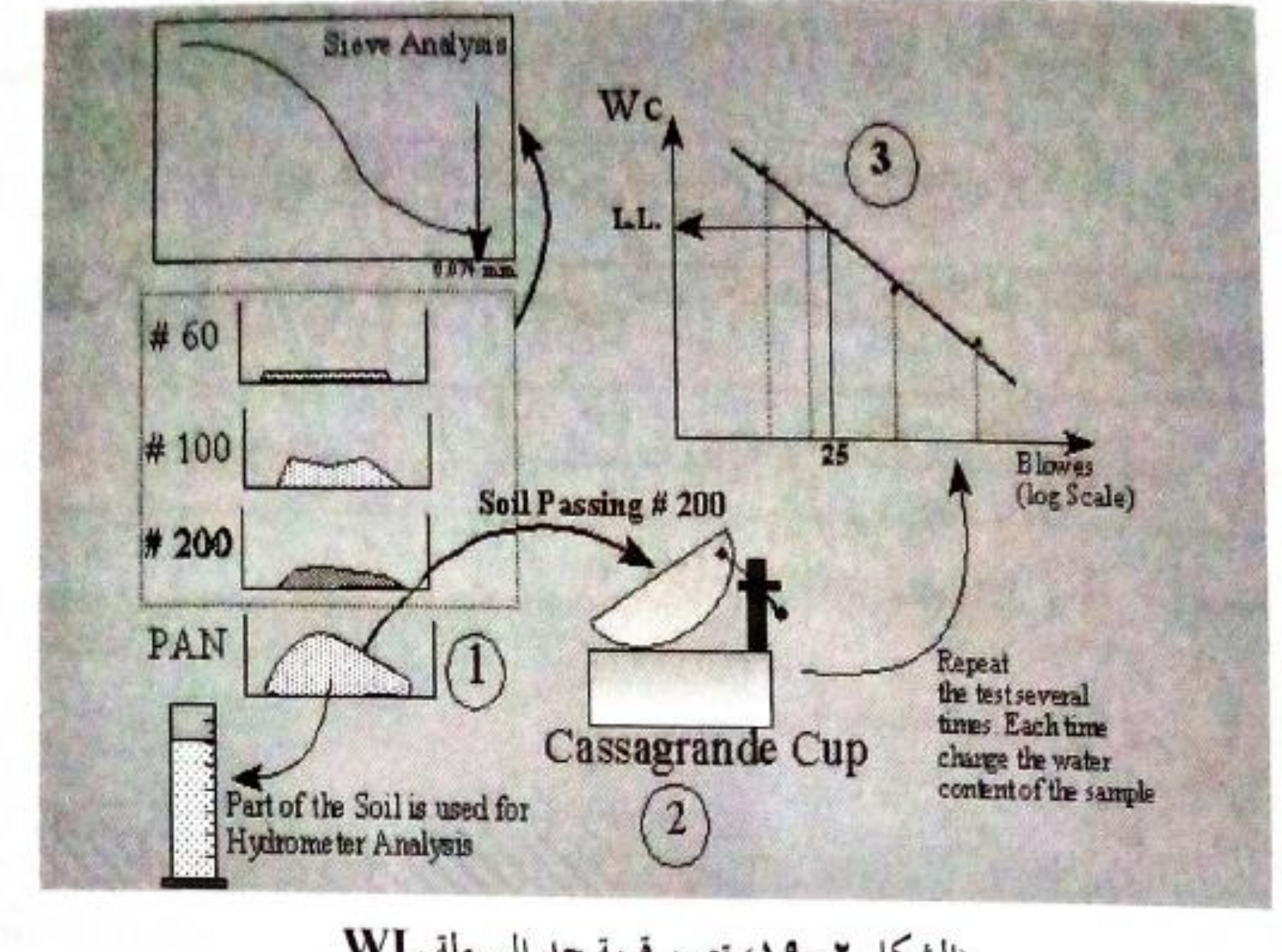




الشكل (٢-١٨) جهاز كاساغراندي

تحرى تجربة حد السيولة WL بتجهيز العينة ووضعها في (طاسه) كاساغراندي بحيث تشغل ثلثي المساحة تقريباً وبواسطة محز يتم يدوياً تشكيل ثلم طوله حوالي ,40mm وعرضه بحدود 2mm بعد ذلك وبشك يدوي أو كهربائي تدور العتلة الجانبية لتسقط الطاسة على قاعدة مطاطية قاسية مع كل دورة وبذلك يلاحظ تقارب خطي العينة حتى يتم التلاصق وتتوقف عملية الدوران عندما يكون التلاصق بحدود 10mm كما في الشكل (۱۸-۲) عندها تثبت عدد الدورات N وتكرر التجربة ثلاث مرات كحد أدني يتم في كل مرة تغيير محتوى الرطوبة في العينة وبذلك يتم تحديد قيم عدد مرات السقوط (عدد الطرقات) N من أجل قيم مختلفة لمحتوى الرطوبة w وبتمثيل العلاقة البيانية بين N و w يتم تحديد المستقيم الأمثل والمار بين نقاط التمثيل.

۷)

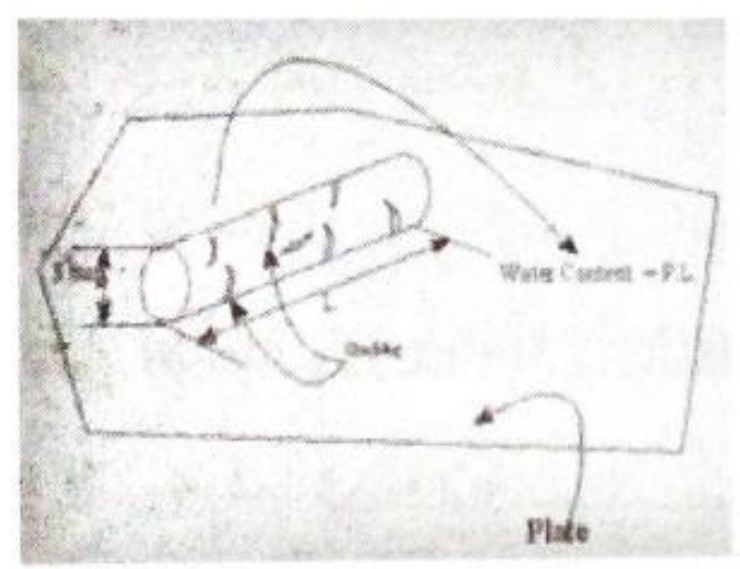


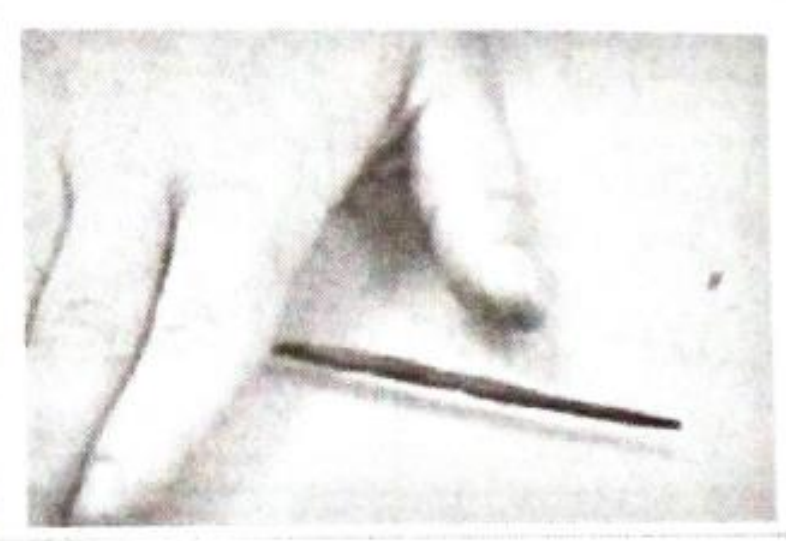
(الشكل ٢-١٩) تعيين قيمة حد السيولة WL

بغد ذلك يتم إيجاد قيمة محتوى الرطوبة من أجل عدد الطرقات N=25 إن قيمة محتوى الرطوبة عند هذه الحالة تدعى بحد السيولة ويرمز لها W_L وسابقا (L.L.) كما محتوى الرطوبة عند هذه الحالة تدعى بحد السيولة ويرمز لها يدلالة عدد الطرقات يمكن إيجاد قيمة حد السيولة W_L من خلال العلاقة التجريبية التالية بدلالة عدد الطرقات: والرطوبة الحاصة لهذه الطرقات:

$$W_L \approx w_n \cdot \left(\frac{N}{25}\right)^{0.121} \tag{75-7}$$

وبحرى تجربة حد اللدونة W_p يدوياً وذلك بعد تحضير العينة حتى تصبح عجينة لدنة تؤخذ منها قطعة بحدود Sg وتدرج يدوياً على لوح صقيل لتصبح بشكل فتائل بسماكة حوالي Sg وعندما لا تتشقق الفتائل يعاد عجنه لتقليل رطوبته وتكرر التجربة حتى تظهر التشققات أو ينقطع الفتيل تحدد نسبة الرطوبة أو المحتوى المائى عند مرحلة التشقق

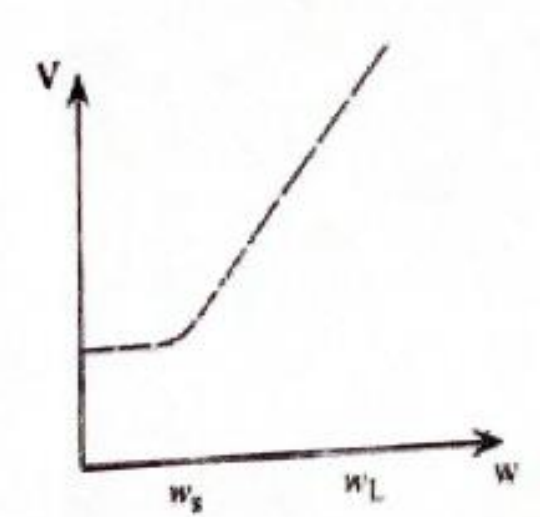


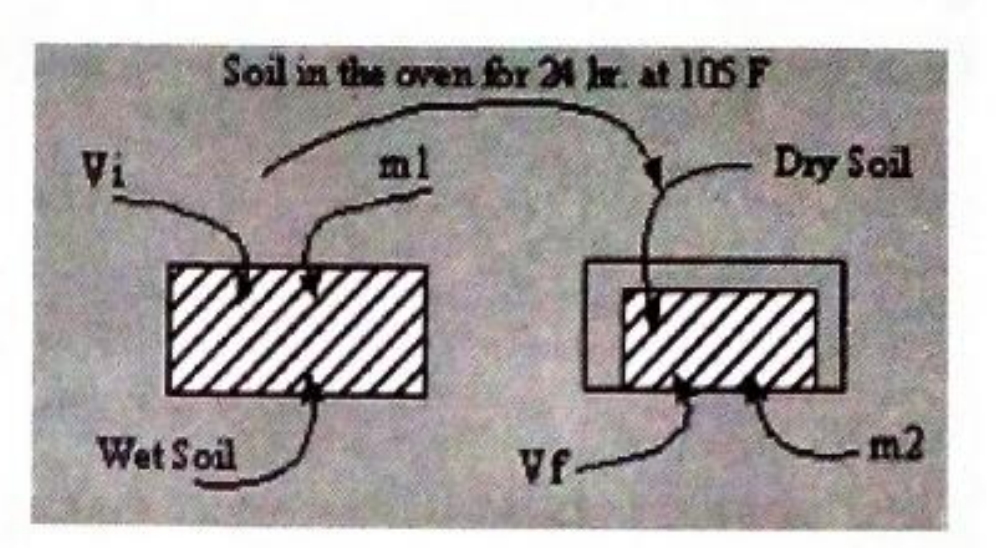


(الشكل ٢-٢) تعيين قيمة حد اللدونة WP

و تكرر التجربة ثلاث مرات كحد أدنى إن القيمة الوسطى لمحتوى الرطوبة هي ما تدعى W_P كد اللدونة W_P (يرمز له سابقاً P.L)، (الشكل V_P).

$$w_{sh} = \left(\frac{m_1 - m_2}{m_2}\right) \times 100 - \frac{\left(V_1 - V_2\right) \cdot \gamma_w}{m_2} \times 100 \qquad (\Upsilon \circ - \Upsilon)$$





(الشكل ٢-٢١) تعيين قيمة حد التقلص Wsh

تدل قيم حد التقلص على قابلية التربة للتغير الحجمي كما في الجدول التالي:

الجدول (٢-٤) التغير الحجمي بدلالة حد التقلص Wsh

| 10 > | 10-12 | 12 < | حد التقلص w _{sh} |
|-------|--------|-------|---------------------------|
| كبيرة | متوسطة | صغيرة | قابلية التغير الحجمي |

من قيم حدود القوام (حدود أتربرغ) يمكن استنتاج دلائل تفيد في تصنيف الترب الغضارية مثل:

- دليل اللدونة Plasticity Index) I_P : وهو الفرق الحسابي بين حدي السيولة و اللدونة كما في العلاقة:

$$I_{P} = W_{L} - W_{P} \tag{77-7}$$

يحدد هذا الدليل مجال الرطوبة التي تبقى فيه التربة لدنة السلوك ويدل الازدياد في قيمته على قابلية عالية للتغير الحجمي بسبب اللدونة العالية ويمكن تصنيف درجات اللدونة وقابلية التغير الحجمي وفق الجدول التالي:

| | .ونة I _P | تغير الحجمي بدلالة دليل الله | الجدول (۲-۵) ال | |
|---------------|---------------------|------------------------------|-----------------|-----------------------------|
| 40 < | 15-40 | 5-15 | 0-5 | دليل اللدونة I _P |
| عالية اللدونة | لدنة | متوسطة اللدونة | غير لدنة | درجة اللدونة |
| 30 < | 15-30 | 5-15 | 0-5 | دليل اللدونة I _P |
| عالية | متوسطة | قليلة | | قابلية التغير الحجمي |

- دليل السيولة Liquidity Index) I_L دليل

 I_P هو الفرق بين الرطوبة الطبيعية w_n و حد اللدونة W_P منسوباً إلى دليل اللدونة

$$I_L = \frac{w_n - w_P}{I_P} \tag{TV-T}$$

- دليل القوام Consistency Index) I_c دليل القوام

 I_P هو الفرق بين حد السيولة W_L و الرطوبة الطبيعية w_n منسوباً إلى دليل اللدونة

$$I_c = \frac{w_L - w_n}{I_P} \tag{TA-7}$$

حيث: $I_L + I_C = 1$ وتدل هذه القيم على قوام التربة، فإذا اقتربت الرطوبة الطبيعية من قيمة حد السيولة أصبحت قيمة $I_L = 1$ وبالتالي فان $I_C = 0$ وهذا يعني أن التربة في حالة طرية وإذا اقتربت قيمة الرطوبة الطبيعية من قيمة حد اللدونة أصبحت قيمة $I_C = 0$ وهذا يعني أن التربة ذات مقاومة جيدة.

ين النظام الألماني 122 DIN 18 حالة التربة الغضارية بدلالة $I_{\rm C}$ و $I_{\rm L}$ كما في الجدول: الجدول $I_{\rm C}$ الجدول (٦-٢) حالة التربة الغضارية بدلالة $I_{\rm L}$ و $I_{\rm L}$

| $I_{\mathbf{C}}$ | I_L | حالة التربة |
|------------------|--------------|-------------|
| أقل من 0 | أكبر من 1 | سائلة |
| 1.0 - < 0.5 | 1.0 - < 0.5 | طرية |
| 0.5 - < 0.75 | 0.5 - < 0.25 | ضعيفة |
| 0.75 - 1.0 | 0.25 - 0 | متماسكة |
| أكبر من 1 | أقل من 0 | شبه قاسیة |

مسألة (٢-٣)

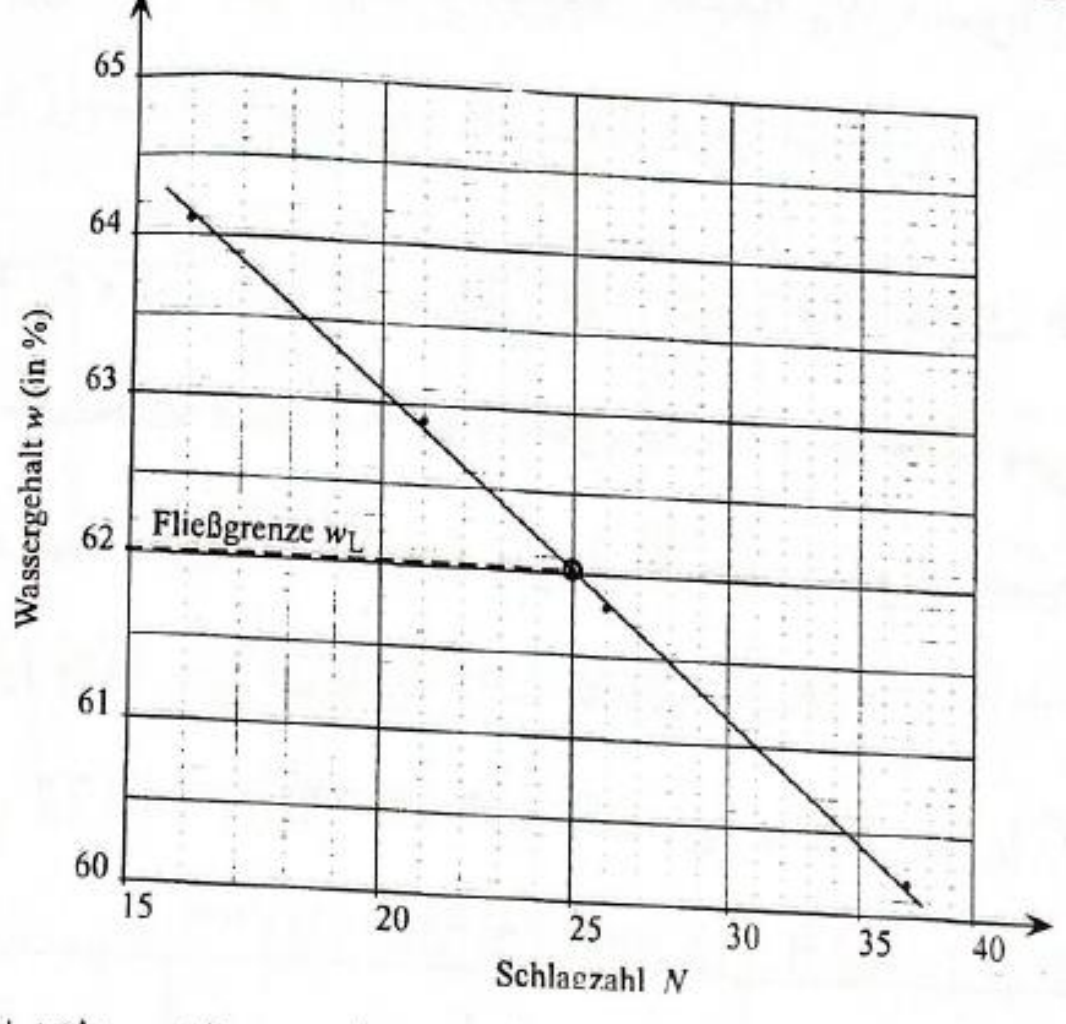
عينة غضارية بلغ وزنها الرطب مع الوعاء 261.9g ووزنها بعد التحفيف مع الوعاء عينة غضارية بلغ وزنها الرطب مع الوعاء W_L وذلك من 215.1g ووزن الوعاء فارغ 103.7g، المطلوب حساب قيمة حد السيولة W_L وذلك من نتائج التجربة وفق الجدول التالي:

| 16 | 21 | 26 | 37 | عدد الطرقات N |
|------|------|------|------|-------------------|
| 64.1 | 62.9 | 61.8 | 60.2 | المحتوى المائي %W |

بفرض أن حد اللدونة $W_P = 32.3\%$ ، أوجد كل من قيم دليل السيولة I_L ودليل القوام

 I_{C}

الحل: يتم أولاً تمثيل عدد الطرقات بدلالة المحتوى المائي كما في الشكل:



من الشكل أعلاه ومن القيمة 25=N يتم تحديد المحتوى المائي المقابل لهذه القيمة وهم من الشكل أعلاه ومن القيمة $W_L=62\%$. $W_L=62\%$

يتم تحديد المحتوى المائي w (نسبة الرطوبة) من العلاقة التالية:

$$w = \frac{261.9 - 215.1}{215.1 - 103.7} = 0.42$$

من العلاقات (٢-٣٦)، (٢-٣٧)، (٢-٣٨) يتم تحديد القيم التالية:

$$I_{\rm P}=62.0$$
 -32.3 = 29.7% = 0.297 دليل اللدونة $I_{\rm L}=\frac{0.42-0.323}{0.297}=0.327$ دليل السيولة $I_{\rm L}=\frac{0.42-0.323}{0.297}=0.327$

$$I_c = \frac{0.62 - 0.42}{0.297} = 0.673$$
 دليل القوام

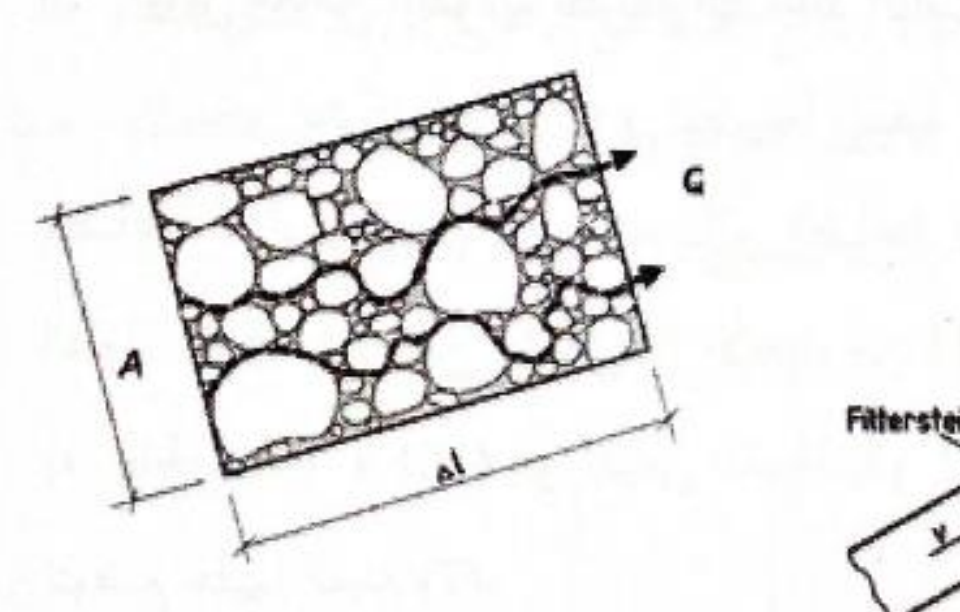
يتضح من النتائج أن الغضار يمكن أن يصنف طري وذلك وفق النظام الألماني.

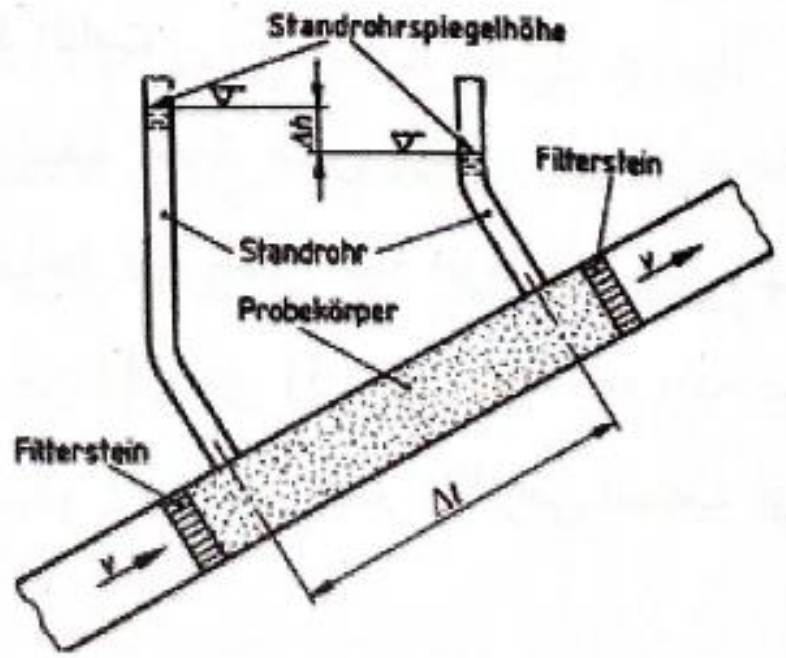
٧- ٢-٤ النفوذية Permeability:

تعرف نفوذية التربة بأنها كمية الماء المارة في التربة بتأثير ضاغط مائي Δh عبر مقطع محدد بمسار طوله Δh وذلك خلال فترة زمنية محددة (الشكل T-T). وقد أعطى من قبل Darcy علاقة الجريان الصفحى والمعروفة بعلاقة دارسي:

$$v = k \cdot i = k \cdot \frac{\Delta h}{\Delta l} \tag{79-7}$$

ويرمز لمعامل النفوذية ب k ولها نفس واحدة السرعة (m/s)





تتعلق نفوذية الترب بشكل مباشر بنوعية التربة وبشكل خاص بحالة توضع هذه التربة وقيمة نسبة الفراغات e وبدرجة الحرارة التي تؤثر على لزوجة الماء ضمن التربة. إن قياس معامل النفوذية k للتربة يفيد في إيجاد الطريقة الأفضل لتصريف المياه الموجودة في موقع العمل وفي تقدير التغير في منسوب البساط المائي كما يفيد في تمثيل شبكة الجريان تحت موقع التأسيس وأخيراً فإنه يساعد في تقدير قيم الهبوطات في موقع التأسيس تصنف النفوذية في الترب بحسب قيمة معامل النفوذية إلى خمسة أصناف كما في الجدول التالي بحسب النظام الألماني 130 DIN 18 130:

الجدول (٧-٢) تصنيف الترب بدلالة قيمة معامل النفوذية k

| | حالة النفوذية في التربة | نوع التربة |
|---------------------------------------|-------------------------|----------------------|
| k (m/s) | ضعيفة جداً | غضار غير متشقق |
| 10 ⁻⁸ - 10 ⁻¹² | ضعيفة | سيلت غضاري |
| 5.10 ⁻⁶ - 10 ⁻⁸ | نفوذه | سیلت و رمل ناعم جداً |
| 5.10 ⁻⁵ - 10 ⁻⁷ | نفوذية كبيرة | رمل |
| 10 ⁻³ - 10 ⁻⁴ | عالية النفوذية | حصى رملي |
| 2.10 ⁻² - 10 ⁻³ | | |

يمكن قياس معامل النفوذية k مخبرياً وحقلياً ففي المخبر يمكن تنفيذ التجربة بطريقتين:

١. طريقة الضاغط الثابت
٢. طريقة الضاغط المتغير

:Soil classification تصنيف التربة

Soil classification schemes أنظمة تصنيف التربة

• يلجأ المهندسون الى تصنيف التربة اعتماداً على الأنظمة أو الكودات المتوفرة والمعتمدة مثل نظام (AASHTO)

American Association of State Highway and Transportation Officials highways

• ونظام تصنيف التربة الموحد USCS

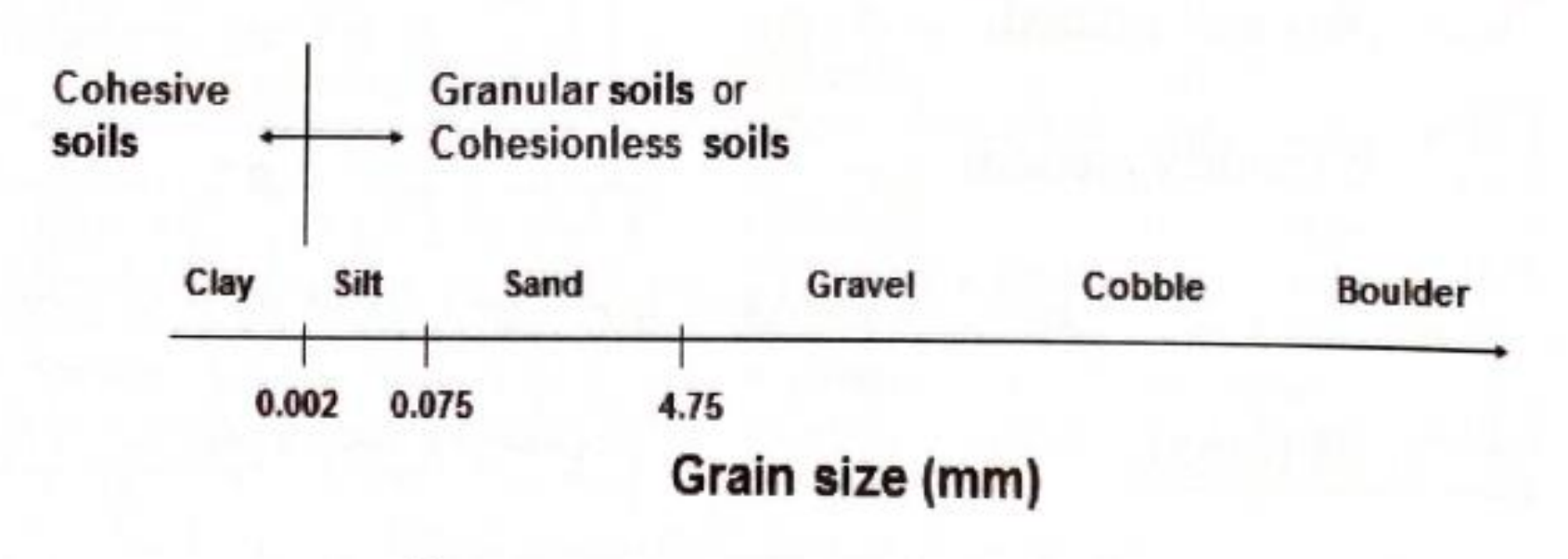
Unified Soil Classification System

يفيد تصنيف التربة في تحديد خواص ومواصفات هذه التربة في منطقة التأسيس أو تلك التي تستخدم في أعمال الطرق والردم وغيرها.

• سيتم في هذا المنهاج التعرف على نظام التصنيف الموحد للتربة USCS

التجارب المعتمدة في التصنيف

 ١- تجربة التركيب الحبي: من خلال معرفة نسب واقطار حبات التربة يمكن تصنيفها ضمن مجموعات كما يبين الشكل

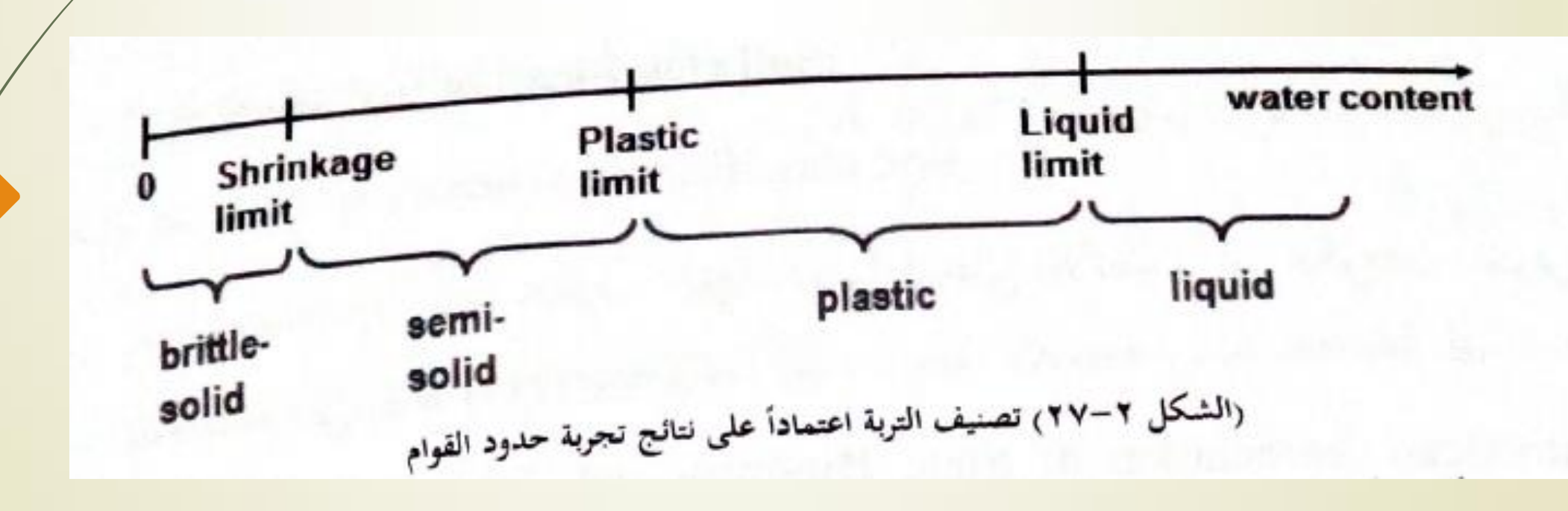


Fine grain Coarse grain soils

(الشكل ٢-٢٦) تصنيف التربة اعتماداً على نتائج تجربة التحليل الحبي

: Atterberg Limits جربة حدود القوام

يستفاد من تجربة حدود القوام في تحديد حالة التربة الناعمة من حيث درجة اللدونة يالقياس بقيمة دليل اللدونة Ip كما يوضح الشكل:



• •

يعتبر نظام التصنيف USCS من الأنظمة الدقيقة والمفصلة وهي بآن واحد مبسطة وسهلة الاستخدام يستخدم هذا النظام رموز تميز مجموعات التربة اعتماداً على حجم ذراتها، مثل:

- حجارة (حصى) G gravel
- . S sand رمل
- M silt سيلت
- C clay غضار

هذه الرموز يمكن أن تكون مقرونة برموز أخرى تتعلق بخصائص التدرج الحبي مثل:

W (well graded)

جيد التدرج

P (poorly graded)

سيىء التدرج

1 • 1

كما يمكن أن تكون مقرونة برموز أخرى تتعلق بخصائص اللدونة مثل:

H (high)

لدونة عالية (مرتفعة)

L (Low)

لدونة منخفضة

O (organic)

مواد عضوية

أمثلة:

CL (clay soil with low plasticity)

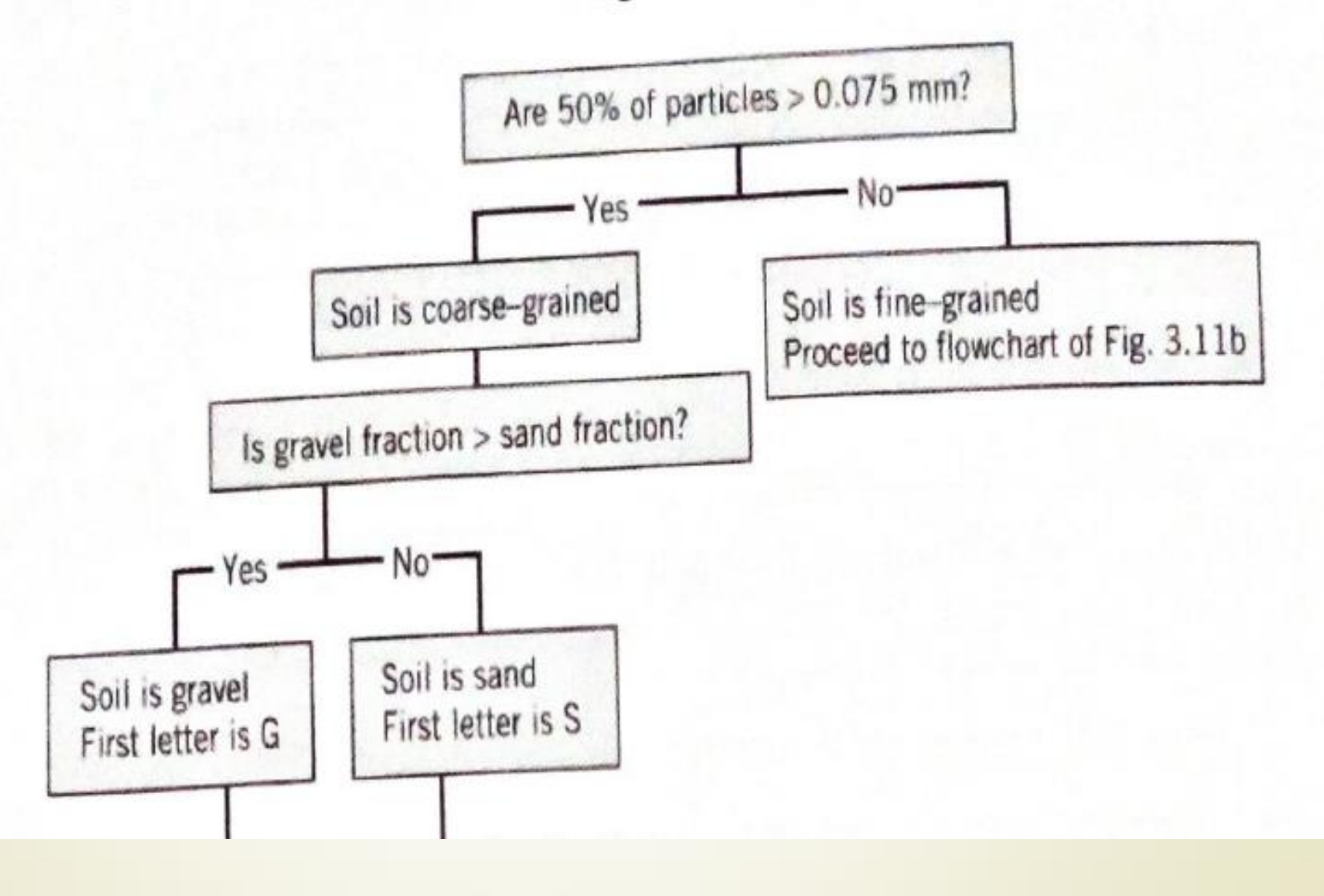
غضار منحفض اللدونة

SP (poorly graded sand)

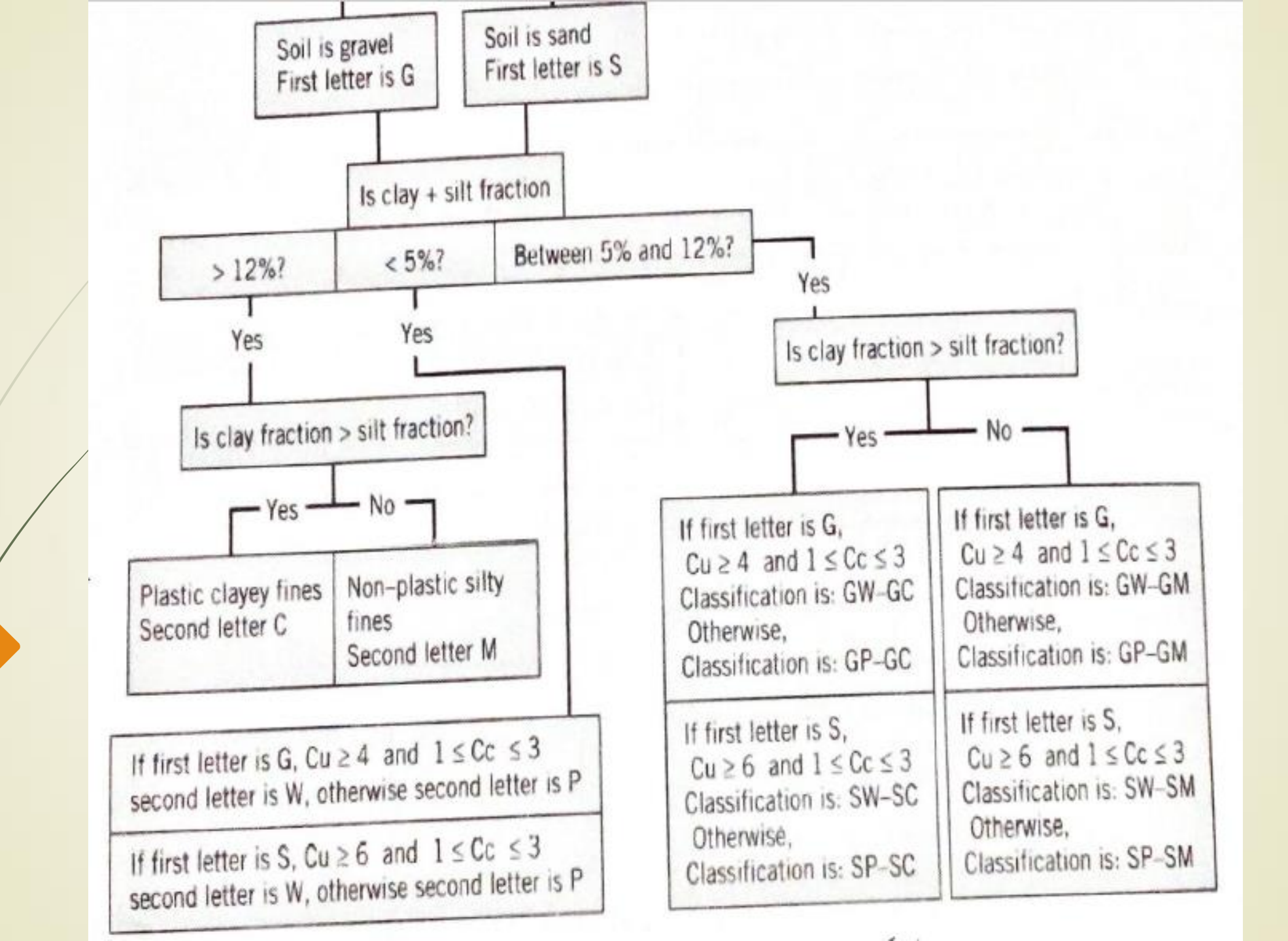
رمل سيىء التدرج

1.7

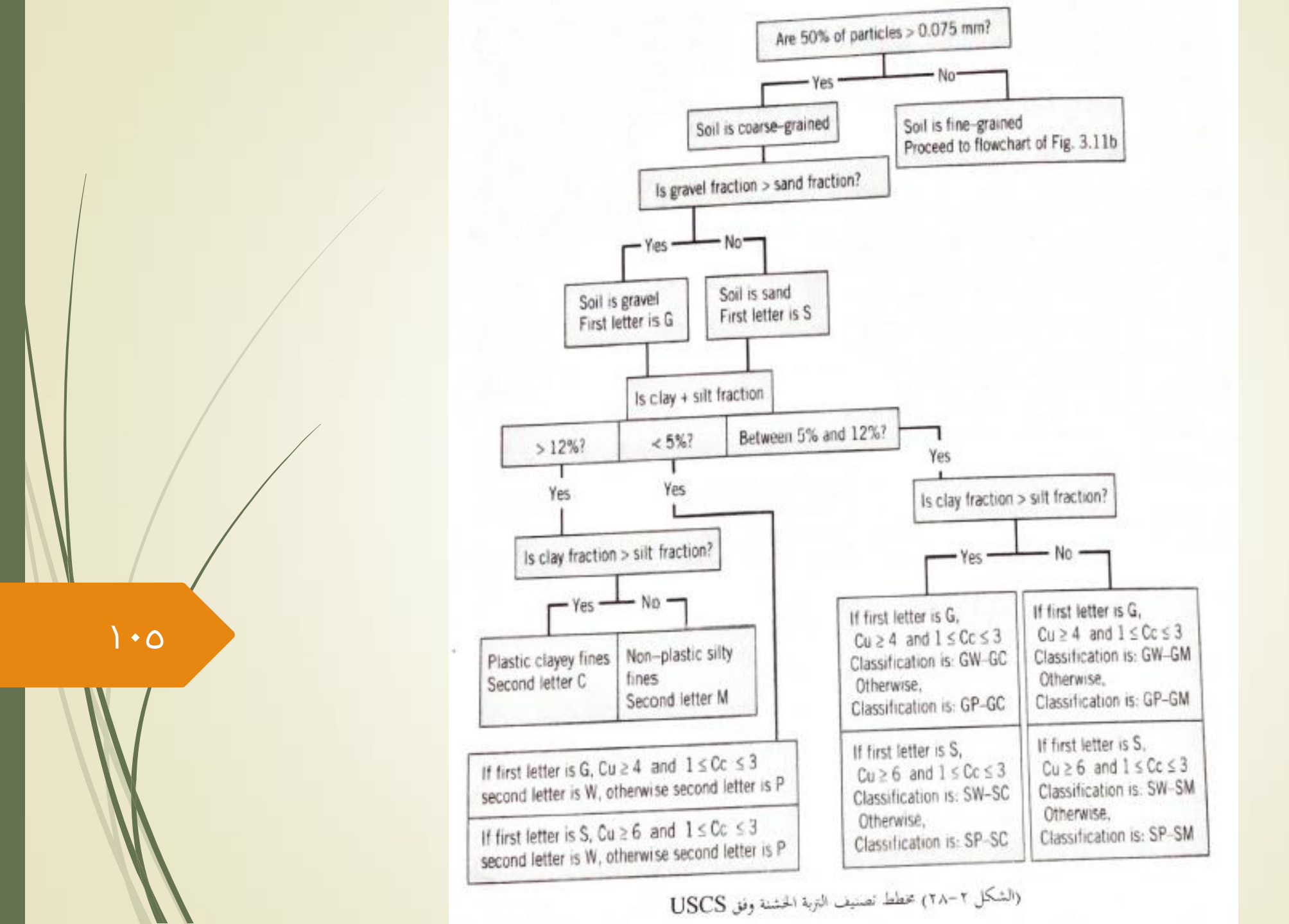
مخطط تصنيف التربة الموحد USCS للترب الخشنة



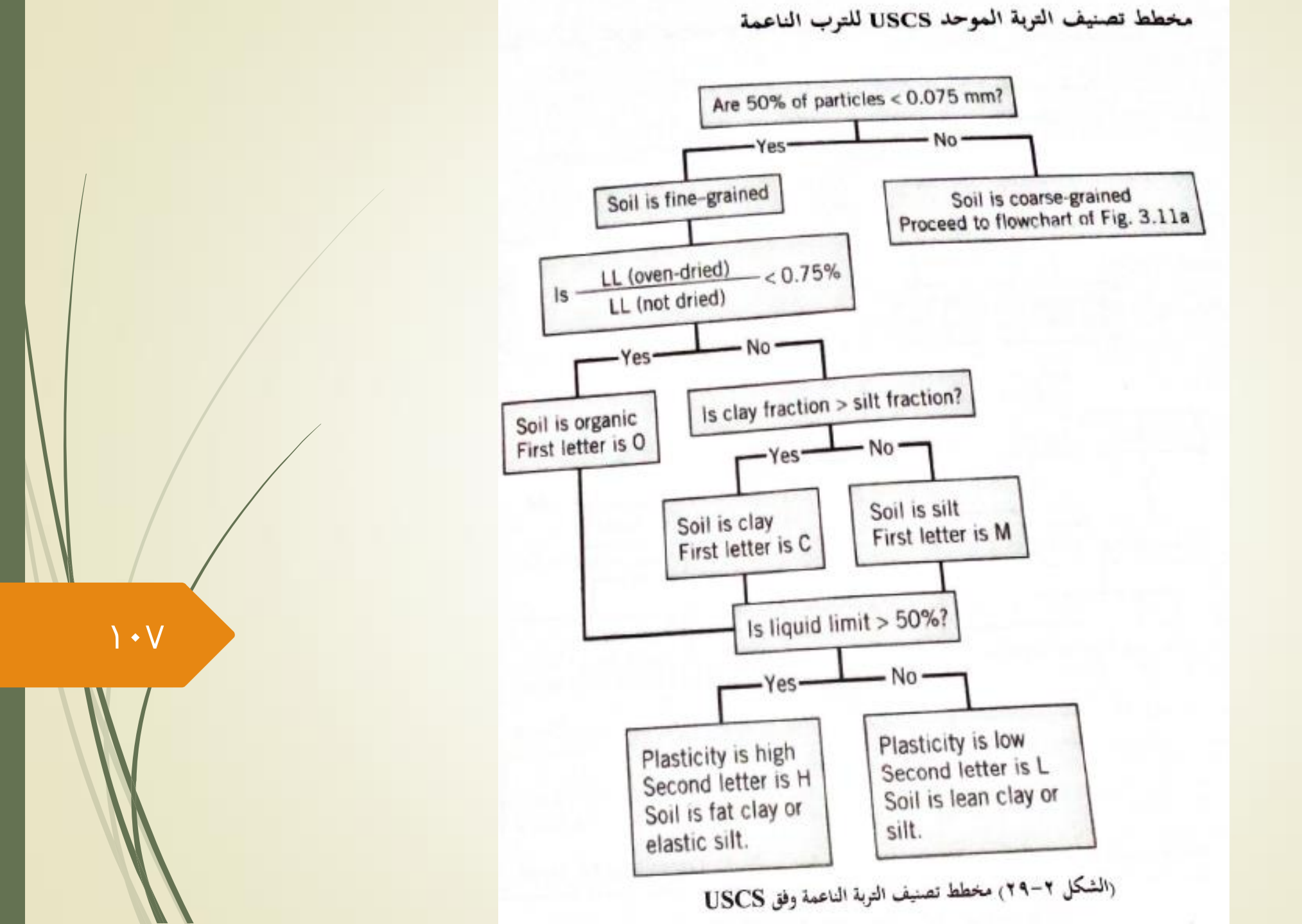
1.5



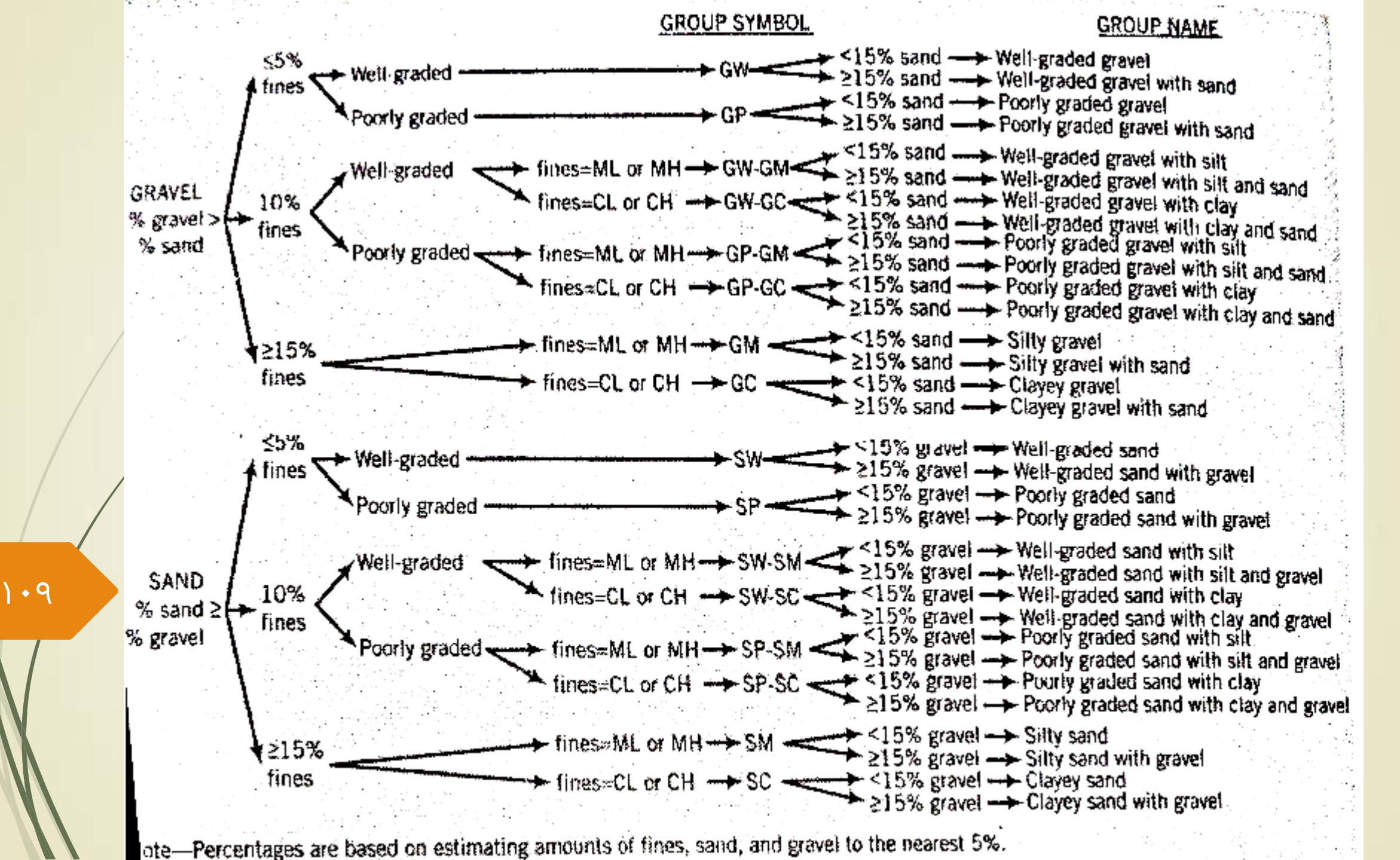
1 . 5

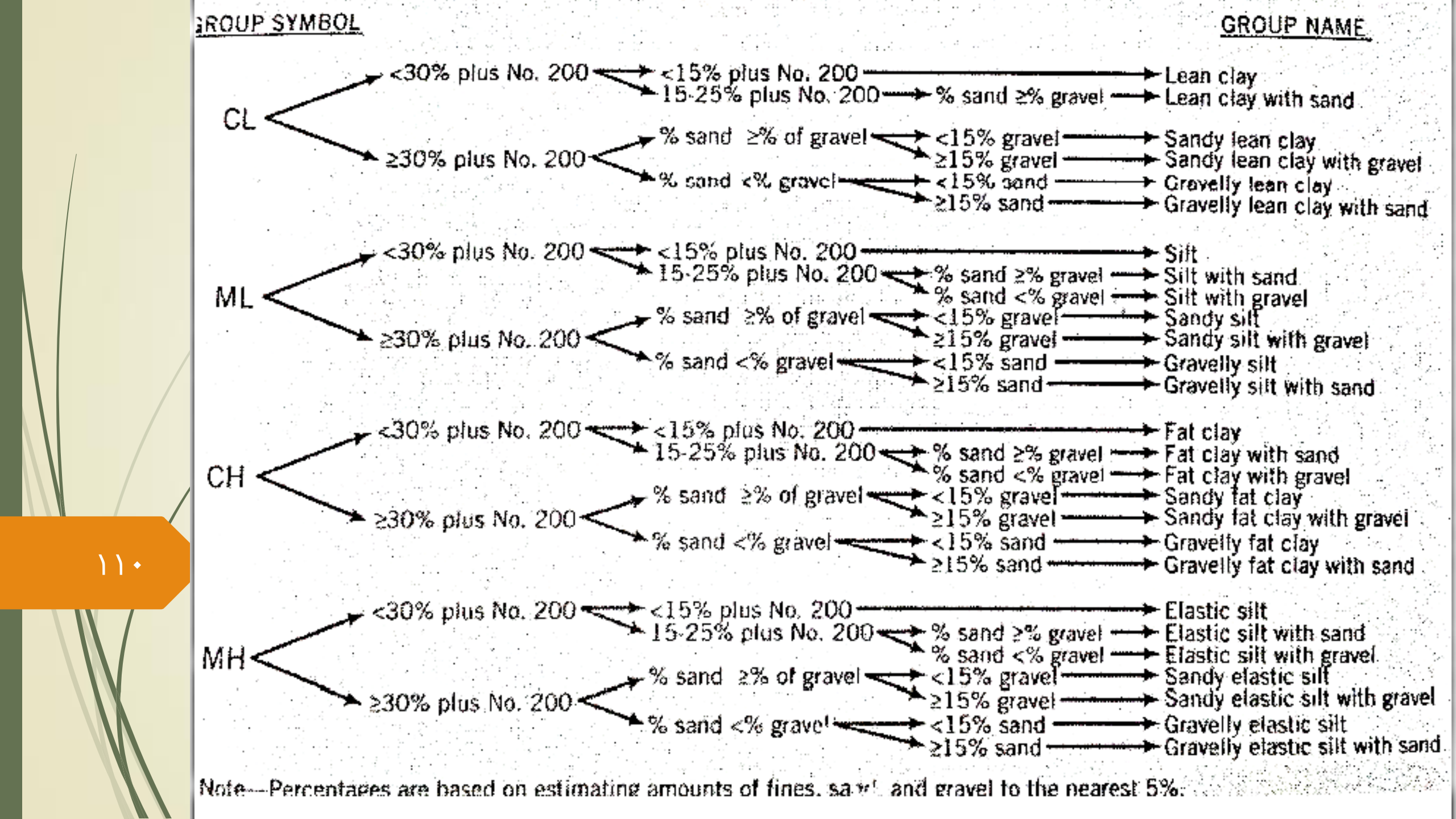


هل %50 من المواد أكبر من mm 0.075 أي أن المواد خشنة، في هذه الحالة يمكن الاستعانة بالمخطط النهجي السابق لتحديد صنف التربة واختيار الرمز الملائم له. أما إذا كانت نسبة المواد المارة من المنخل mm 0.075 أكبر من %50 فالمواد ناعمة ونلجأ في هذه الحالة إلى المخطط النهجي الآخر الخاص بالمواد الناعمة لتصنيف هذه التربة:

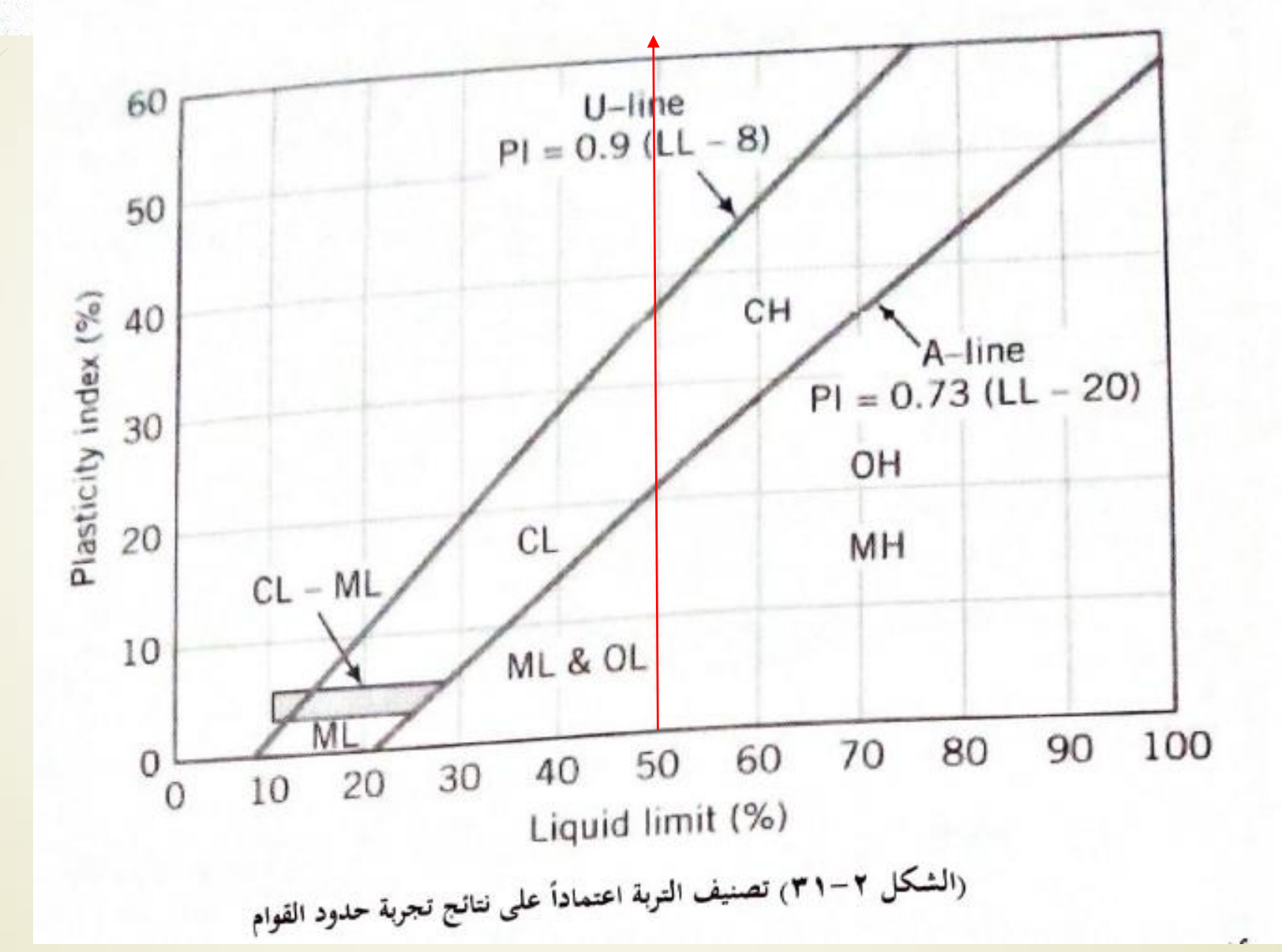


كما يمكن الاعتماد على التحليل التالي في تصنيف التربة للنظام الموحد





تصنف الترب الناعمة كما رأينا من خلال نتائج تجارب حدود القوام كما يمكن الاعتماد على المخطط الموضح في الشكل لتحديد نوعية التربة الناعمة:



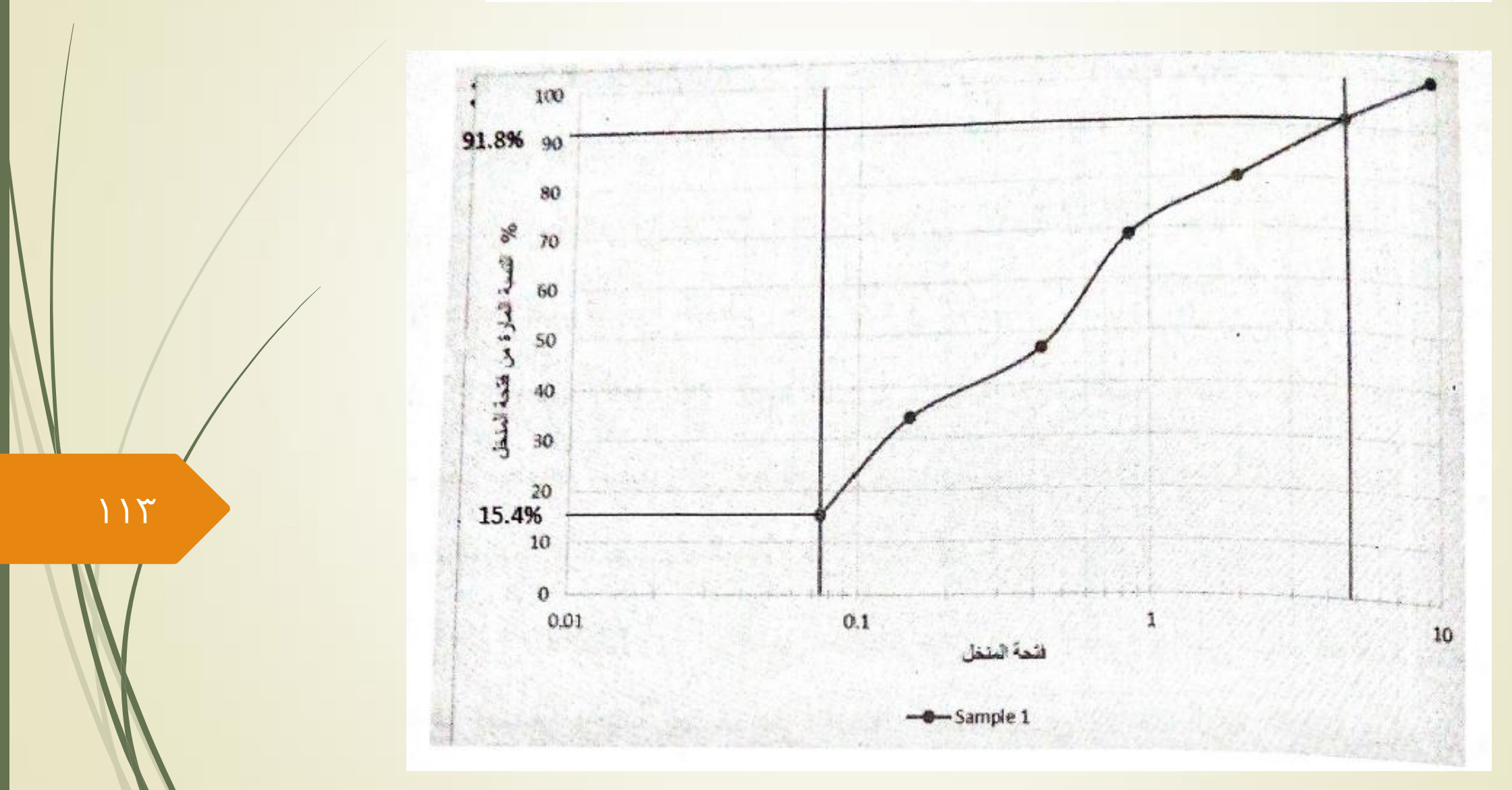
مسألة (٢-٥): ليكن لدينا نتائج تحربة التحليل الحبي التالية:

| Sieve # | Diameter mm | % Retained | % Finer |
|---------|-------------|------------|---------|
| 3/8" | 9.53 | 0 | 100 |
| 4 | 4.75 | 8.2 | 91.8 |
| 10 | 2 | 11.7 | 80.1 |
| 20 | 0.85 | 11.2 | 68.9 |
| 40 | 0.425 | 21.9 | 47 |
| 100 | 0.15 | 13.1 | 33.9 |
| 200 | 0.075 | 18.5 | 15.4 |

المطلوب تصنيف هذه التربة إذا علمت أن:

حد السيولة للعينة %WL=62 وحد اللدونة %Wp=20

الحل: يتم أولاً رسم منحني التحليل الحبي لهذه العينة (فتحة المنخل- النسبة المارة)، فيكون:



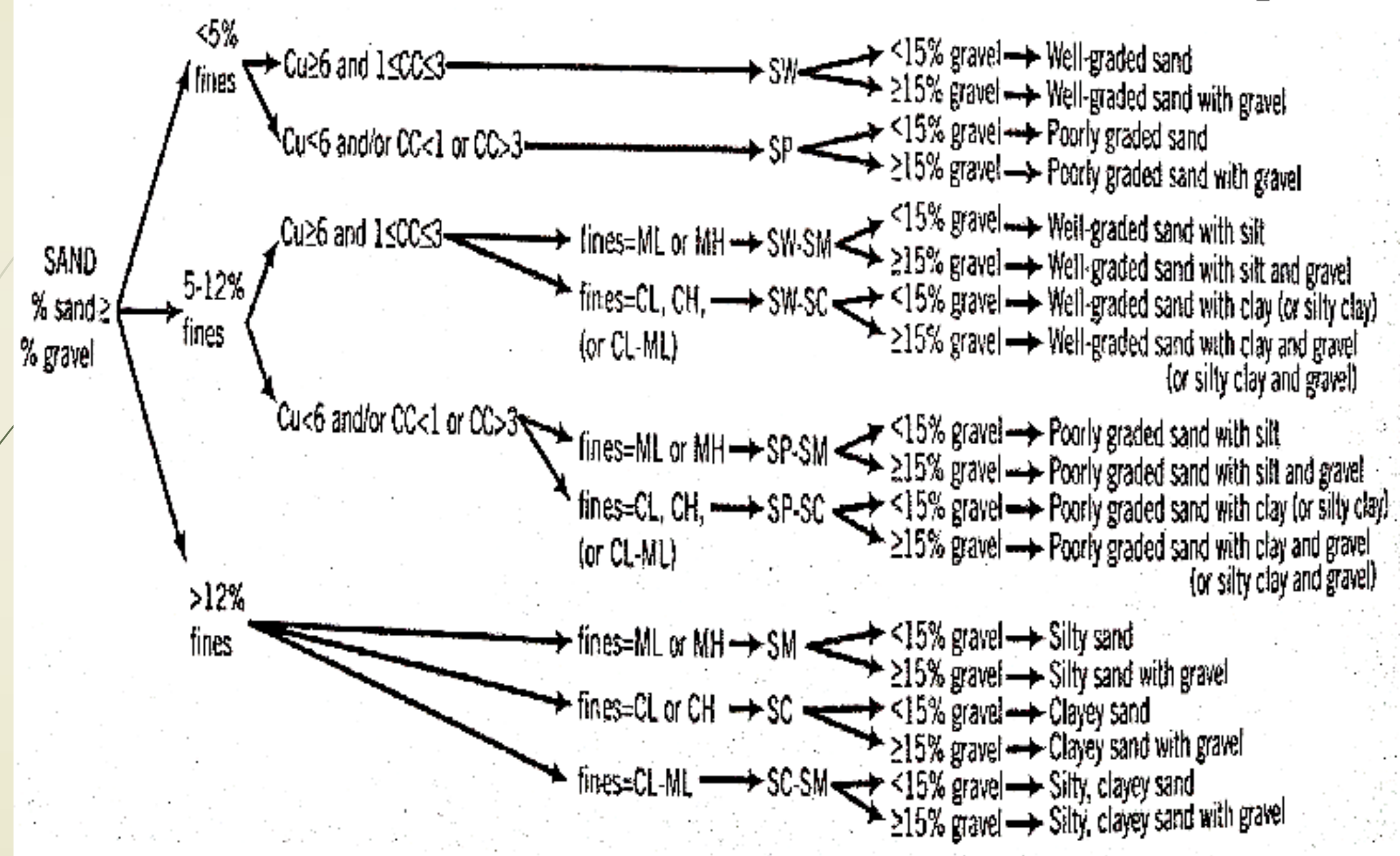
يلاحظ أن نسبة المواد الناعمة (أصغر من 0.075mm) هي 15.4%

ونسبة الرمل في العينة هي %76.4

تكون نسبة الحصويات هي نسبة المواد المحجوزة على المنخل ذو الفتحة 4.75mm و هي

تساوي %8.2=8.19-100

تحليل النتائج يكون الاستعانة بالمخطط التالي:



يلاحظ من المخطط السابق أن في حالة الترب الخشنة (سواء الرملية أو الحصوية) لدينا ثلاث حالات لنسب المواد الناعمة وهي:

أولاً %5>200+1 أي أن التربة الخشنة نظيفة وتأخذ تصنيفاً وحيداً يعتمد على معاملي الانحناء والتقعر لمنحني التحليل الحبي Cu و Cc.

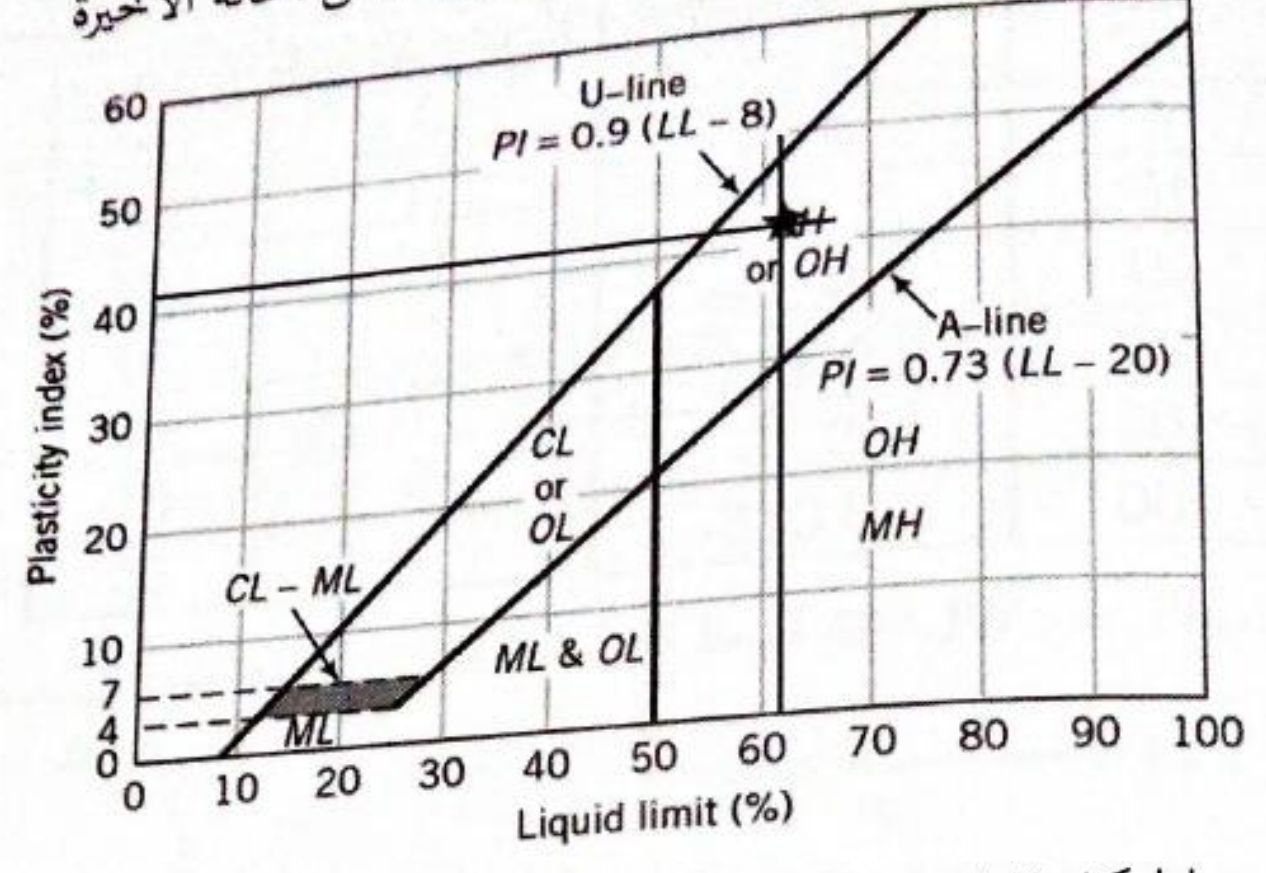
ثانياً %12>4200<19% التربة الخشنة مشوبة بتربة ناعمة وعندها تأخذ هذه التربة تصنيفا مزدوجاً يعتمد على معاملي الانحناء والتقعر ومخطط كاساغراندي ويضاف اسم المواد الناعمة إلى تصنيف التربة (رمل جيد التدرج مع غضار)

ثالثاً %12</br>
عندها تصنيفا وحيداً يعتمد على مخطط كاساغراندي وتأخذ التربة الخشنة صفة التربة الناعمة والناعمة والناعمة (رمل غضاري)

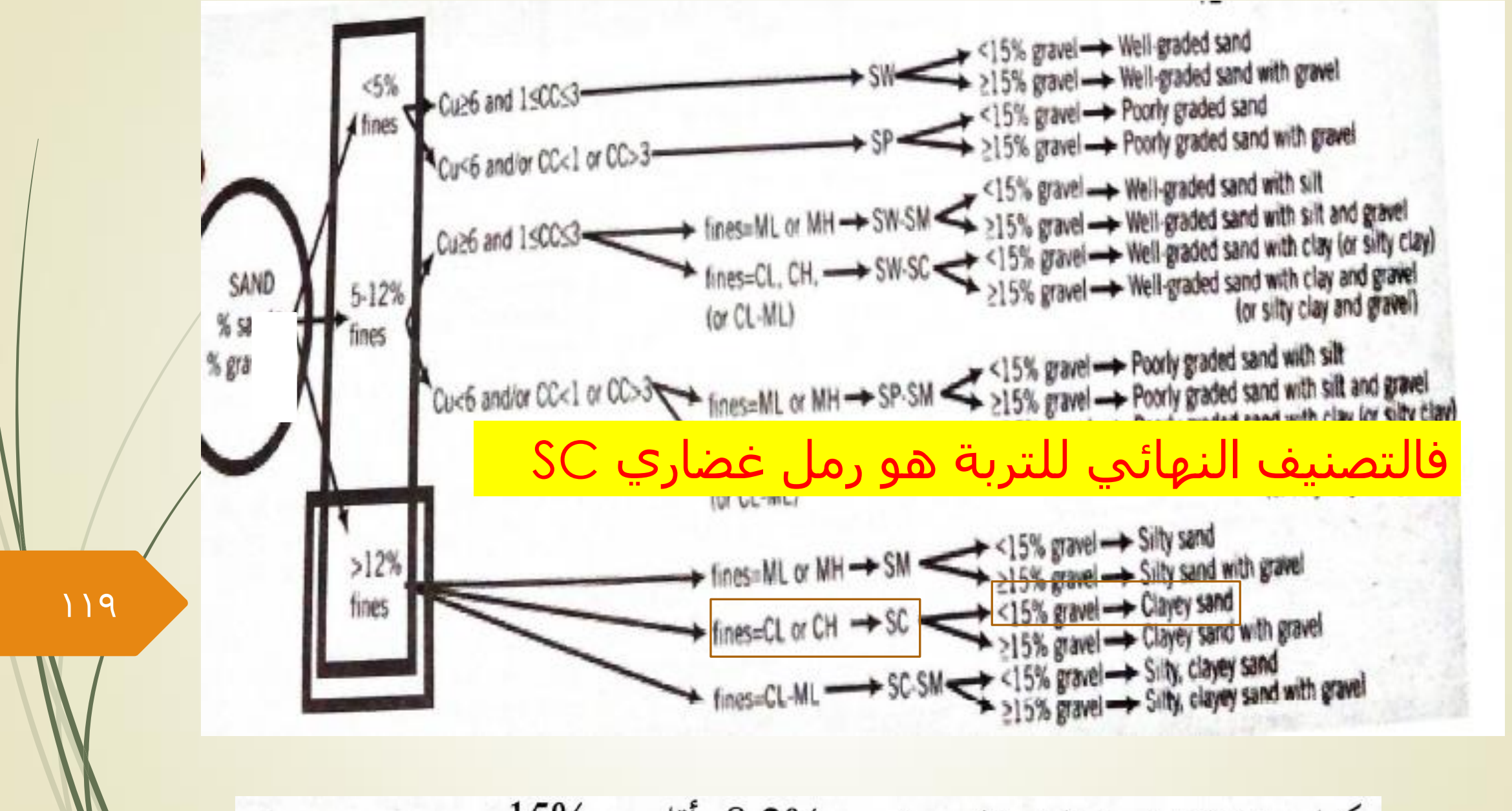
ويلاحظ أيضاً أن للمواد الحصوية أثراً في التسمية فإذا زادت نسبتها عن %15 نضيفها إلى تصنيف التربة (رمل جيد التدرج مع غضار وحصى) كما تبين فالتربة رملية حيث أن نسبة الرمال أكبر من نسبة الحصى في التربة الترية <15% gravel --- Well-graded sand ≥15% gravel → Well-graded sand with gravel <15% gravel → Poorly graded sand ≥15% gravel → Poorly graded sand with gravel Cu<6 and/or CC<1 or CC> <15% gravel - Well-graded sand with silt Fines=ML or MH → SW-SM
≥15% gravel → Well-graded sand with silt and gravel fines=CL, CH, -> SW-SC <15% gravel -> Well graded sand with clay (or sifty clay) ★ ≥15% gravel → Well-graded sand with clay and gravel SAND 5-12% (or silty clay and grave) (or CL-ML) Cu<6 and/or CC<1 or CC>3 fines=ML or MH → SP-SM < 15% gravel → Poorly graded sand with silt and gravel % gravel fines=CL, CH, -> SP-SC -<15% gravel -> Poorly graded sand with clay (or sitty clay) 111 ➤ ≥15% gravel --> Poorly graded sand with clay and gravel (or silty clay and gravel) (or CL-ML) → fines=ML or MH → SM <=><15% gravel → Silty sand >12% → ≥15% gravel → Silty sand with gravel ► fines=CL or CH → SC <15% gravel → Clayey sand fines → ≥15% gravel → Clayey sand with gravel fines=CL-ML → SC-SM <15% gravel → Silty, clayey sand with gravel → Silty, clayey sand with gravel

الخطوة التالية هي استخدام نسبة المواد الناعمة المارة من المنخل ذو الفتحة 0.075mm

وكما وجدنا هي %15.4 وهي أكبر من %12 إذن نحن ضمن الحالة الأخيرة



كما سبق من مخطط كاساغراندي فالمواد الناعمة هي من نوع غضار عالي الانضغاطية أي: CH



وكما وجدنا فإن نسبة المواد الحصوية هي %8.2 وأقل من %15

مسألة (٢-٢): ليكن لدينا نتائج تحربة التحليل الحبي التالية:

| Sieve # | Diameter mm | % Retained | % Finer |
|---------|-------------|------------|---------|
| 3/8" | 9.53 | 0 | 100 |
| 4 | 4.75 | 11 | 89 |
| 10 | 2 | 10 | 79 |
| 20 | 0.85 | 9 | 70 |
| 40 | 0.425 | 4 | 66 |
| 100 | 0.15 | 5 | 61 |
| 200 | 0.075 | 7 | 54 |

المطلوب تصنيف التربة علماً بأن: حد السيولة للعينة WL=42 وحد اللدونة Wp=20

17.

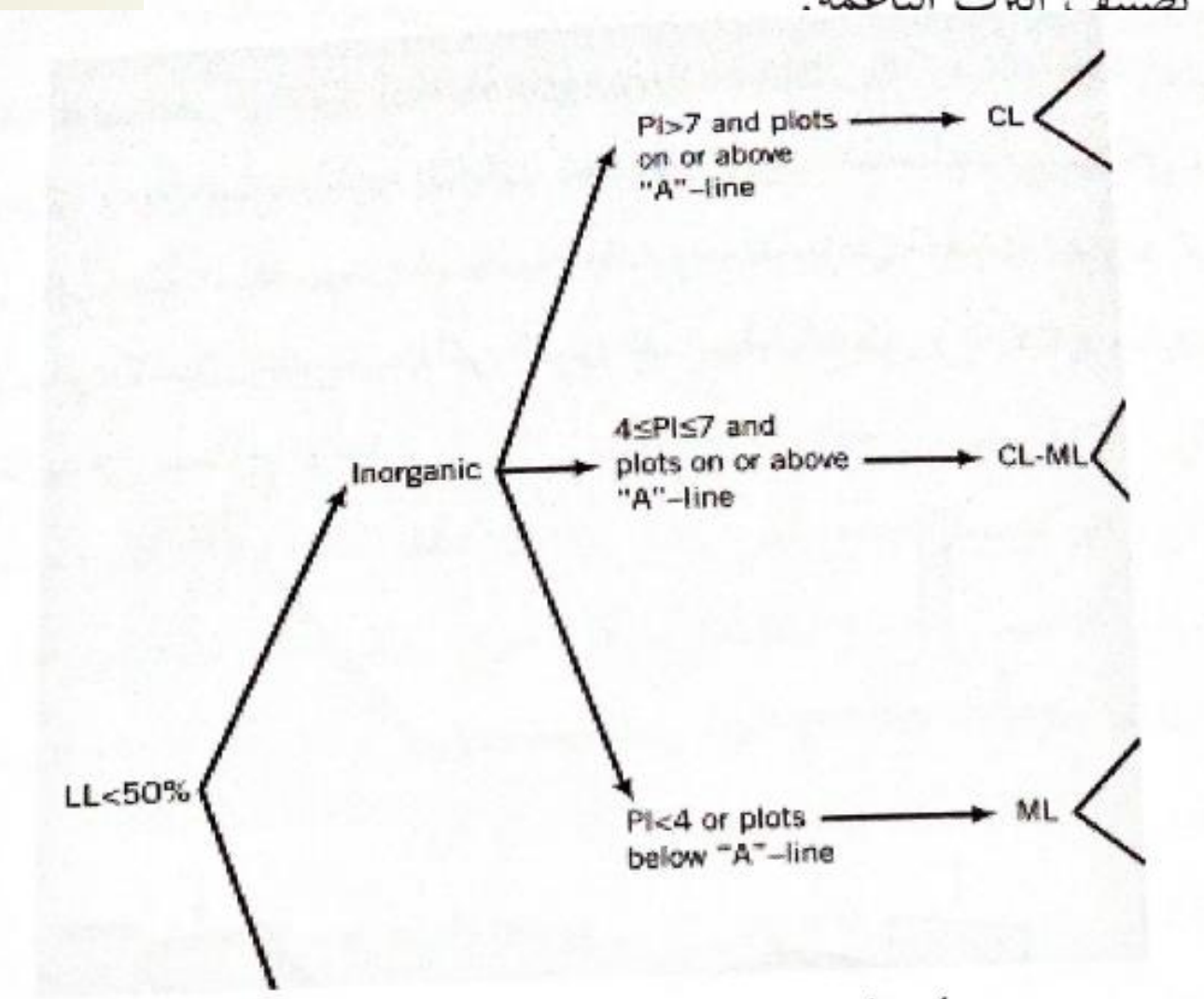
من حدول التحليل الحبي للعينة سنقوم باستخراج نسب المواد الأساسية نسبة المواد المحجوزة على المنخل 44 هي الحصويات %11=89-80=0 نسبة المواد المارة من المنخل 44 والمحجوزة على المنخل 200# هي الرمال \$\$S=89-54=35

نسبة المواد الناعمة المارة من المنخل 200# هي %F=54

| Sieve # | Diameter mm | % Retained | % Finer |
|---------|-------------|------------|-----------|
| 3/8" | 9.53 | | |
| 4 | 4.75 | 11 | 100 89 |
| 10 | 2 | 10 | 79 |
| 20 | 0.85 | 9 | 70 |
| 40 | 0.425 | 4 | 66 |
| 100 | 0.15 | 5 | 61 |
| 200 | 0.075 | 7 | 54 |

نسبة المواد الناعمة المارة من المنخل 200# هي %50<F=54 أي أن التربة ذات أغلبية ناعمة.ولتصنيف هذه التربة سنعتمد على مخطط كاساغراندي.

وسنتبع المخطط التالي في تصنيف ، الةب الناعمة.



ولدينا من نص المسألة أن التربة ذات حد سيولة WL=42 أي أنها منخفضة الانضغاطية. لذلك سنعتمد في الحساب على دليل اللدونة PI=WL-WP=42-20=22 وهذه القيمة 7حال أي أن التربة غضارية منخفضة الانضغاطية CL أي أن التربة غضارية منخفضة الانضغاطية المناسبة عضارية منخفضة الانضغاطية المناسبة المناسبة المناسبة عضارية منخفضة الانصغاطية المناسبة ا

الخطوة التالية هي فحص كمية المواد المحجوزة على المنحل 200# (أي الحصى والرمال) وبما أن المواد المارة من المنحل 200# هي 54% فالمواد المحجوزة على المنحل 200# ولمناحل التي تسبقه هي S+G=100-54=46% وهذه النسبة G+S>30% إذن سوف يضاف أثر هذه المواد على التصنيف النهائي للتربة.

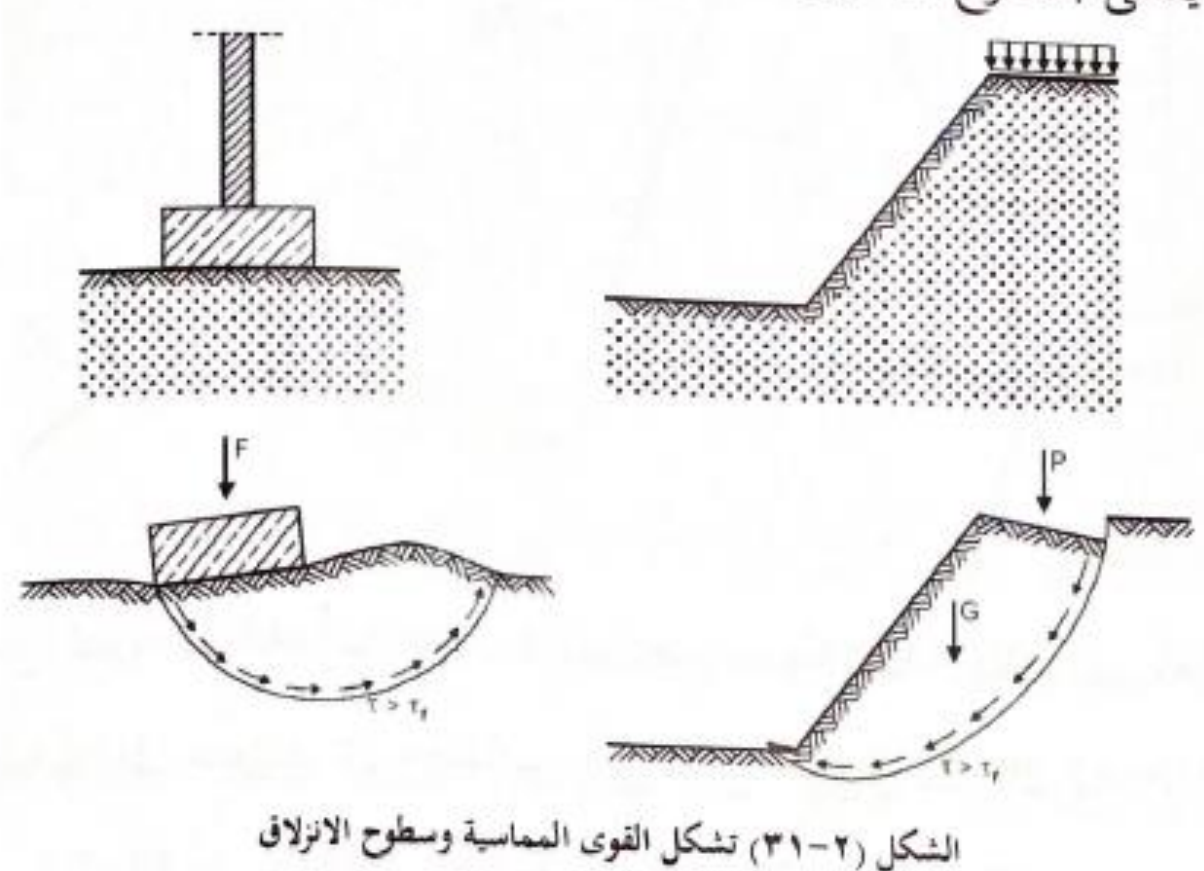
ولكن السؤال هنا هل ستأخذ التربة الناعمة صفة الرمل أم الحصى؟؟

لذلك علينا معرفة نسبة كل من الحصى والرمل لدينا مسبقا S=35% و G=11% إذن S>G فالتربة هنا إذن ذات صفة رملية وبما أن نسبة الحصى G=11% S>G فهي لاتذكر في التصنيف

فالتصنيف النهائي للتربة هو: غضار رملي منخفض الانضغاطية SCL

Shear Strength of Soil في التربة المجاه القص في التربة

تتأثر التربة الواقعة تحت المنشآت الهندسية بأوزان هذه المنشآت بشكل مباشر فيحدث فيها انضغاط قد يزيد عن حدوده المسموحة مما يؤدي لحدوث انحيارات كما في حالة الأساس المنعزل والمنحدر بتأثير القوى المماسية، الشكل (٢-٣١) وذلك بفعل تشكل ما يدعى بسطوح الانحيار.



إن القيمة العظمى لمقاومة التربة للقوى المماسية تدعى بقوى القص لهذه التربة وهي عبارة عن مجموع تأثير قوى الاحتكاك φ وقوى التماسك c المقاومة للقص، وقد بين كلاً من C عن مجموع تأثير قوى الاحتكاك φ وقوى النماسك C المقاومة للقص، وقد بين كلاً من C العلاقة بين الإجهاد الناظمي والإجهاد المماسي وفق ما يلي:

$$\tau = c + \sigma \cdot \tan \varphi \tag{27-7}$$

حيث ϕ° راوية الاحتكاك σ (kN/m²) وي التماسك ، ϕ° زاوية الاحتكاك الداخلية، σ (kN/m²) الإجهاد الناظمي.

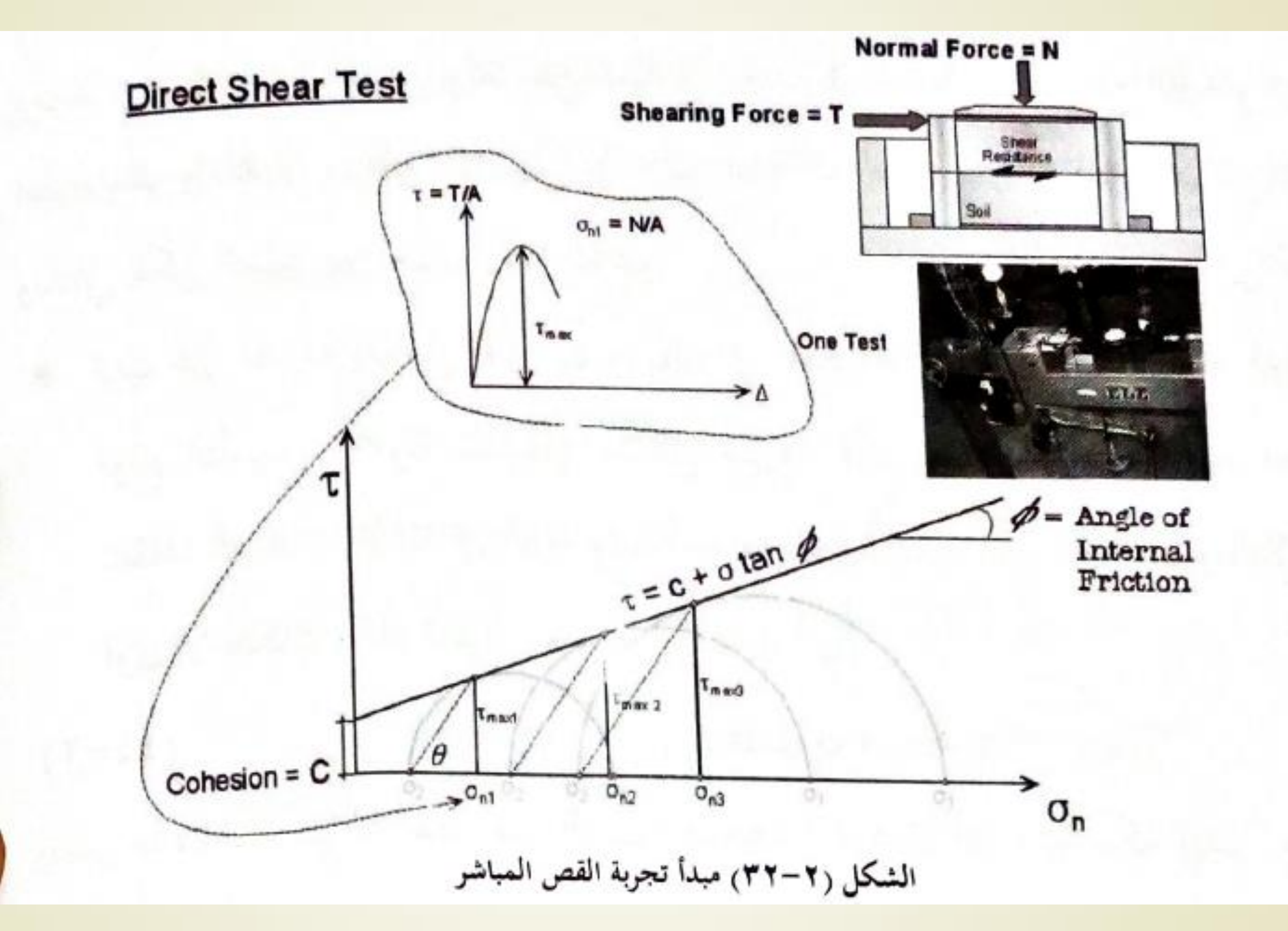
يرمز لد c و ф بعوامل القص وتعد من العوامل المفيدة في حساب قيم دفع التربة و توازن المنحدرات واستقرار مناطق التأسيس و تتأثر هذه العوامل بالجريان المائي ضمن التربة

يتم إيجاد قوى القص أو عوامل القص مخبرياً بواسطة ثلاثة أنواع من التجارب: تجربة القص المباشر ، تجربة الانضغاط أحادي المحور، تجربة الانضغاط ثلاثي المحاور

تجربة القص المباشر direct shear test:

يبين الشكلين (٢-٣٣) و (٣٣-٢) مبدأ تجربة القص المباشر والجهاز المستخدم حيث توضع العينة الترابية مقطعها (A(cm²) في حجرة القص المكونة من قطعة سفلية

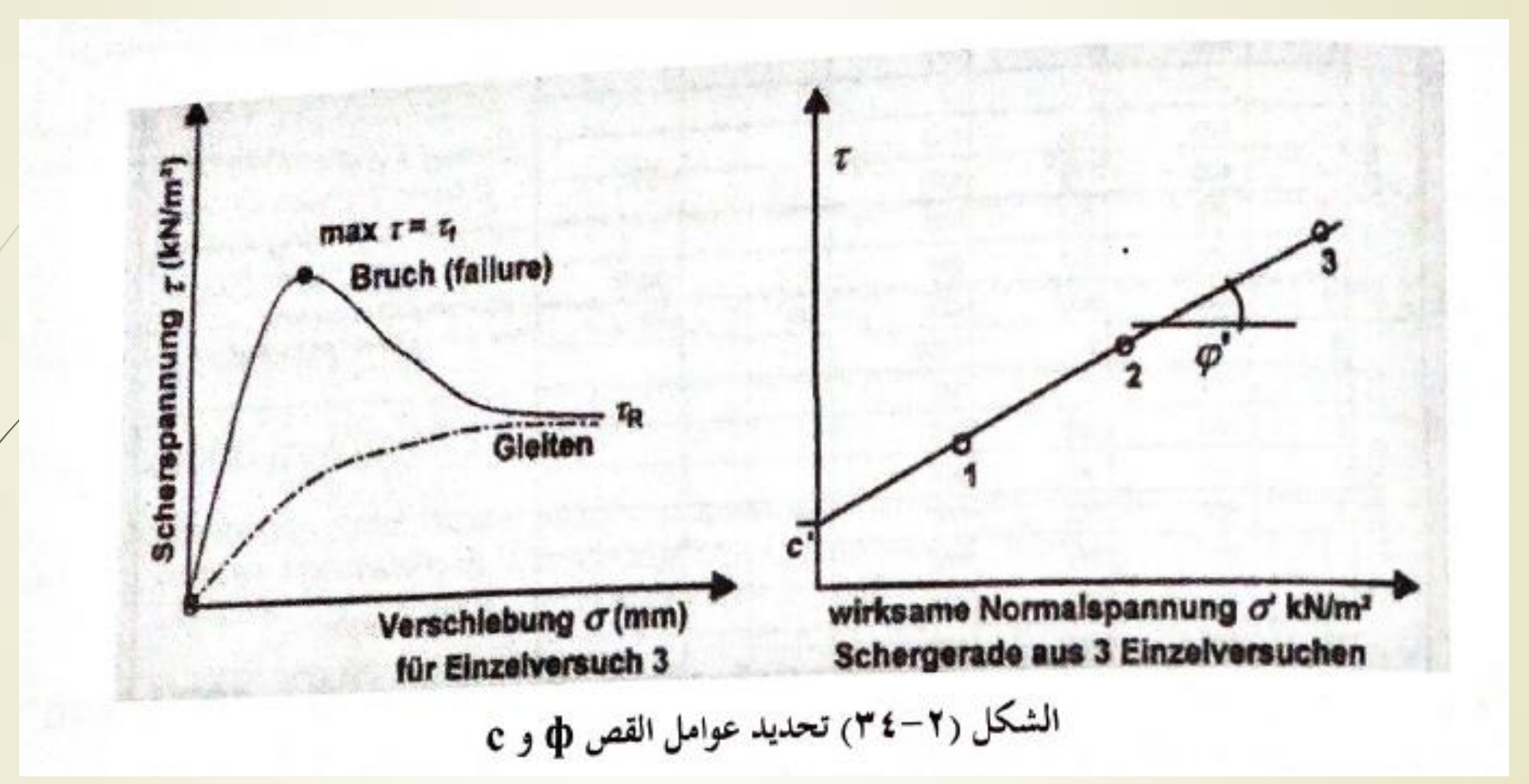
ثابتة وأخرى علوية قابلة للحركة الأفقية بتأثير قوى القص T بسرعة منتظمة يمكن التحكم



وفق حالة التجربة ويطبق عليها إجهاد ناظمي $\sigma_{\rm v}$ ونتيجة لذلك تنشأ في العينة الترابية قوى ممانعة لحركة الجزء العلوي من علبة القص وهي القوى المماسية τ وتستمر التجربة في هذه الحالة حتى تتغلب قوة الإزاحة الأفقية على القوى الممانعة وعندها تنهار العينة ويحدث القص، تكرر التجربة بقيمة جديدة للإجهاد الناظمي كحد أدنى ثلاث

مرات يتم في كل مرة دراسة العلاقة بين الإزاحة الأفقية و إحهاد القص r وتحديد القيمة العظمى Tmax التي يحدث عندها الانحيار.

بتمثيل العلاقة بين قيم τ على المحور الشاقولي وقيم الإجهاد الناظمي المماثلة لكل حالة على المحور الأفقي يتم المستقيم الأمثل والمار بين نقاط التمثيل، الشكل (τ - τ) عثل ميل هذا المستقيم زاوية الاحتكاك الداخلية للتربة ϕ أما تقاطع المستقيم مع المحور الشاقولي فيمثل قيمة تماسك التربة τ .



17.

يبين الجدول التالي قيم عملية لزاوية الاحتكاك الداخلية والتماسك حسب نوع التربة: بحسب النظام الألماني 3-137 IDIN 18 137:

الجدول (۸–۲) قيم Φ , c قيم الترب

| c' (kN/m ²) | ф` | نوغ التربة | |
|-------------------------|-------|-------------------------|---------|
| | 37.5° | حجر ورمل متوسط الكثافة | |
| | 30.0° | رمل مخلخل | ترب غير |
| -1015 | 32.5° | رمل متوسط الكثافة | متماسكة |
| 1- 1- | 37.5° | رمل ناعم كثيف | |
| 30.0 | 27.5° | رمل غضاري مشدد | ترب |
| 15.0 | 27.5° | رمل غضاري متوسط التشديد | ستماسكة |

| 10.0 | 27.5° | رمل غضاري كتلي |
|------|-------|-------------------------------------|
| 10.0 | 30.0° | سيلت قليل اللدونة |
| 30.0 | 25.0° | غضار متوسط اللدونة متوسط التشديد |
| 20.0 | 25.0° | غضار متوسط اللدونة مشدد |

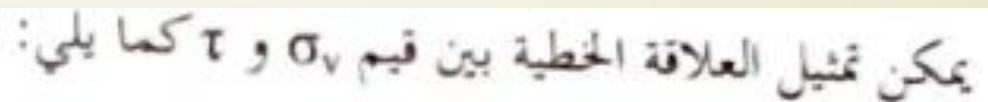
مسألة (٧-٧):

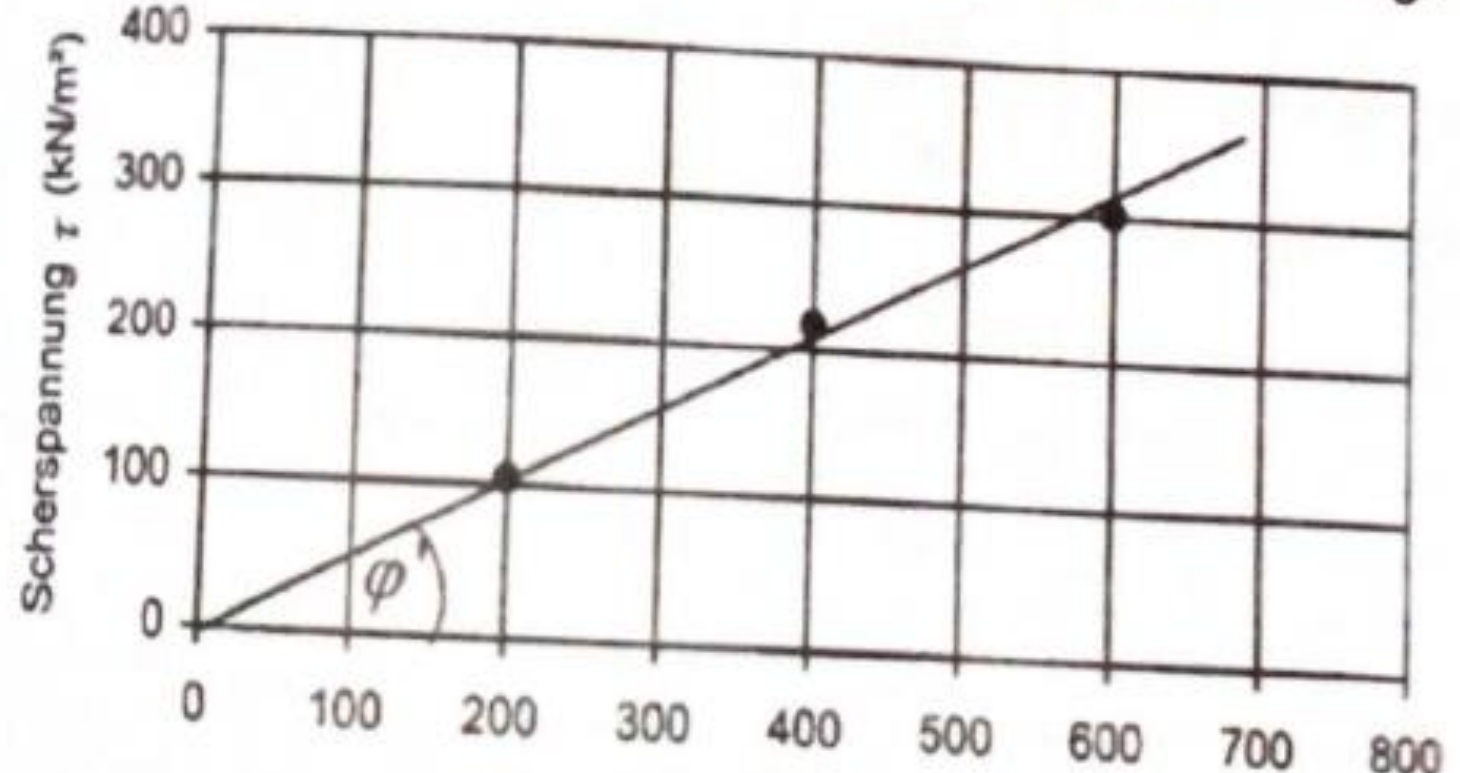
يوضح الجدول المرفق نتائج تجربة القص المباشر لعينة ترابية من الرمل السيلتي الناعم بوضعها المخلخل،

 $\sigma_v = 200 - 400 - 600 \; kN/m^2$ تم اعتماد ثلاث قيم للإجهاد الناظمي:

| | | | كيل حدول النتائج: |
|-----|-----|-----|---------------------|
| 600 | 400 | 200 | $\sigma_v kN/m^2$ |
| 302 | 217 | | |
| | 217 | 105 | τ kN/m ² |

المطلوب تحديد عوامل القص للعينة





من المخطط البياني يمكن حساب قيمة زاوية الاحتكاك وفق:

$$\tan \varphi' = \frac{312}{600} = 0.52$$

$$\Rightarrow \varphi' = 27.5^{\circ}$$

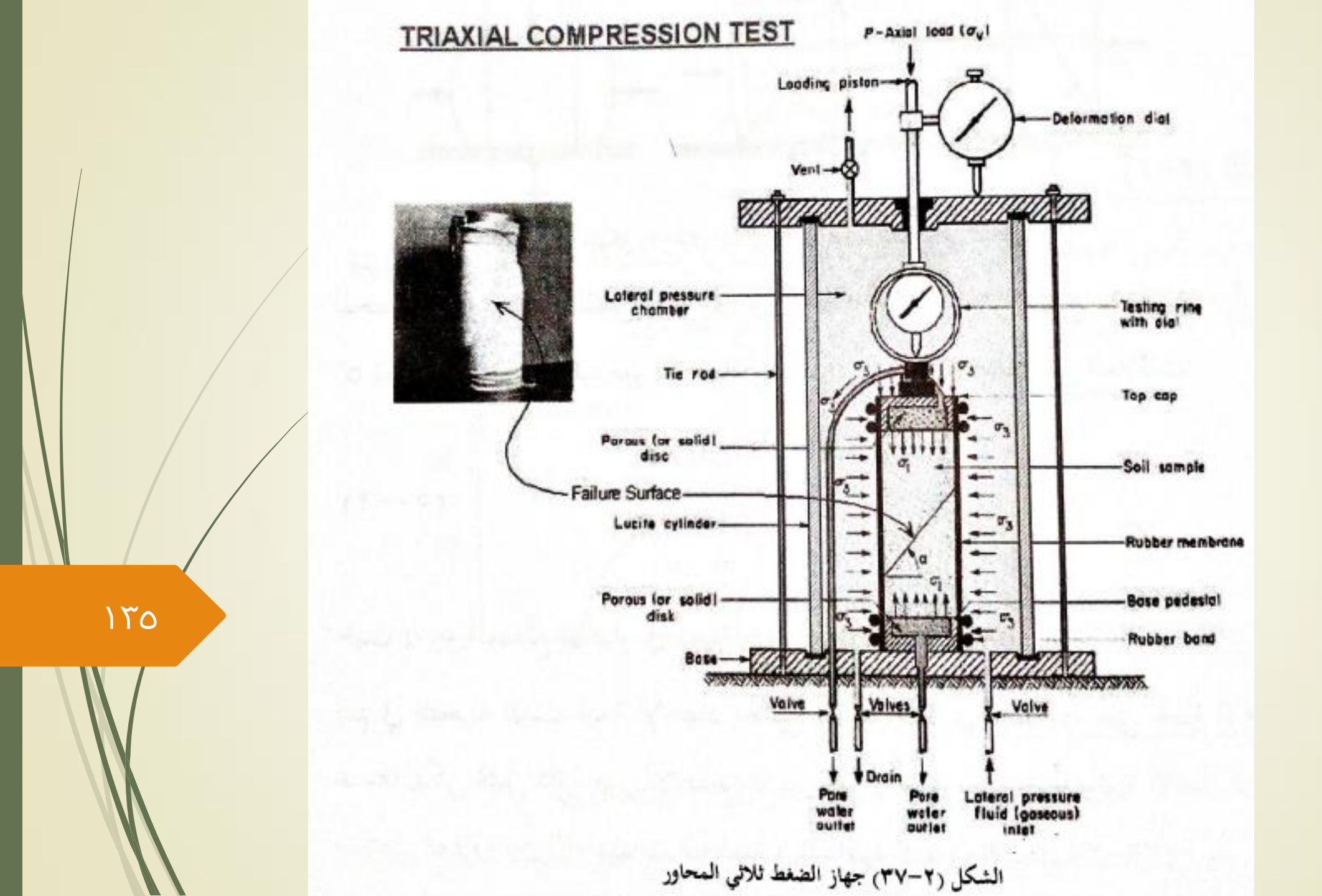
c=0 أي أن قيمة c=0 أي أن التربة عديمة التماسك باعتبارها رملية سيلتية.



تجربة الانضغاط ثلاثي المحور Triaxial test (تجربة القص غير المباشرة):

يعتمد على هذه التحربة في تحديد قيم مقاومة القص للتربة بشكل مشابه للواقع حيث تجهز عينة اسطوانية الشكل ضمن الخلية كما في الشكل (٢-٣٧) وتوضع الخلية ضمن حجرة تملأ بالماء ويطبق على الخلية ضغط تطويق جانبي و و آخر ناظمي المويد ويمكن تنفيذ هذه التجربة على عينات مشبعة وغير مشبعة وجافة ويوفر جهاز الضغط ثلاثي المحاور عدة إمكانيات لتنفيذ التجارب يمكن تلخيصها بما يلي:

- العينة مشددة و غير مصرفة (CU Test) consolidated- undrained test-
 - العينة مشددة و مصرفة (CD Test) :consolidated-drained test
- العينة غير مشددة و غير مصرفة UU Test) unconsolidated- undrained test):



تختلف أشكال انهيار العينة المدروسة باختلاف نوعها فالعينة القاسية ذات المواصفات الجيدة للتحمل لا تبدي أية هبوطات ظاهرية و لا تغير في مقطعها ويكون سطح الانهيار مائل كما في الشكل (٢-٣٨)، في حين تبدي العينة المتوسطة هبوطاً وتغير في المقطع بالإضافة إلى أن التشققات تكون عشوائية أحياناً، أما العينات الطرية فتبدي تغير لدن واضح في مقطعها وطولها.

الشكل (٣٨-٣) أشكال الانهيار بتجربة ضغط ثلاثي المحاور



للحصول على عوامل القص 'c و 'φ و الإجهاد الناظمي على سطح الانكسار σ أو للحصول على على سطح الانكسار σ أو همكن الاستعانة بدائرة مور للإجهادات Mohr's circle وذلك من العلاقات:

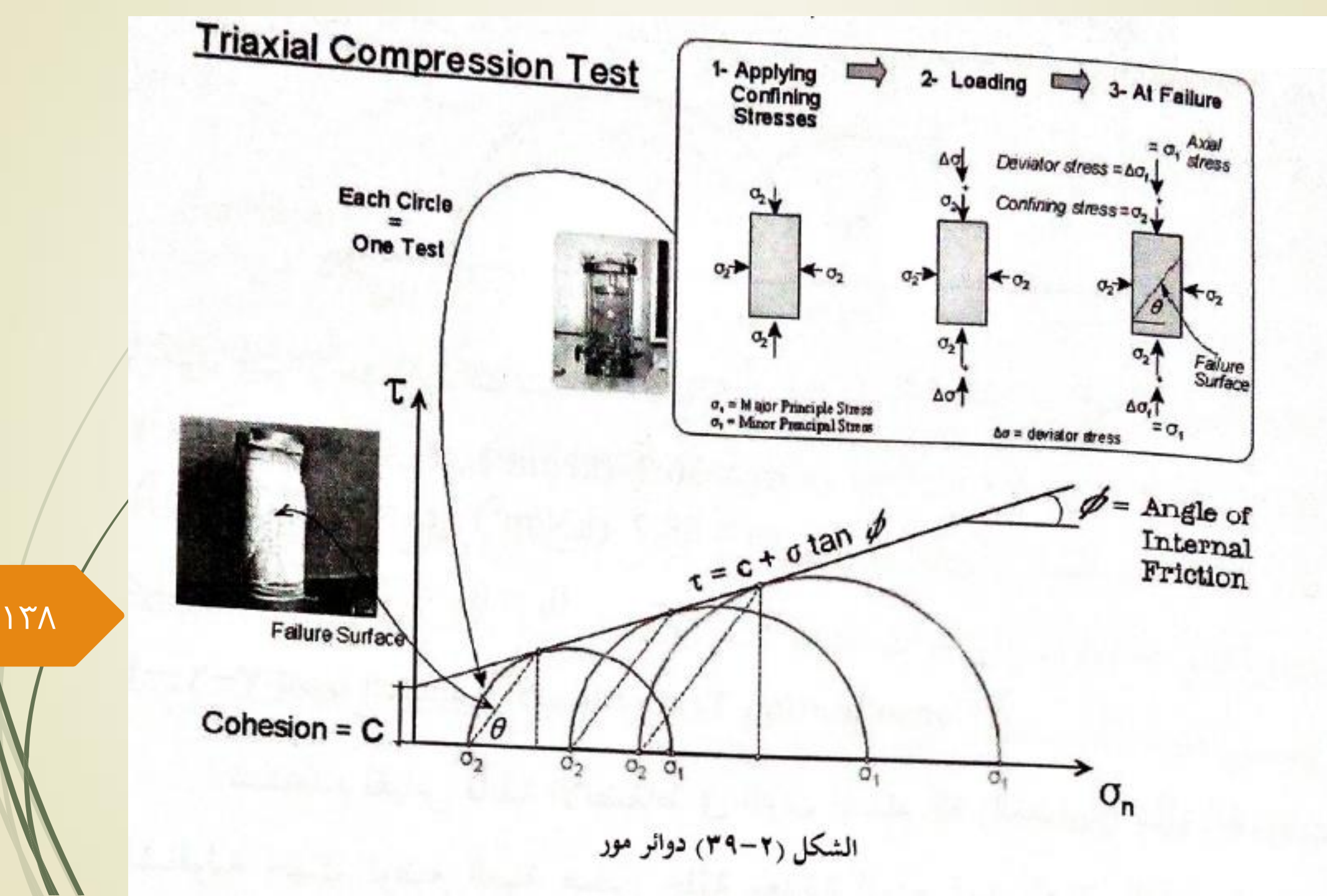
$$\sigma = \frac{\sigma_1 + \sigma_3}{2} + \frac{\sigma_1 - \sigma_3}{2} \cdot \cos 2\alpha$$

$$\tau = \frac{\sigma_1 - \sigma_3}{2} \cdot \sin 2\alpha$$
(0.-7)

 $0^{\circ} < \alpha < 90^{\circ}$ حيث α زاوية مقطع الانحيار في العينة وتتراوح بين $\alpha < 90^{\circ}$

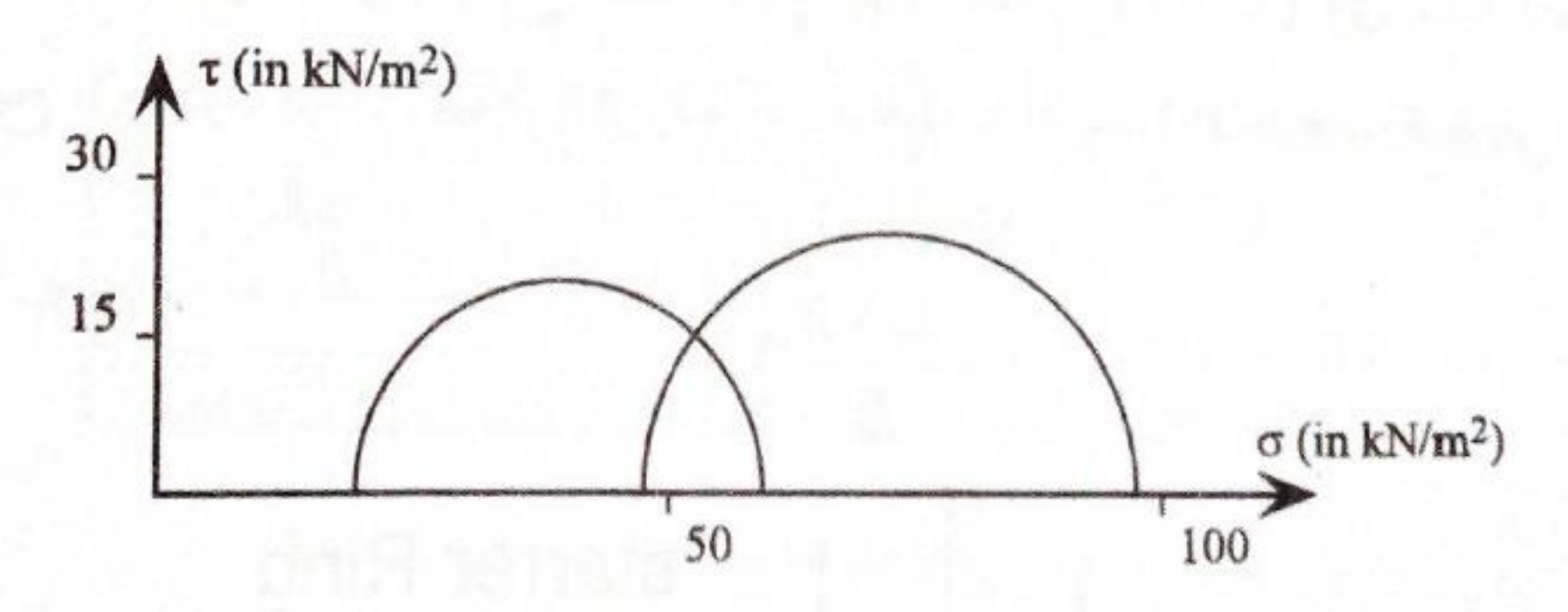
يتم في التحربة تثبيت قيمة الإجهاد الجانبي σ_3 و زيادة في قيمة σ_1 حتى لحظة الانحبار $\theta=\alpha$ عندها يمكن تمثيل دائرة مور للإجهادات بين قيم σ و σ ويتم تحديد زاوية الانحبار وتكتب العلاقة بين الإجهادات الناظمية و المماسية كما في الشكل (σ_1):

$$\tau = c + \sigma \cdot \tan \varphi$$



مسألة (٢-٩):

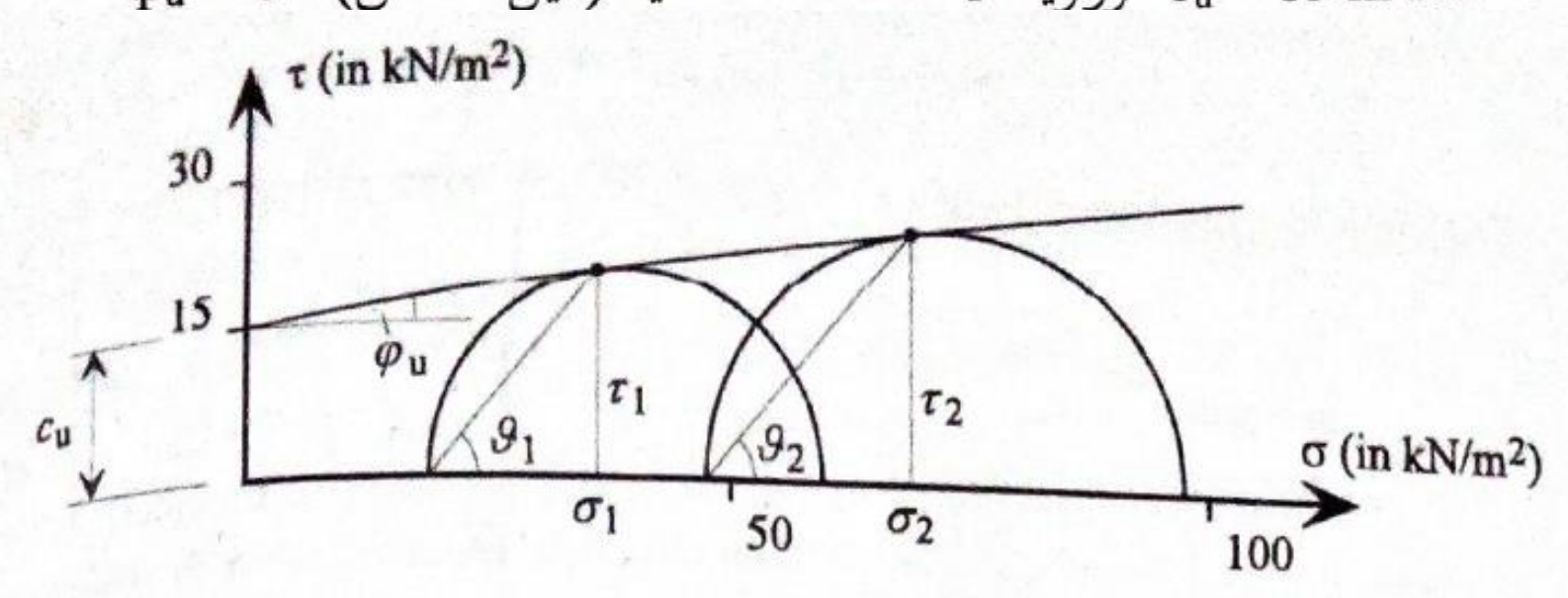
تم إجراء تجربتي ضغط ثلاثي المحاور على عينة غضارية متماسكة ومشبعة جزئياً بطريقة (UU Test) وتمثل دوائر مور في الشكل التالي نتائج التجربتين.



المطلوب حساب القيم التالية:

 $c_u \, (kN/m^2)$, $\varphi_u{}^{\circ}$, $\sigma \, (kN/m^2)$, $\tau \, (kN/m^2)$, θ

 $\frac{1}{2}$ يتم أولاً رسم المماس المشترك لدائرتي مور فيتقاطع مع محور إجهاد القص فتكون $\Phi_u \approx 8^\circ$ (ميل المماس) $c_u \approx 15 \ kN/m^2$ قيمة التماسك $c_u \approx 15 \ kN/m^2$



وتكون قيم الإجهادات الناظمية والقصية كما يلي:

 $\sigma_1 \approx 36.3 \ (kN/m^2)$, $\tau_1 \approx 20.1 \ (kN/m^2)$

 $\sigma_2\approx 68.7~(kN/m^2)$, $\tau_2\approx 24.7~(kN/m^2)$

 $\theta_1 = \theta_2 pprox 50^\circ$ و زاوية الانحيار

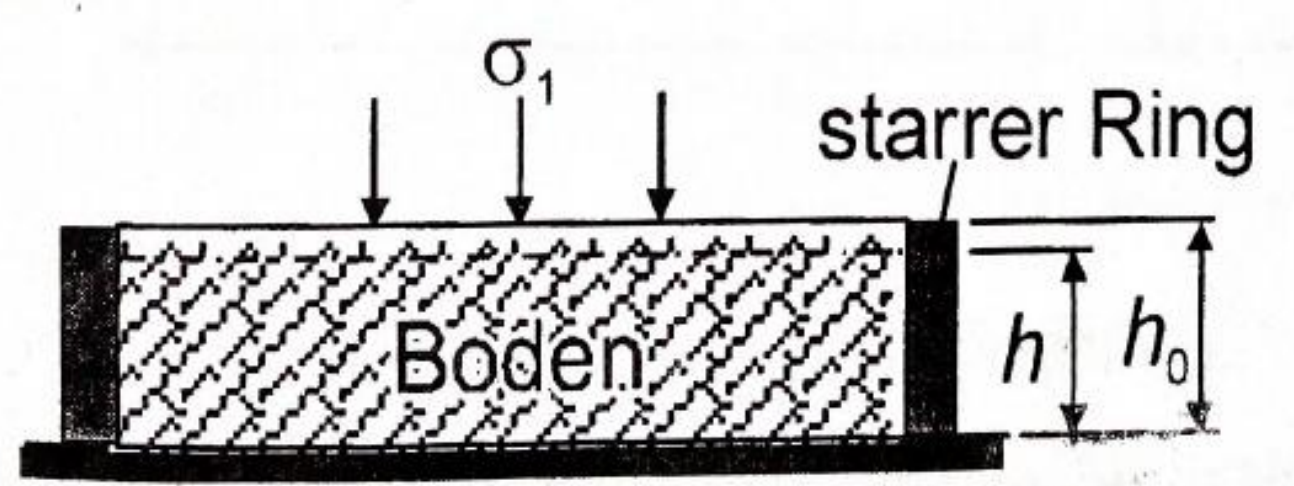
12.

:Consolidation Test (الانضغاط) ہے۔ ۷-۲ تجربة التشدید (الانضغاط)

تستخدم لقياس قابلية الانضغاط في الترب المتماسكة (الغضارية) بتأثير الحمولات الشاقولية حيث توضع العينة ضمن حلقة معدنية لتمنع تمدد العينة بالاتجاه العرضاني بتأثير الحمولات الشاقولية وبالتالي فان الانتقالات الجانبية معدومة حيث يقاس فقط الانتقال الشاقولي.

$$\Delta h = h_0 - h$$

$$\varepsilon = \frac{h_0 - h}{h_0} \cdot 100$$
(°Y-Y)



الشكل (٢-٠٤) العينة في حلقة التشديد

نتيجة لتطبيق الحمولات على العينة الترابية فات حبات التربة فيها يعاد ترتيبها على حساب نسبة الفراغات وبذلك ينتقل الماء من المسامات المائية إلى خارج العينة بالاتجاهين العلوي والسفلي عبر الأقراص المسامية التي تحصر العينة من الأعلى والأسفل

في الترب غير المتماسكة ونتيجة للنفوذية العالية فيها فان الماء يخرج بسهولة من العينة مع بداية تطبيق الحمولات الشاقولية، في حين أنه في الترب المتماسكة ذات النفوذية الضعيفة فان ماء المسام يخرج ببطء من العينة وبالتالي فان الضغط المطبق على العينة في البداية هو ذاته ضغط ماء المسام (kN/m²) يبدأ مع الزمن بالتناقص حتى تنعدم قيمته عندها تنتقل كامل الحمولات إلى حبات التربة، تدعى هذه العملية بالتشديد Consolidation وتسمى التربة بأنها مشددة حين تطبق كامل الحمولات على حبات التربة الصلبة ولم يعد هناك أي قيمة لضغط ماء المسام.

:Proctor Test تجربة بروكتور ۸-۲-

يعتمد على هذه التحربة في تحديد درجة الرص لطبقة ترابية وهي تحربة ميكانيكية يتم من خلالها دراسة العلاقة بين نسبة الفراغات ووزن واحدة الحجم الجافة γ_d بدلالة محتوى الرطوبة w . سميت بتجربة بروكتور نسبة للعالم Proctor مبتكر هذه التجربة عام 1933 ويمكن التمييز بين نوعين من هذه التجارب، تجربة بروكتور النظامية (طاقة الرص تبلغ 0.6 MNm/m³ وتجربة بروكتور المعدلة (طاقة الرص تبلغ 2.7 MNm/m³ بحرى التجربة على ترب متماسكة وغير متماسكة بعد تحفيفها بالفرن.



يبين الشكل (٢-٤٦) قالب بروكتور والذي يتألف من قالب ارتفاعه h1 وقطره h_2 تعلوه حلقة بنفس القطر وإلى جانبه مطرقة بروكتور قطرها d_2 وارتفاع سقوطها d_1 ويمكن أن تكون المطرقة يدوية أو آلية كما في الشكل، يتم وضع العينة بنسبة رطوبة معينة في القالب وترص بواسطة المطرقة على طبقات وفي نهاية التجربة يتم حساب وزن واحدة الحجم وتكرر التجربة عدة مرات (خمس مرات) بتغيير نسب الرطوبة ويتم حساب وزن واحدة الحجم الجاف بدلالة نسبة الرطوبة ووزن واحدة الحجم وفق العلاقة:

$$\gamma_d = \frac{\gamma}{1 + \frac{w}{100}} \qquad kg/cm^3 \tag{00-7}$$

بتمثیل العلاقة بین قیم الکثافة الجافة المحسوبة من کل تجربة مع نسبة الرطوبة لکل منها یتم الحصول علی القیمة العظمی للکثافة الجافة $\gamma_{\rm d}$ max و محتوی الرطوبة المثالی $\gamma_{\rm d}$ و محتوی الرطوبة $\gamma_{\rm d}$ من نسبة وزن واحدة الحجم الحقلیة الجافة إلی وزن واحدة الحجم الحقلیة الجاف الأعظمی فی تجربة بروکتور أي:

 $D_{pr} = \frac{\gamma_d}{} \%$

يبين الجدول (١١-٢) قيم Yd max و Wopt لأنواع من الترب بدلالة عامل الانتظام U يبين الجدول (١١-٢) قيم Yd max و Wopt لأنواع من الترب الجدول (١١-٢) قيم Yd max و Wopt لأنواع من الترب

| Wopt | $\gamma_{\rm d max} (t/m^2)$ | نوع التربة |
|------|------------------------------|---------------|
| 0.07 | 2.12 | رمل وحصى U=35 |
| 0.10 | 1.98 | رمل حصوي U=7 |
| 0.13 | 1.87 | رمل U=5 |
| 0.14 | 1.70 | رمل ناعم U=2 |
| 0.16 | 1.79 | سيلت رملي |
| 0.17 | 1.75 | غضار رملي |
| 0.22 | 1.62 | غضار سيلتي |
| 0.30 | 1.44 | غضار لدن |

مسألة (٢-٢):

تم إجراء تجربة بروكتور على عينة سيلتية رملية فكانت النتائج كما في الجدول التالي:

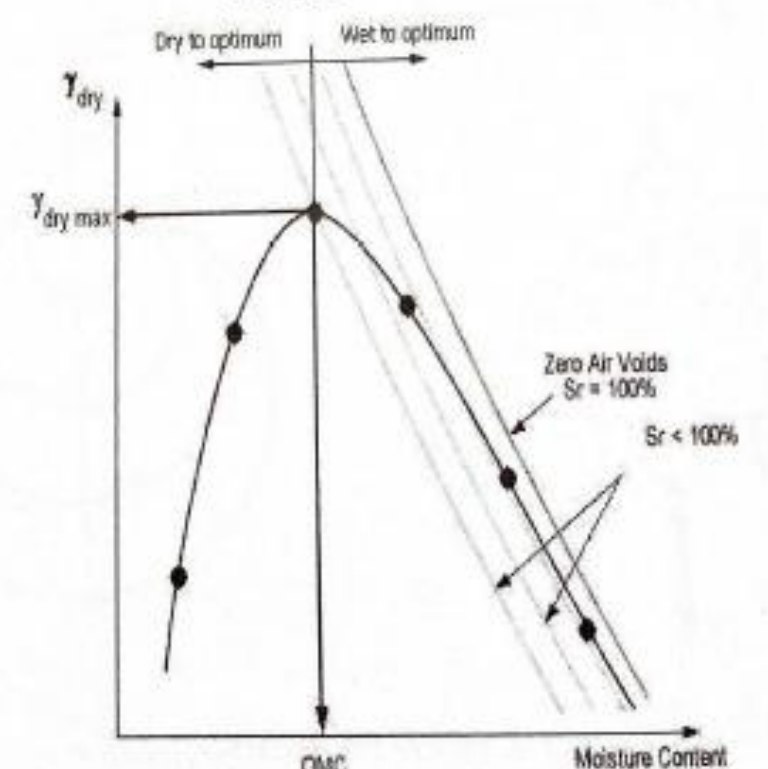
| 5 | 4 | 3 | 2 | 1 | رقم التجربة |
|-------|-------|-------|-------|-------|---|
| 18.9 | 16.7 | 15.2 | 14.0 | 11.5 | نسبة الرطوبة ا ق% w |
| 1.773 | 1.855 | 1.861 | 1.842 | 1.817 | γ_d وزن واحدة الحجم الجاف g/cm^3 |

المطلوب تمثيل العلاقة بين قيم γ_d و γ_d وحساب γ_d وحساب γ_d العلاقة من نفس التربة تم رصها فكانت قيمة وزن واحدة الحجم الحقلية الجافة فيها γ_d 1.826 g/cm³

لحل:

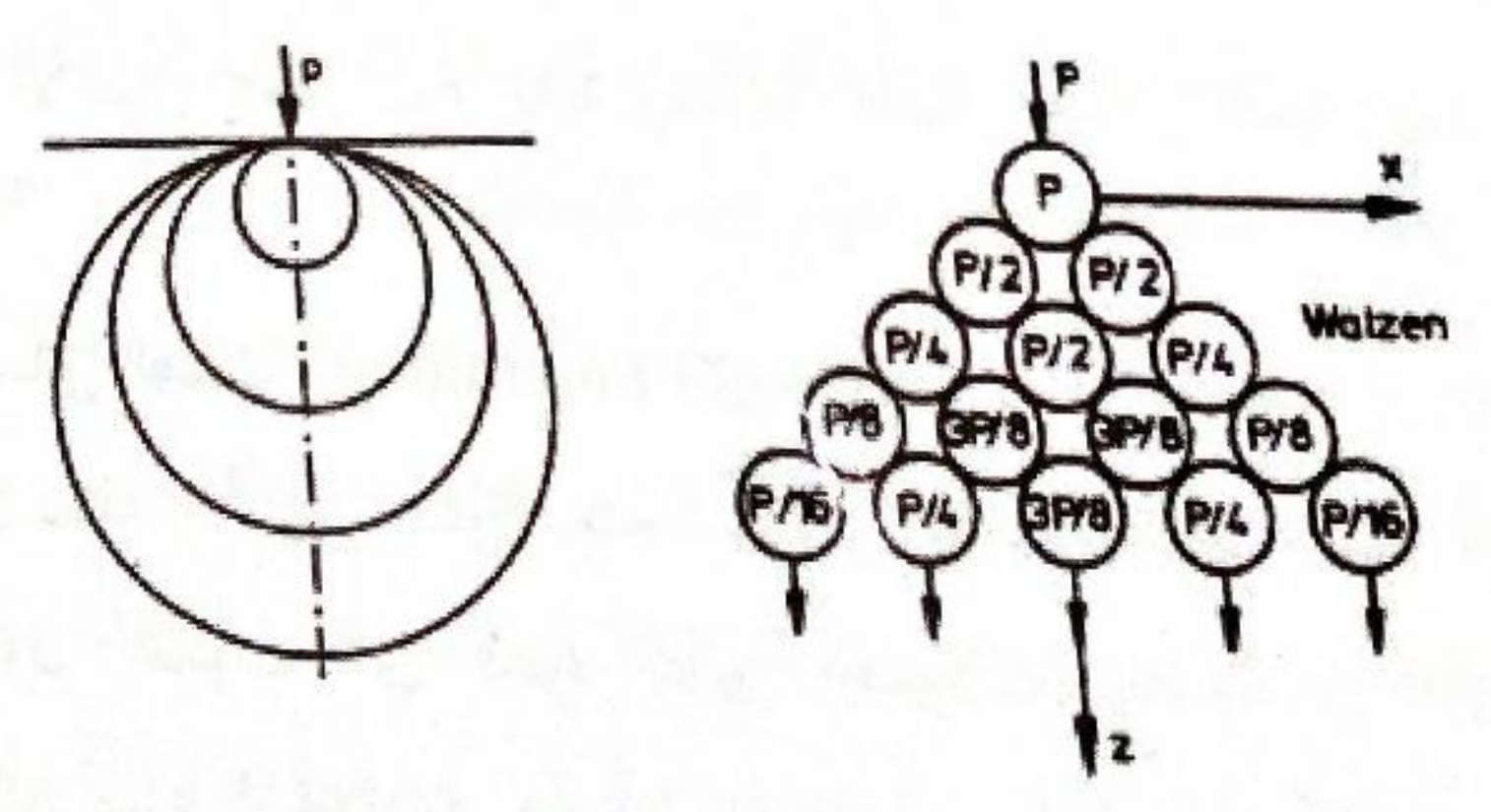
بتمثيل العلاقة بين قيم وزن واحدة الحجم الجاف و نسبة الرطوبة كما في الشكل يمكن تحديد قيمة وزن واحدة الحجم الجاف الأعظمي $\gamma_{d\,max} = 1.863 \; g/cm^3$ و المحتوى المثالي للرطوبة $\gamma_{d\,max} = 1.863 \; g/cm^3$ وبحساب درجة الرص في الطبقة السيلتية الرملية يتبين أنحا تساوي:

$$D_{pr} = \frac{\gamma_d}{\gamma_{d \max}} = \frac{1.826}{1.863} = 98\%$$





الإجهادات والانفعالات في التربة



الشكل (١-٣) توزع الإجهادات وفق Boussinesq

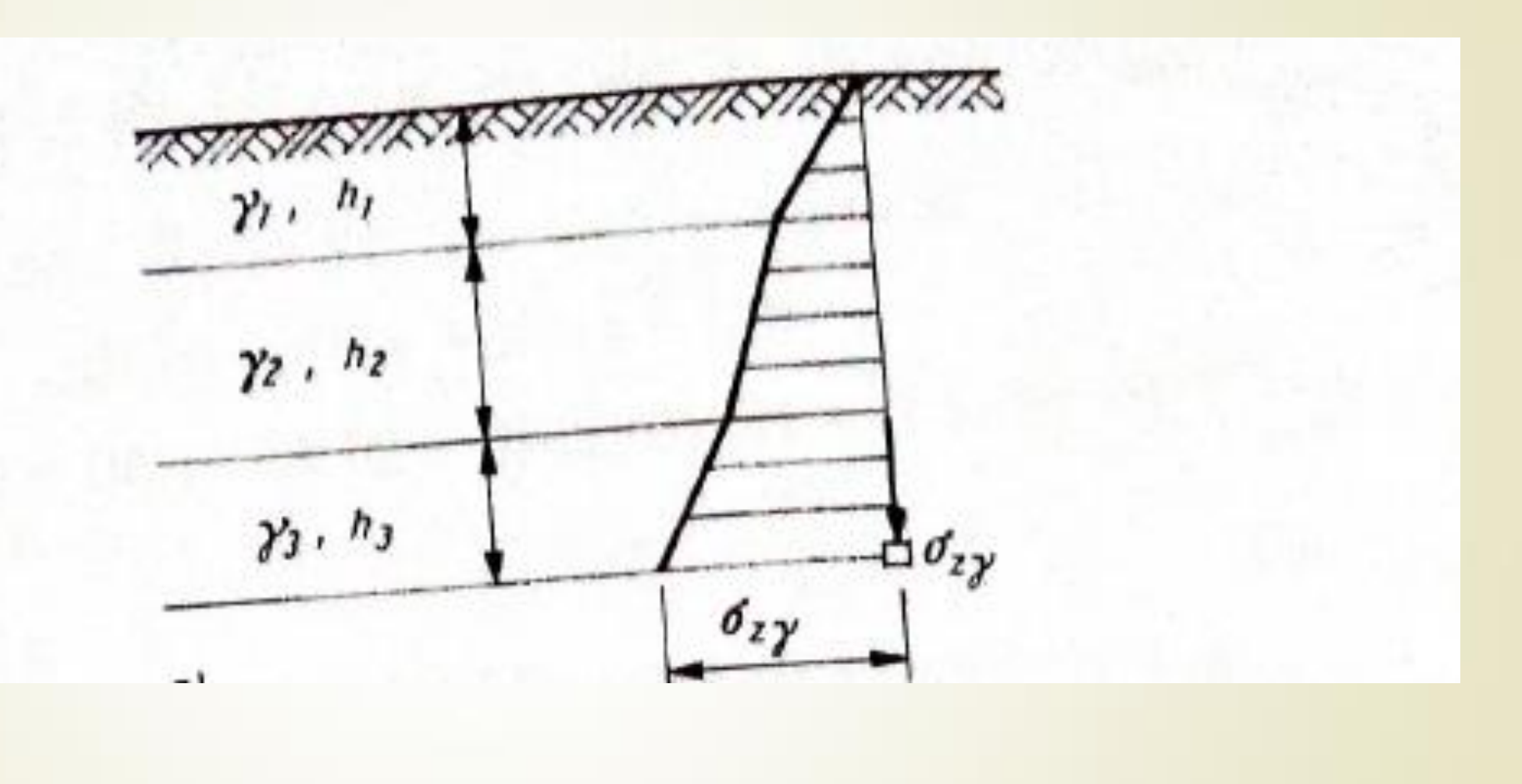
٣-٣ حساب الإجهادات:

٣-٣-١ حساب الإجهادات الناجمة عن الوزن الذاتي للتربة:

قبل أن تطبق أية حمولة على سطح التربة فانه عند نقطة ما من وسط التربة بعمق محدد يمكن حساب قيمة الإجهاد الشاقولي σ_{zy} بتأثير الوزن الذاتي للتربة وفق العلاقة:

$$\sigma_{zy} = \sum_{1}^{n} \gamma_{n} \cdot h_{n} \tag{Y-Y}$$

و يمكن تطبيق هذه العلاقة في حالة تطبقات ترابية



γ' عندما تكون الطبقة الترابية مغمورة بالماء فان وزن واحدة الحجم المغمور $\gamma'=\gamma_{\rm sat}-\gamma_{\rm w}$ (17-۲) عطى كما في العلاقة (17-۲) $\gamma_{\rm sat}=\gamma_{\rm sat}$

يدعى ضغط الماء في التربة بالضغط المسامي ويرمز له بالرمز U ويكون

U=γw*Z أي جداء كثافة الماء بالارتفاع.

وتكون الإجهادات الفعالة تساوي الْإجهاد الكلي مطروحاً منه ضغط الماء المسامي.

 $=\sigma$ -U σ

حيث الإجهاد الكلي هو جداء الكثافة الرطبة بالارتفاع. وتكون الإجهادات الفعالة جداء الكثافة المغمورة بالارتفاع.

−صعود الماء بالخاصة الشعرية:

يحدث صعود للمياه الجوفية من خلال الأنابيب الشعرية المتكونة باتصال فراغات التربة.

ويتعلق ارتفاع الصعود بنعومة حبات التربة.

تعريف البساط المائي:

المستوي المائي الذي يكون عنده الضغط مساوياً للضغط الجوي وعند هذا السطح يكون ضغط الماء المسامي معدوماً.

المعادلة العامّة لبوسينسك للانتقال الشّاقوليّ تحت تأثير حمولة دائريّة موزّعة بانتظام من الشّكل:

$$w = \frac{(1+v)qa}{E} \left\{ \frac{a}{(a^2+z^2)^{0.5}} + \frac{1-2v}{a} \left[(a^2+z^2)^{0.5} - z \right] \right\}$$
(8-10)

حيث:

 $\Delta = \omega$: الانتقال الشّاقوليّ.

E: معامل مرونة الطّابق التّرابيّ.

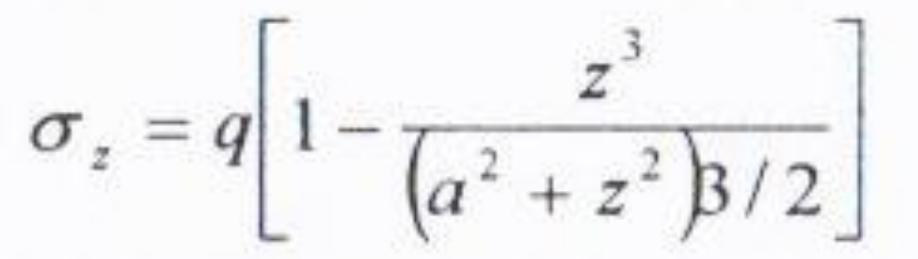
U: معامل بو اسون.

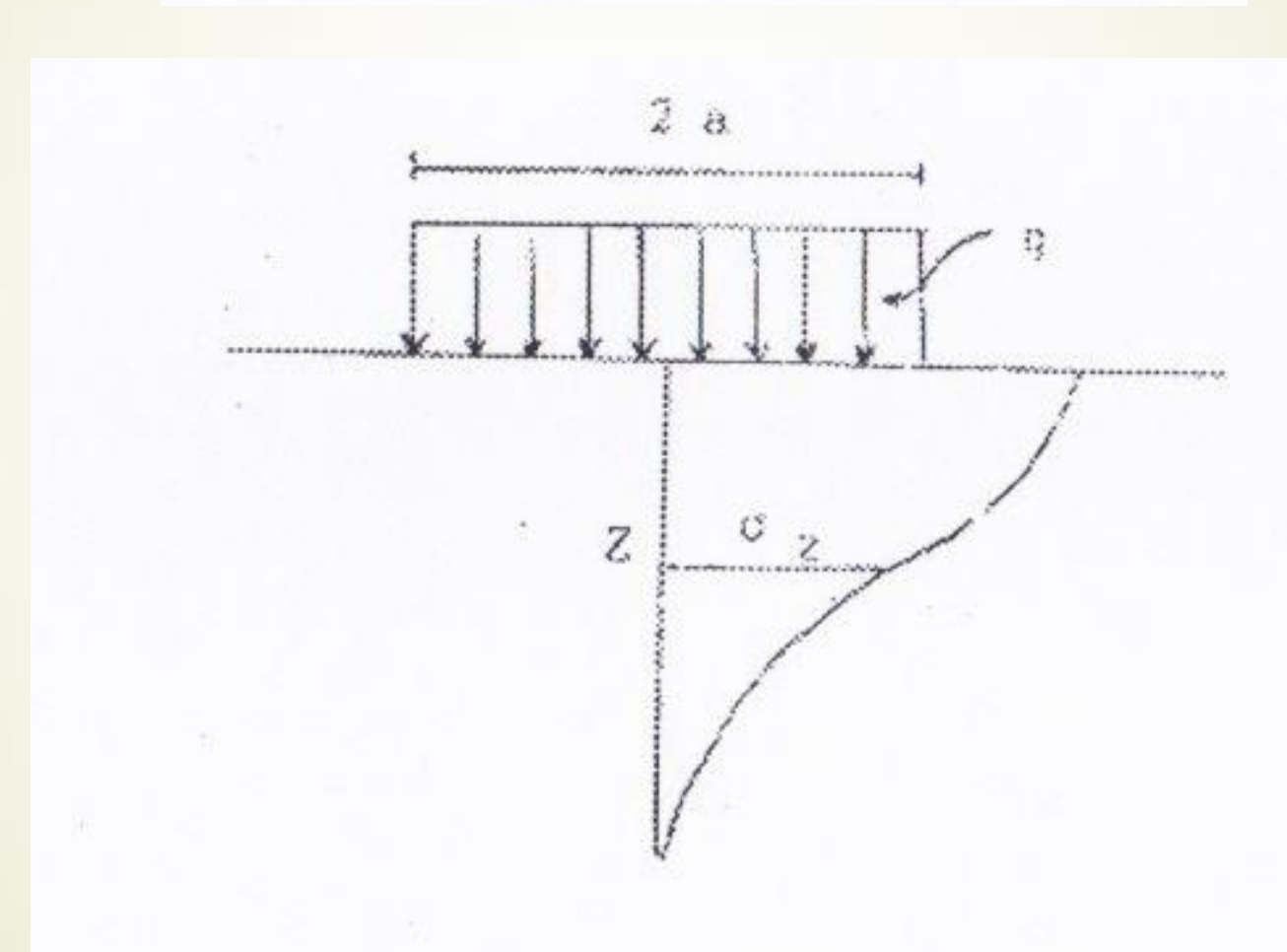
q=p: الإجهاد المطبق.

a: نصف قطر سطح التّحميل.

z: عمق النَّقطة المدروسة.

10/



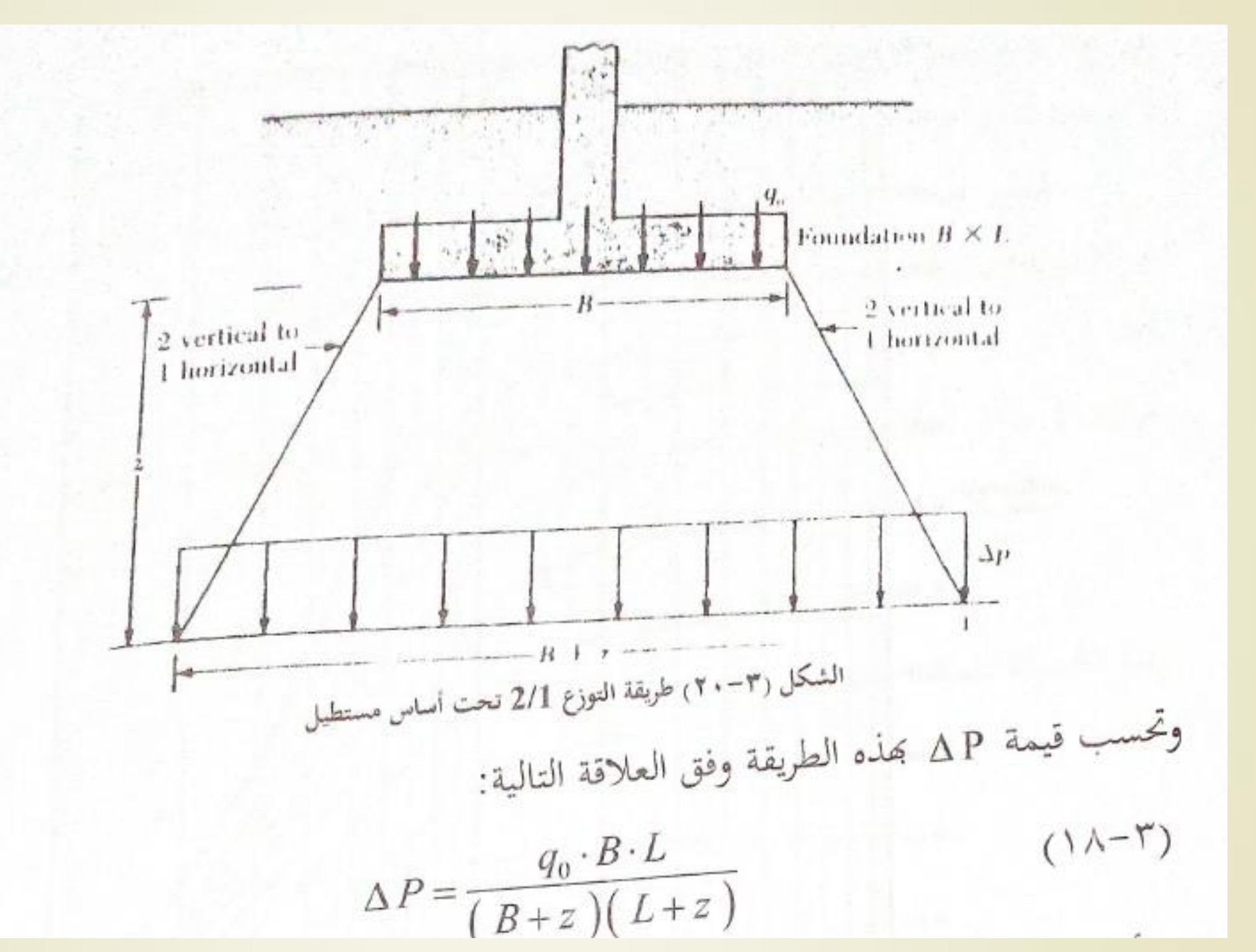


109

الشكل ١ - ١٩ - توزع الاجهادات وفق بوسينسك

٣-٣- ٧ حساب الإجهاد الشاقولي تحت حمولة موزعة بانتظام بشكل مستطيل:

ب - حالة الأساس الصلب:



مسالة (٣-٢):

أساس أبعاده $q_0=125~{\rm kN/m^2}$ منتظمة $q_0=125~{\rm kN/m^2}$ المطلوب إيجاد الزيادة في الإجهاد الشاقولي ΔP بتأثير هذه الحمولة على عمق z=5m ولنقطة تقع تحت محور القاعدة، اعتبر حالة الأساس الصلب

الحل:

حالة للأساس الصلب:

تعطى الزيادة في الإجهاد حسب العلاقة (١٨-٣)

$$\Delta P = \frac{q_0 \cdot B \cdot L}{(B+z)(L+z)}$$

$$\Delta P = \frac{(B+z)(L+z)}{(2+5)(4+5)} = 15.87 \text{ kN/m}^2$$
 بالتعویض $\Delta P = \frac{125 \times 2 \times 4}{(2+5)(4+5)} = 15.87 \text{ kN/m}^2$ وهي قدمة الاحداد

وهي قيمة الإجهاد عند العمق z = 5m (قيمة منتظمة تحت كامل القاعدة)

٣-٤ حساب الهبوطات:

٣-١-١ أشكال الهبوطات:

تتعرض الأساسات إلى حمولات ينتج عنها انتقالات شاقولية باتجاه تطبيق الحمولات وتدعى هذه الانتقالات بالهبوطات، وبشكل عام تقسم الهبوطات إلى نوعين رئيسين:

أ - هبوط أولي (مرن): S_{e} يحدث خلال أو مباشرة بعد تطبيق الحمولات من المنشأة ب - هبوط التشديد: S_{e} يتعلق بالزم ويبدأ عند تطبيق الحمولات ويحدث نتيجة خروج ماء المسام من الفراغات المائية المرجودة في الطبقة الغضارية المشبعة ، ويمكن أحياناً التمييز بين هبوط التشديد الرئيسي S_{e} وهبوط التشديد الثانوي S_{e} حيث تشكل قيمة الهبوط الثانوي S_{e} نسبة ضئيلة من الهبوط الكلى للتشديد لا تزيد عن S_{e} وذلك

حسب اقتراح FLOSS:

$$S_c = S_{c1} + S_{c2} \tag{19-7}$$

 S_{c} ويعرف الهبوط الكلي بأنه مجموع الهبوط المرن S_{e} وهبوط التشديد أي:

$$S = S_e + S_c \tag{(Y.-7)}$$

ويمكن تحديد الأسباب المؤدية لحدوث الهبوطات بالعوامل التالية:

١. تطبيق حمولات ديناميكية أو ستاتيكية كبيرة.

٢. حدوث تغير في منسوب البساط المائي مما يؤثر على قيم إجهادات التربة.

٣. وجود طبقات ضعيفة تشكل فواصل وأحياناً فراغات نتيجة لانضغاطها بتأثير الحمولات.

٤. حدوث جريان للمياه الجوفية ضمن الطبقات القابلة للانحلال بالماء مما يؤدي لتشكل فراغات أسفل طبقات التأسيس وهذا يؤدي في النهاية إلى هبوطات واضحة وأحياناً إلى أضرار جسيمة.

ه. تخلخل في جسم تربة التأسيس نتيجة لتحرك طبقات التربة بتأثير الحركات التكتونية.
 ٢. الصقيع والذي يعمل على زيادة في حجم الترب عن طريق تجمد الماء في المساحات وزيادة حجم المساحات مما يؤدي إلى تشكل فراغات كبيرة ومناطق ضعف بعد عملية ذوبان الصقيع.

٧. انتفاخ التربة الغضارية الشديدة الحساسية للماء.

٣−٤- الهبوط التفاضلي Differential Settlement

عندما تكون الانتقالات الشاقولية (الهبوطات) تحت نقاط المنشأة الواحدة غير متساوية فهي تتعرض لحالة من حالات الهبوط غير المنتظم وهذا ما يدعى بالهبوط التفاضلي حيث يتم قياسه بحساب الفرق بي القيمة الدنيا و العظمى لقيم الهبوط المختلفة لنفس المنشأة وبسبب طبيعة التربة غير المتجانسة وحسب نوعية الأساس (صلب أو مرن) فإن إيجاد قيمة الهبوط التفاضلي يعتمد على طرق تحريبية واقتراحات، منها ما ورد عن Terzaghi و Peck أنه في الترب الرملية تقدر قيمة الهبوط التفاضلي كنسبة من الهبوط الكلي على ألا تزيد عن %75 منها، أما بالنسبة للترب الغضارية فيمكن اعتبار أن الهبوط التفاضلي يصل إلى حدوده العليا عندما تبلغ قيمة الهبوط الكلي.

الجدول (٣-٤) القيم الأعظمية للهبوطات التفاضلية معطاة بـ cm.

| حصيرة | أساس منعزل | نوع التربة |
|-------|------------|------------|
| 10 | 6 | غضارية |
| 6 | 3.8 | رملية |

```
الرمل
```

الهبوط الكلي الأعظمي

£ . mm

للقواعد المنعزلة

1. - 10 mm

لأساسات الحصائر

الهبوط التفاضلي الأعظمي بين الأعمدة ٢٥ mm

الهبوط الكلي الأعظنى

70 mm

للقواعد المذعزلة 10-1: mm لأساسات الحصبائر

الهبوط التفاضلي الأعظمي بين الأعمدة 2. mm

 $\Lambda\Gamma$

الجدول رقم (7-1): أقصى هبوط كلي مسموح به للأساسات السطحية

| أقصى هبوط (مم) | نوع التربة | نوع الأساس |
|----------------|---------------------|---------------|
| 70 | متماسكة (غضارية) | |
| 50 | غیر متماسکة (رملیة) | أساسات منفصلة |
| 150 | متماسكة | |
| 100 | غير متماسكة | حصيرة |

للتقليل من تأثير الهبوطات غير المقبولة على المنشآت يتم اللجوء إلى طرق تساعد في تخفيض قيم الهبوط أو حتى تسريع الهبوط منها:

١- إزالة الترب القابلة للانضغاط واستبدالها بردميات جيدة المواصفات: وتتم الإزالة عن طريق حفريات حيث تستبعد التوضعات العضوية ذات المقاومة الضعيفة للقص وذات القابلية العالية للانضغاط، كما تستبعد عموماً الطبقة السطحية المعرضة مباشرة للعوامل الجوية.

وإذا كانت الطبقة القابلة للانضغاط مستمرة في العمق، يفضل إزالتها حتى العمق .3.0-4.5m

٧- تسهيل عملية الهبوط بضخ كميات مياه ضمن التربة مما يساعد في زيادة رصها والتقليل من قيمة الهبوط فيما بعد وذلك بالنسبة للأساسات الصغيرة.

٣- اللجوء إلى طرق التفجير والتي تساعد بشكل عام على اكتناز حبات التربة والحصول على درجة عالية من الرص، حيث توضع شحنات محددة بكميات كافية للحصول على درص مطلوب وفعال يصل لأعماق بين (9-6) متر.

٤- تشدید الترب خصوصاً إذا كانت الطبقات القابلة للانضغاط ذات سماكة صغیرة، ويمكن تطبيق الحمولات بحيث تتعرض هذه الطبقات إلى انضغاط يخفض فيما بعد من قيم الهبوط عند إقامة المنشأة، ويمكن تسريع التشدید عن طریق تصریف سریع للمیاه (حفر آبار).

٥- إجراءات وقائية للمنشأة ذاتها حيث يتم وضع فواصل في البناء عند الأجزاء المختلفة الارتفاع أو عند الأجزاء ذات أعماق مختلفة للتأسيس، أو أحياناً بتقوية عناصر المنشأة الحاملة في المناطق المعرضة لقوى شد نتيجة الهبوط.

إن الإجهاد الناجم عن حمولة قدرها Q لأساس عرضه B يؤدي لهبوط مقداره S متناسب مع الإجهاد المطبق، بزيادة الحمولة Q تتغير قيمة الانتقال الشاقولي S. وبدراسة العلاقة بين الهبوط والحمولات والتي تتعلق بأبعاد الأساس ووضعية التربة تحت الأساس وطبيعة الحمولة ذاتها يمكن أن تحدد بشكل مبدئي الحمولة الحدية Qu والتي تستطيع قاعدة الأساس تحملها وتمثل منطقة ذروة منحني العلاقة بين الهبوط والحمولات إن الإجهاد المطبق على القاعدة في هذه الحالة هو qu ويدعى بالإجهاد الحدي ويساوي

$$q_u = \frac{Q_u}{A} \tag{79-7}$$

حيث A مساحة قاعدة الأساس، وبهذا فإن جميع المنشآت يجب أن تنفذ بحيث تحقق عامل الأمان أو أن لا تتجاوز قيمة الإجهاد المسموح والذي يعرّف بالعلاقة:

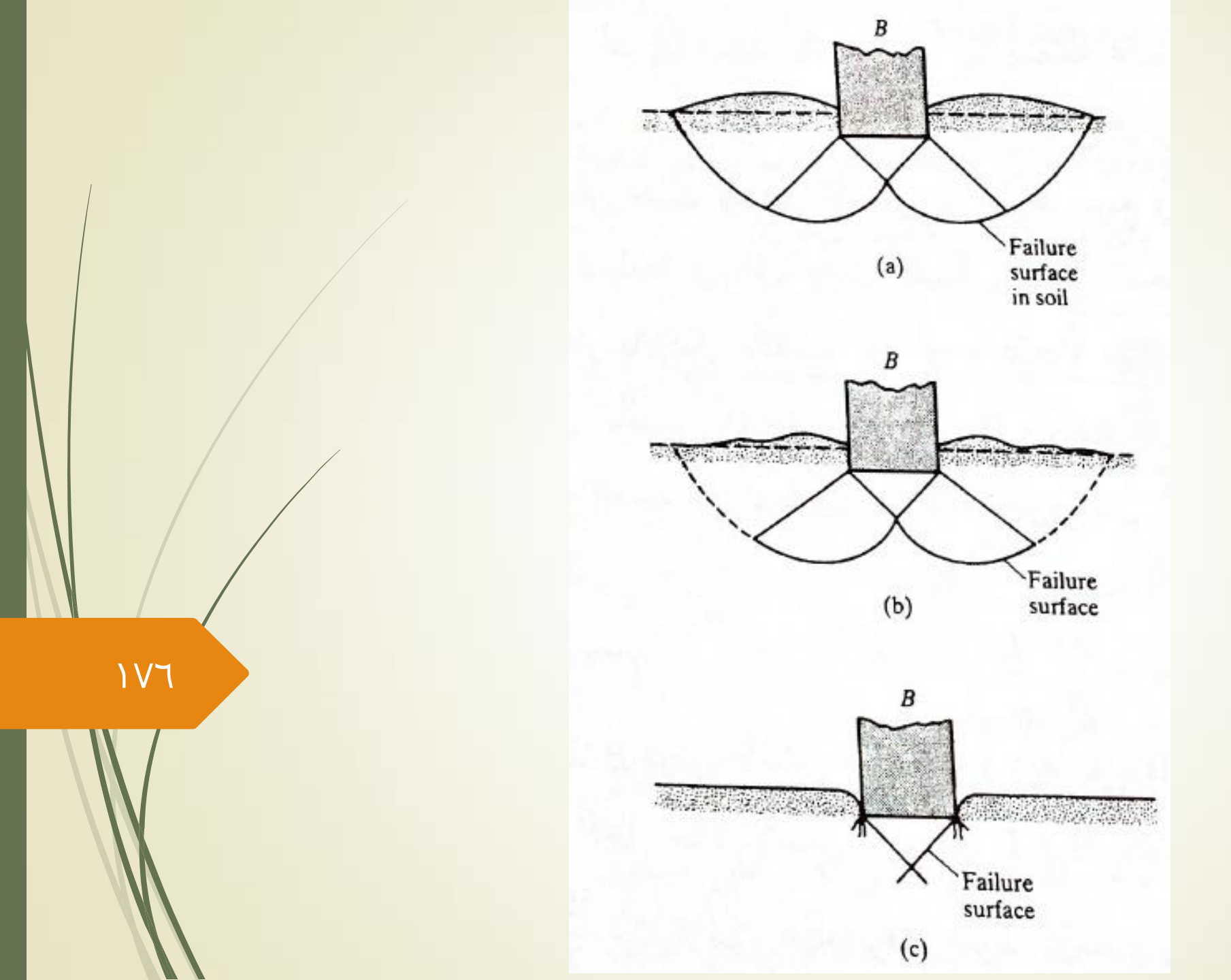
$$q_{all} = \frac{q_u}{F_s} \tag{7.-7}$$

حيث Fs عامل الأمان، وبالتالي فالحمولة المسموحة يمكن إيجادها من الإجهاد المسموح

٣-٥-٢ أشكال الانهيار - مفهوم التحمل الحدي:

تحدث الانهارات نتيجة تجاوز الحمولات الحدية على شكل انهيار قصي تحت قاعدة الأساس وقد أكد ذلك عدة أمثلة من الانهيارات التي حدثت ولوحظ أن منطقة كبيرة تحت الأساس تعرضت إلى قص عام وبالتالي إلى ضعف التربة في منطقة التأثير مما أدى إلى انهيار المنشأة، ويمكن تقسيم أشكال الانهيار إلى ثلاثة أنواع:

- انهيار بالقص العام General shear failure
- انحيار بالقص الموضعي local shear failure
 - انهيار بالثقب Punching shear failure



تحديد عمق التأسيس Df

| دليل الملنونة | المعق الأصغري (m) |
|------------------|-------------------------|
| >40 | 1.û |
| 20-40 | 0.9 |
| 10-20 | 0.75 |
| | اللنونة >40 20-40 |



٣-٥-٣ حساب التحمل الحدي:

بالاعتماد على نظرية ترزاكي Terzaghi والتي تعتمد أساس مستمر ذو قاعدة خشنة (وجود احتكاك بين قاعدة الأساس والتربة)، يتعرض لحمولة شاقولية.

هذا وقد أعطى ترزاكي العلاقة الأساسية لحساب التحمل الحدي q_u لأساس مستمر من الشكل:

$$q_u = \frac{1}{2} \gamma B N_{\gamma} + q N_q + c N_c \qquad (\Upsilon \Upsilon - \Upsilon)$$

حيث: c: تماسك التربة.

γ: وزن واحدة الحجم للتربة.

. والإجهاد المطبق من الحمولات الجانبية $q = \gamma \cdot D_f$

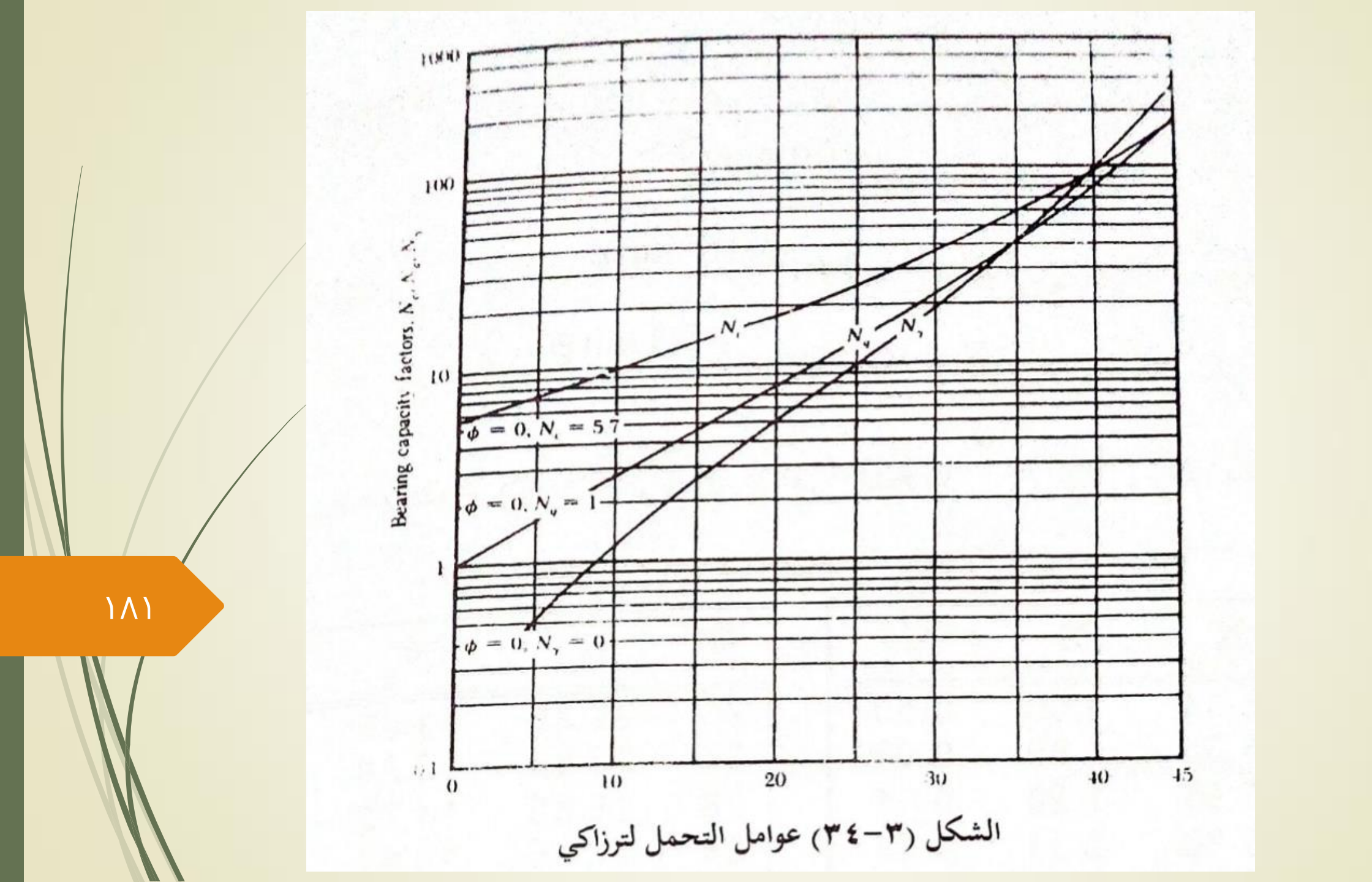
و عوامل التحمل والتي تتعلق بشكل مباشر بزاوية الاحتكاك الداخلية ϕ الداخلية و الداخلية و الداخلية و ويمكن إيجادها بالاعتماد على جداول أو منحنيات خاصة بها.

علاقات Prandtl/Reissner:

. ϕ بدلالة N_{r} , N_{q} , N_{c} الجدول (٣-٣) لإيجاد عوامل التحمل N_{r} , N_{q} , N_{r} بدلالة ϕ . الجدول (٣-٣) عوامل التحمل لا Vesic

| Φ | N _e | N_q | Ny | Ď. |
|----|----------------|-------|------|-------|
| 0 | 5.14 | 1.00 | 0.00 | 2 |
| 1 | 5.38 | 1.09 | 0.07 | 2 |
| 2 | 5.63 | 1.20 | 0.15 | 2 |
| 3 | 5.90 | 1.31 | 0.24 | |
| 4 | 6.19 | 1.43 | 0.34 | 1 3 |
| 5 | 6.49 | 1.57 | 0.45 | 23 |
| 6 | 6.81 | 1.72 | 0.57 | 1 1: |
| 7 | 7.16 | 1.88 | 0.71 | |
| 8 | 7.53 | 2.06 | 0.86 | 1 1 |
| 9 | 7.92 | 2.25 | 1.03 | 11 |
| 10 | 8.35 | 2.47 | 1.22 | 1 1 |
| 11 | 8.80 | 2.71 | 1.44 | 11 |
| 12 | 9.28 | 2.97 | 1.69 | |
| 13 | 9.81 | 3.26 | 1.97 | |
| 14 | 10.37 | 3.59 | 2.29 | |
| 15 | 10.98 | 3.94 | 2.65 | |
| 16 | 11.63 | 4.34 | 3.06 | |
| 17 | 12.34 | 4.77 | 3.53 | 3 |
| 18 | | | 4.0 | |
| 19 | | | 4.6 | |
| 20 | 14.83 | 6.40 | 5.3 | 9 |
| 21 | 15.82 | 7.07 | 6.2 | 0 |
| 22 | | | | 3 |
| 23 | 3 18.05 | 8.66 | 8.2 | 0 |
| 2 | | | | 0.400 |
| 2 | | | | 6263 |

| Φ | Ne | N_q | N _γ |
|-------|--------|---------|----------------|
| 26 | 22.25 | 11.85 | 12.54 |
| 27 | 23.94 | 13.20 | 14.47 |
| 28 | 25.80 | 14.72 | 16.72 |
| 29 | 27.86 | 16.44 | 19.34 |
| 30 | 30.14 | 18.40 | 22.40 |
| 31 | 32.67 | | 25 99 |
| 32 | 35.49 | 0.77 | 30.22 |
| 33 | 38.64 | | 35.10 |
| 34 | 42.16 | | 4106 |
| 35 | | 33.30 | 48.03 |
| 36 | | | 56.31 |
| 37 | | | 66 19 |
| 38 | 61.35 | 48.93 | 78.03 |
| 39 | 67.87 | 55.96 | 92.25 |
| 40 | 75.31 | 64.21 | 0 109.41 |
| 41 | 83.86 | 73.9 | 0 130.22 |
| 42 | 93.7 | 1 85.3 | 8 155.55 |
| 43 | 105.1 | 1 99.0 | 2 186.54 |
| 44 | 118.3 | 17 115. | 31 224.64 |
| 45 | | | 88 271.76 |
| 4 | 152. | 10 158 | .51 330.35 |
| 4 | 7 173. | 64 187 | .21 403.67 |
| 10 52 | | | .31 496.01 |
| 1 900 | | | 5.51 613.16 |
| 1000 | | | 9.07 762.89 |
| | | | 8.20 902.70 |



سيألة (1.5×1.5) m مربع (1.5×1.5) m يستند على تربة تماسكها (1.5×1.5) وزاوية السياس مربع (1.5×1.5) ورحة وزن واحدة الحجم (1.8×1.8) المسموح تطبيقها إذا علمت أن عامل الأمان يساوي (1.5×1.5) وأن الانهيار هو من نوع الانهيار بالقص العام.

$$q_u = 0.4 \gamma B N_{\gamma} + q N_q + 1.3 c N_c \tag{(1-7)}$$

$$N_{\gamma} = 5$$
 , $N_{q} = 7.4$, $N_{c} = 17.7$

بالتعويض:

$$q_{u} = (0.4)(17.8)(1.5)(5) + (1 \times 17.8)(7.4) + (1.3)(15.2)(17.7)$$

$$q_u = 53.4 + 131.72 + 349.75 = 534.87 \approx 535 \ kN / m^2$$

ويكون التحمل الكلي المسموح:

$$q_{all} = \frac{q_u}{F_s} = \frac{535}{4} = 133.75 \ kN / m^2$$

وبالتالي فإن الحمولة الكلية المسموح تطبيقها هي:

$$Q_{all} = (133.75)B^2 = 133.75(1.5)^2 = 300.9 \approx 300 \text{ kN}$$

٣-٧ العلاقة العامة للتحمل الحدي:

بعد الأخذ بعين الاعتبار تأثير مجمل العوامل السابقة من شكل الأساس وعمق التأسيس وميل الحمولة وميل أرضية الأساس ووجود أساس على منحدر، يمكن التعبير عن علاقة التحمل العامة والموسعة لأساس مستمر وذلك اعتماداً على ما بدأ به Terzaghi (63)

$$q_{u} = \frac{1}{2} \gamma B N_{\gamma} F_{\gamma s} F_{\gamma i} F_{\gamma \alpha} F_{\gamma d} F_{\gamma a} +$$

$$q N_{q} F_{q s} F_{q i} F_{q \alpha} F_{q d} F_{q a} +$$

$$c N_{c} F_{c s} F_{c i} F_{c \alpha} F_{c d} F_{c a}$$

$$(\circ \cdot - \forall \cdot)$$

حيث: B عرض الأساس وزن واحدة الحجم للتربة وزن واحدة الحجم للتربة وزن الحمولات الجانبية (إجهادات فعالة)

c تماسك التربة

وامل الشكل للأساس $F_{\gamma s}, F_{q s}, F_{c s}$ عوامل الشكل للأساس (عن ناظم الأساس) عوامل ميل الحمولة المطبقه $F_{\gamma i}, F_{q i}, F_{c i}$

(عن الأفق) $F_{\gamma\alpha},F_{q\alpha},F_{c\alpha}$

عوامل عمق التأسيس $F_{\gamma d}, F_{qd}, F_{cd}$

عوامل المنحدر $F_{\gamma a}, F_{qa}, F_{ca}$ عوامل المنحدر ϕ عوامل تحمل التربة بدلالة $N_{\gamma}, N_{\alpha}, N_{\alpha}$

٣-٨ تحديد القيم التقديرية لتحمل تربة الأساسات السطحية المنعزلة:

من أجل عدة أنواع للترب والصخور فقد تمت دراسة العديد من حالات الأساسات المنعزلة وذلك لحساب قيم التحمل المسموحة، ويبين الجدول (٣-١١) القيم

المعتمدة في الأنظمة الأمريكية Naval للتحمل المسموح من أجل الأساسات السطحية والمنعزلة:

جدول (٣-١١) قيم التحمل المسموحة NAVAL - 89

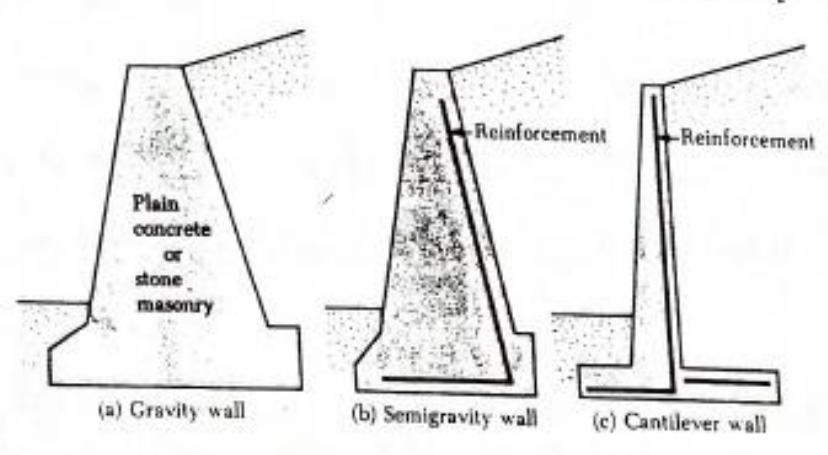
| kN/m^2 التحمل المسموح | نوع التربة أو الصخر |
|-------------------------|---------------------------------------|
| 8600 | صخر قاسي (غرانيت - بازلت) |
| 3765 | صخر متحول (اردواز - شیست) |
| 2150 | صخر رسوبي (حجر رملي - حجر سيلتي) |
| 1070 | صحور ضعيفة (RQD < 25) |
| 750 | حصى، مزيج من الحصى والرمل مرصوص حيداً |
| 535 | متوسط الرص |
| 320 | مخلخل |
| 430 | رمل خشن إلى متوسط مرصوص حيداً |
| 320 | متوسط الرص |
| 160 | مخلخل |

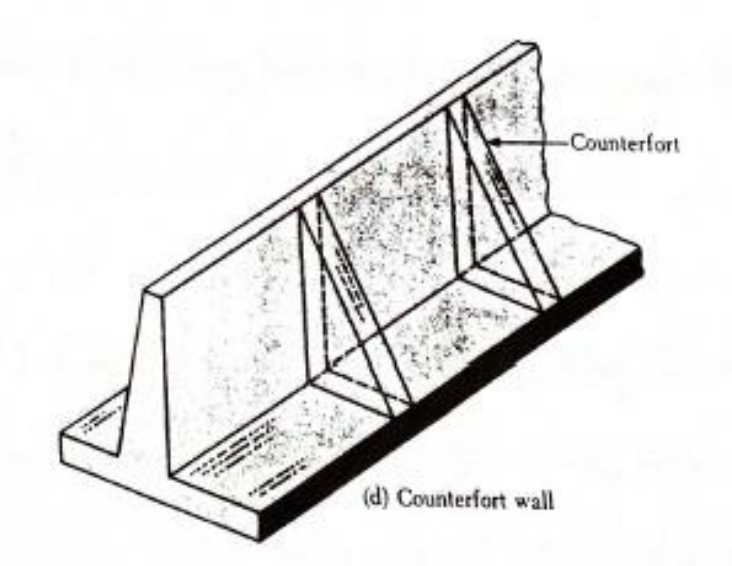
| 160 | | مخلخل |
|-----|---------------|-------------|
| 430 | قاسي | غضار لاعضوي |
| 215 | متوسط القساوة | لمغضار رملي |
| 50 | ضعيف | غضار سيلتي |
| 320 | قاسي | سيلت لاعضوي |
| 160 | متوسط القساوة | سيلت رملي |
| 50 | ضعیف | سيلت غضاري |

1/19

٤-١ مقدمة:

تعتمد بعض المشاريع الهندسية إلى تنفيذ عناصر إنشائية داعمة (حدران) مهمتها هماية المنشأة من الدفع الجانبي الناجم عن التربة المجاورة خصوصاً في الأقبية وفي حالة اختلاف المناسيب بالإضافة إلى بعض مشاريع الطرق ، يبين الشكل (٤-١) حالات مختلفة للجدران الإستنادية:





يتم دراسة الجدران الإستنادية من حيث توازنها واستقرارها حيث يقوم المهندس المصمم بتحديد مقدار الدفع الجانبي على هذه الجدران ليتم تصميمها إنشائيا بما يتناسب مع قوى الدفع الجانبي، حيث أن استقرار الجدار يتعلق مباشرة بنوعية التربة التي تستند إليه وبالتالي إلى خصائص هذه التربة مثل:

وزن واحدة الحجم γ_b ، زاوية الاحتكاك الداخلية للتربة φ ، قيمة تماسك التربة γ_b محتوى الرطوبة w.

عند دراسة الدفع الجانبي على الجدران الإستنادية يتم تحديد محصلة واتجاه القوى ونقطة تطبيقها، ويمكن حسب (رانكين) التمييز بين ثلاثة أنواع من حالات دفع التربة:

Earth press: re at rest الراحة الحربة في وضع الراحة

يتعرض عنصر ترابي على عمق z خلف الجدار لإجهادات شاقولية σ_v وجانبية σ_v وجانبية أن الجدار في هذه الحالة لا يبدي حركة في أي اتجاه وتحسب قيمة الدفع الجانبي σ_v عليه في وضع الراحة كنسبة من الإجهاد الشاقولي كما في العلاقة:

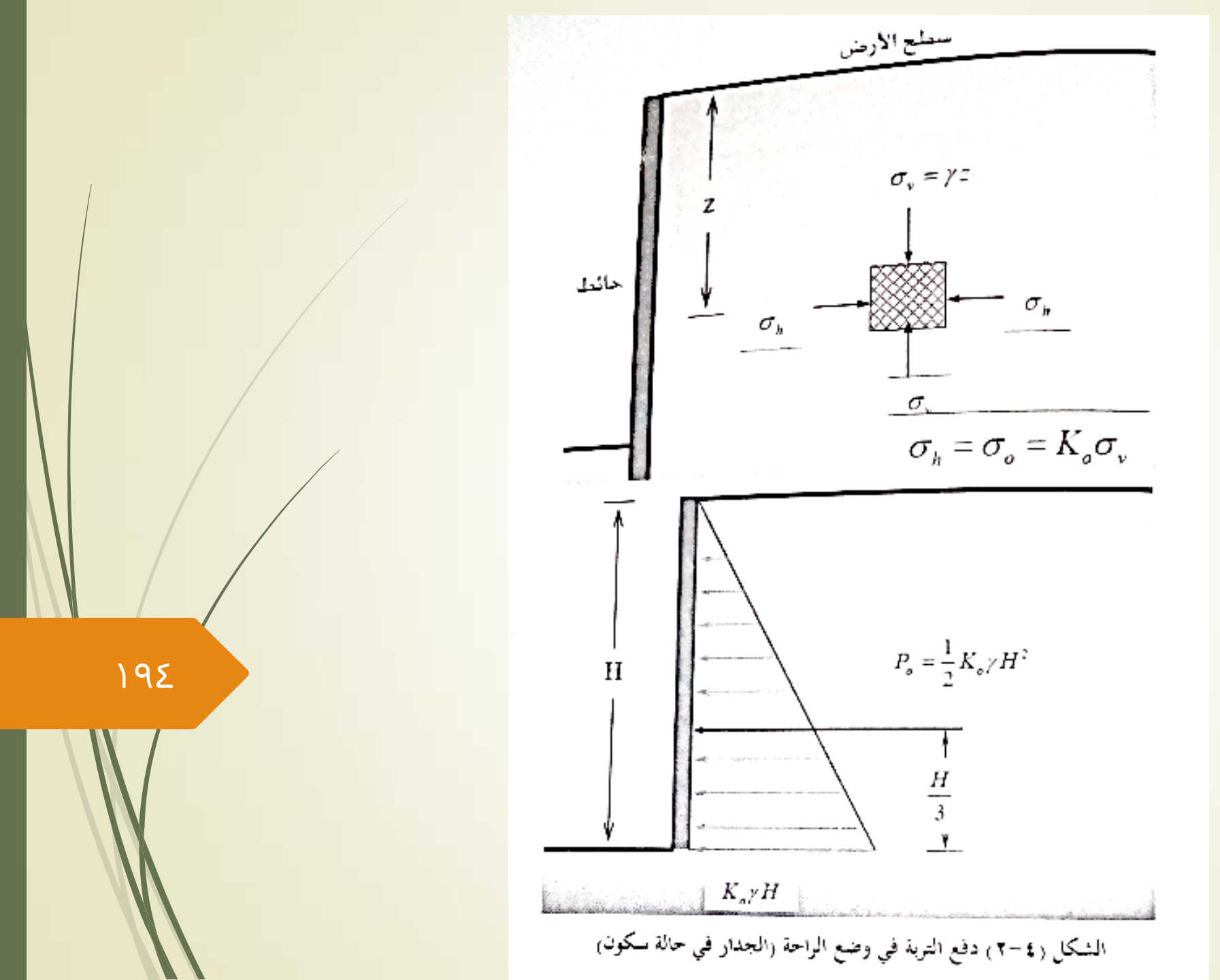
$$\sigma_0 = K_0 \cdot \sigma_v \tag{1-2}$$

حيث: $\sigma_{
m v}=\gamma\cdot z$ هو الإجهاد الشاقولي الناجم عن وزن التربة

معامل الدفع أثناء الراحة تتراوح قيمته من 0.5-0.5 و يعطى بالعلاقة التالية بدلالة زاوية احتكاك التربة ϕ :

$$K_0 = 1 - \sin \varphi \tag{7-\xi}$$

يبين الشكل (٢-٤) طريقة توزع دفع التربة الجانبي في وضع الراحة خلف الجدار ذي الارتفاع H، وكيفية حساب محصلة الدفع التي تؤثر في الثلث السفلي للجدار وفق العلاقة: $P_0 = \frac{1}{2} \cdot K_0 \cdot \gamma \cdot H^2 \qquad \qquad (٣-٤)$



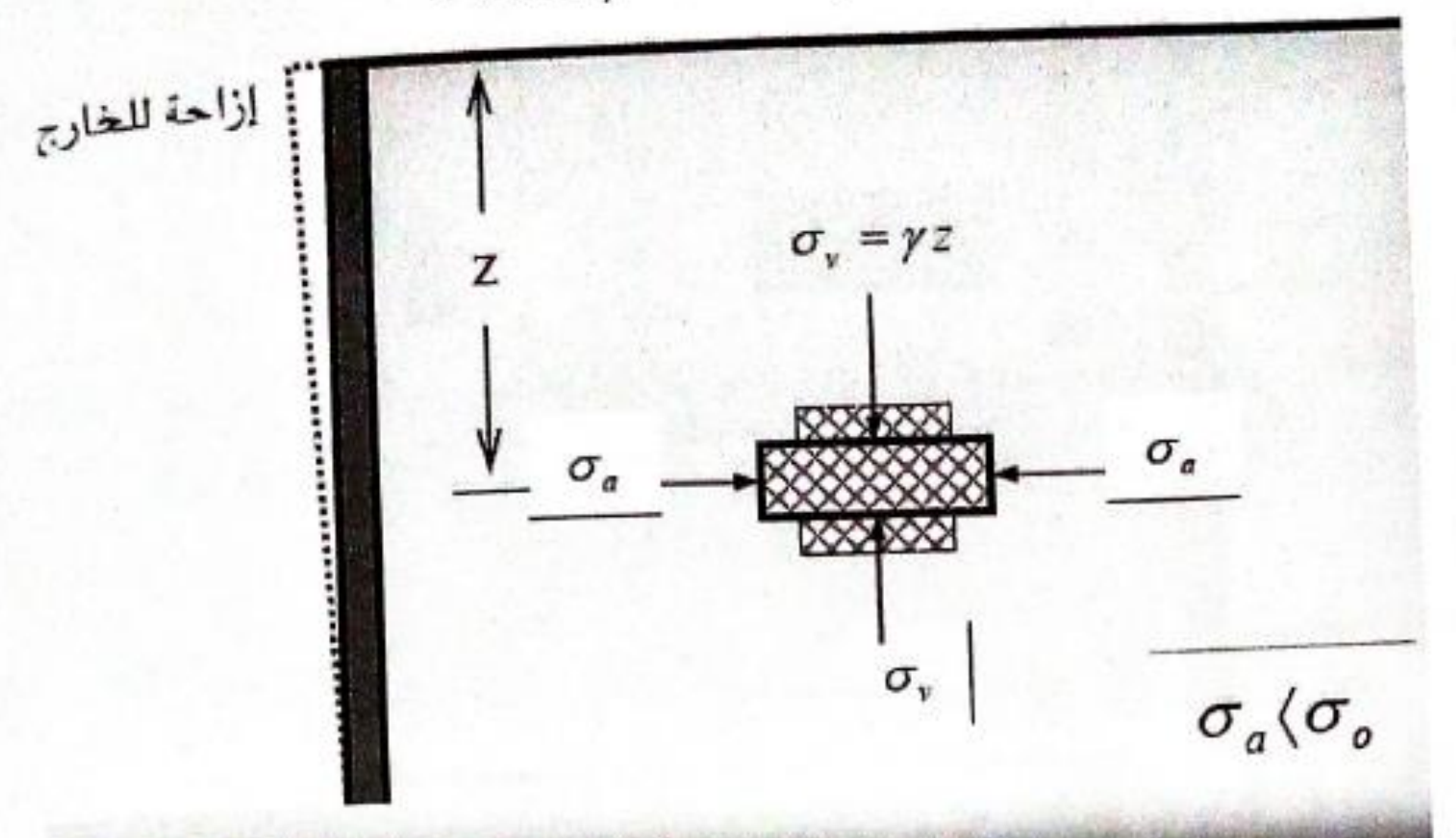
٤-٣ دفع التربة الفعلي Active earth pressure:

عندما يتعرض الجدار الإستنادي إلى إزاحة باتجاه الخارج مبتعداً عن التربة نتيجة لدفع التربة فانه يسمى بالدفع الفعلي σ_a وتكون قيمته أقل من σ_0 ويعطى بالعلاقة التالية:

$$\sigma_a = K_a \cdot \sigma_v - 2c\sqrt{K_a} \tag{1-1}$$

 (kN/m^2) محيث: م تماسك التربة

 Φ معامل الدفع الفعلي والذي يعطى بالعلاقة التالية بدلالة زاوية احتكاك النربة K_a



الشكل (٣-٤) دفع التربة الفعلي ٥a (إزاحة الجدار للخارج)

في الترب المتماسكة تتعرض الطبقة السطحية منها إلى قوى شد نتيجة نقصان في محتوى الرطوبة وينجم عن ذلك تشققات طولانية تمتد من سطح التربة باتجاه العمق يرمز إليها بما يسمى بعمق الشد الأصغري Zo والذي يعطى بالعلاقة التالية:

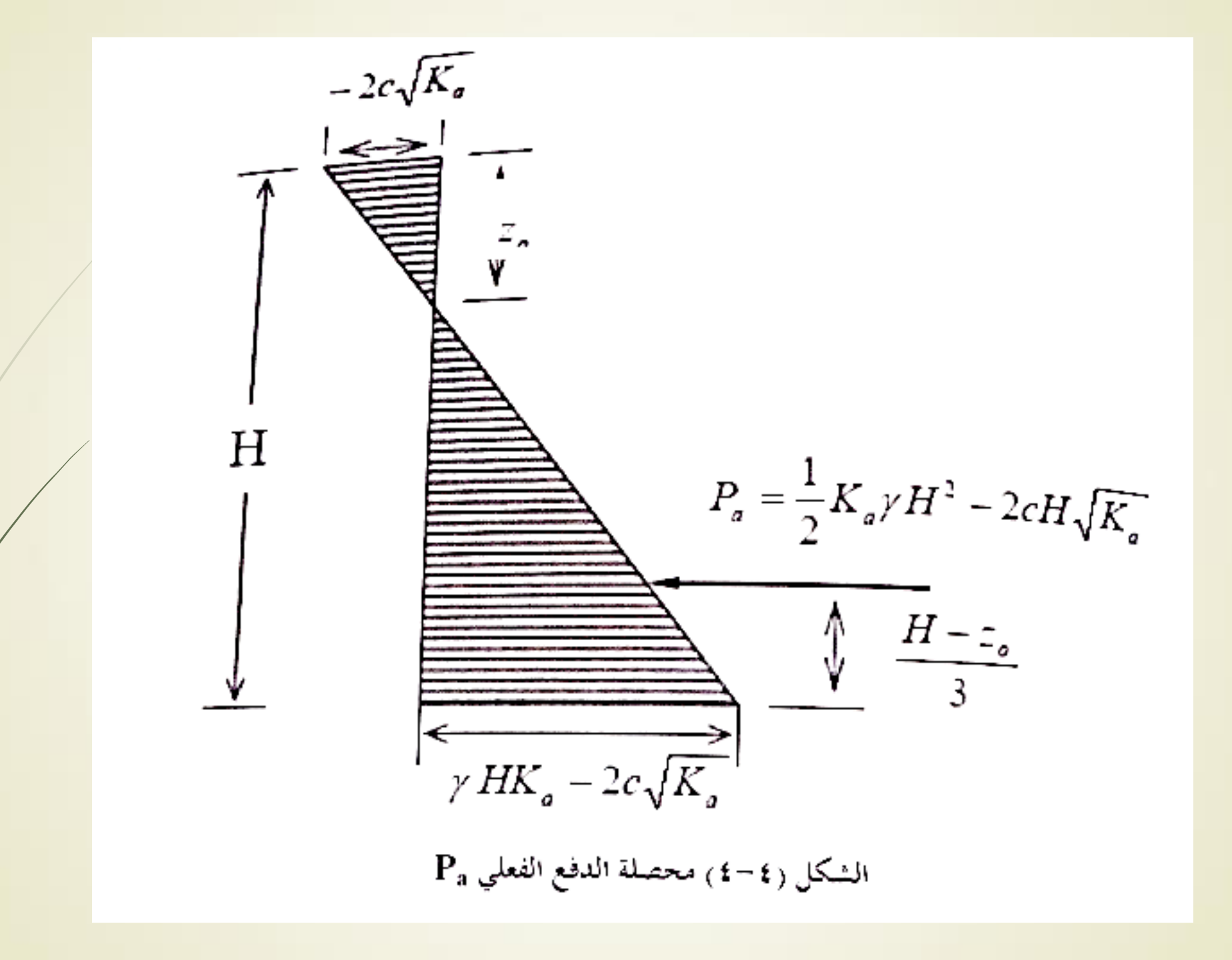
$$Z_0 = \frac{2c}{\gamma \cdot \sqrt{K_a}} \tag{7-2}$$

وفي حالة الترب الغضارية الصرفة حيث $\Phi=0$ فإن عمق الشد الأصغري يصبح:

$$Z_0 = \frac{2c}{\gamma} \tag{V-\xi}$$

وبالتالي فان محصلة الدفع الفعلي Pa تكون:

$$P_a = \frac{1}{2}K_a \cdot \gamma \cdot H^2 - 2cH\sqrt{K_a} \tag{A-1}$$



إ-؛ دفع التربة العكسي Passive earth pressure:

في هذه الحالة يتحرك الجدار باتجاه التربة وبالتالي فانه يؤثر بشكل عكسي وتزيد بذلك الإجهادات فتصبح قوى الدفع العكسي σ_p أكبر من الدفع الجانبي في وضع الراحة σ_0 ويعطى بالعلاقة التالية:

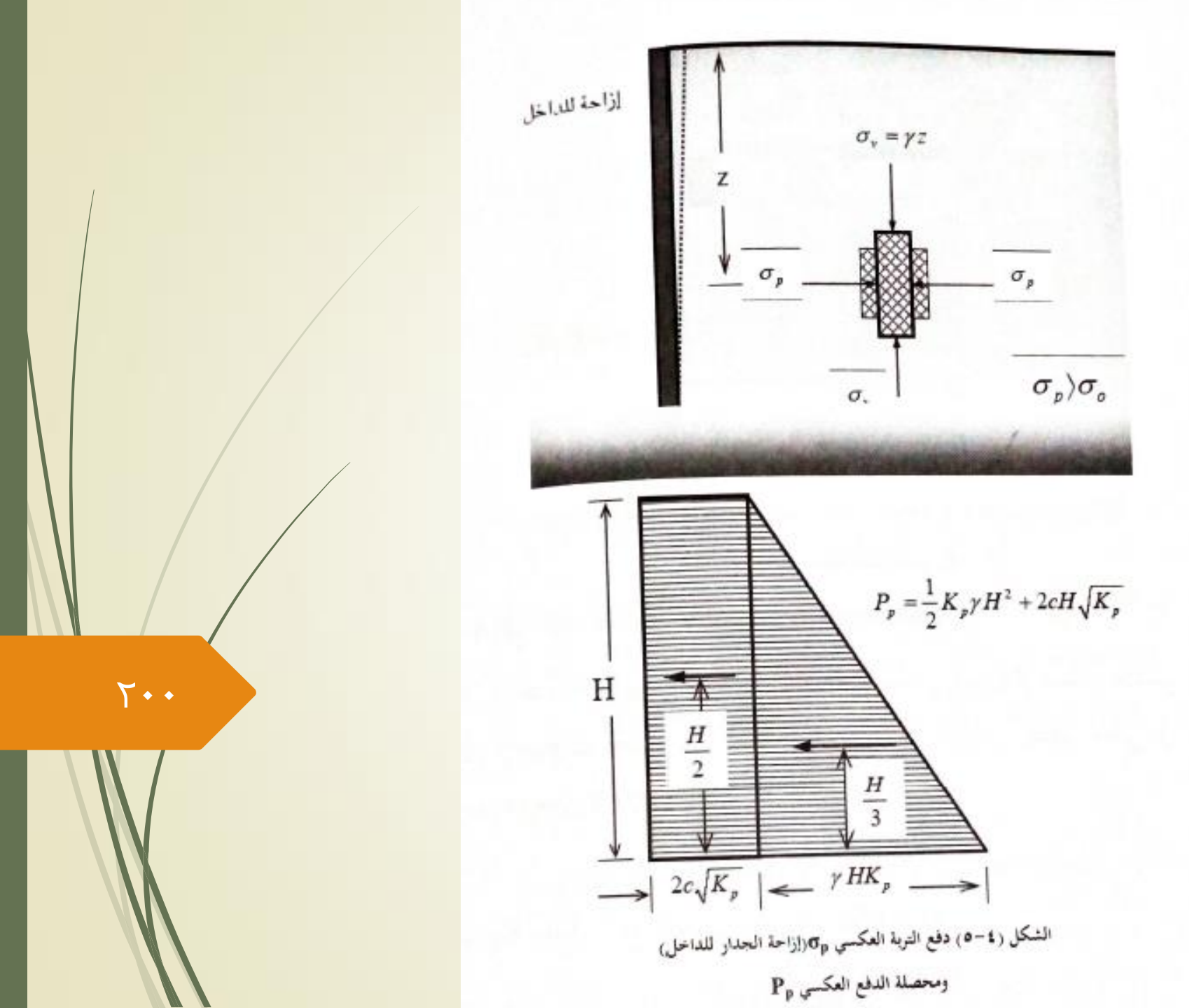
$$\sigma_p = K_p \cdot \sigma_v + 2c\sqrt{K_p} \tag{9-4}$$

حبث Κρ معامل الدفع العكسي ويعطى بالعلاقة التالية:

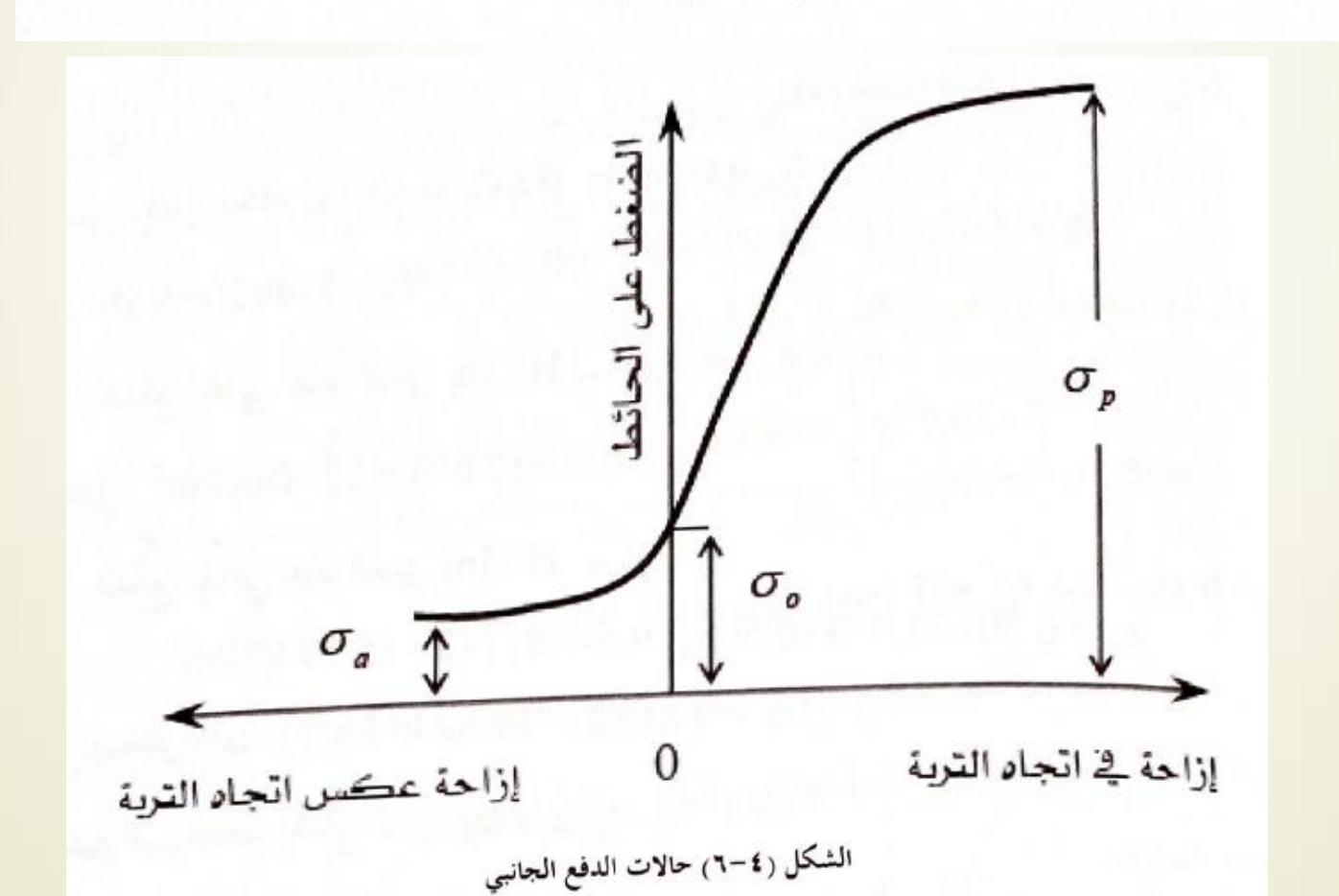
$$K_{p} = \frac{1 + \sin \varphi}{1 - \sin \varphi} = \tan^{2} \left(45 + \frac{\varphi}{2} \right) \tag{1.-1}$$

أما محصلة الدفع العكسي فتعطى حسب الشكل (٤-٥) بالعلاقة التالية:

$$P_p = \frac{1}{2}K_p \cdot \gamma \cdot H^2 + 2cH\sqrt{K_p}$$

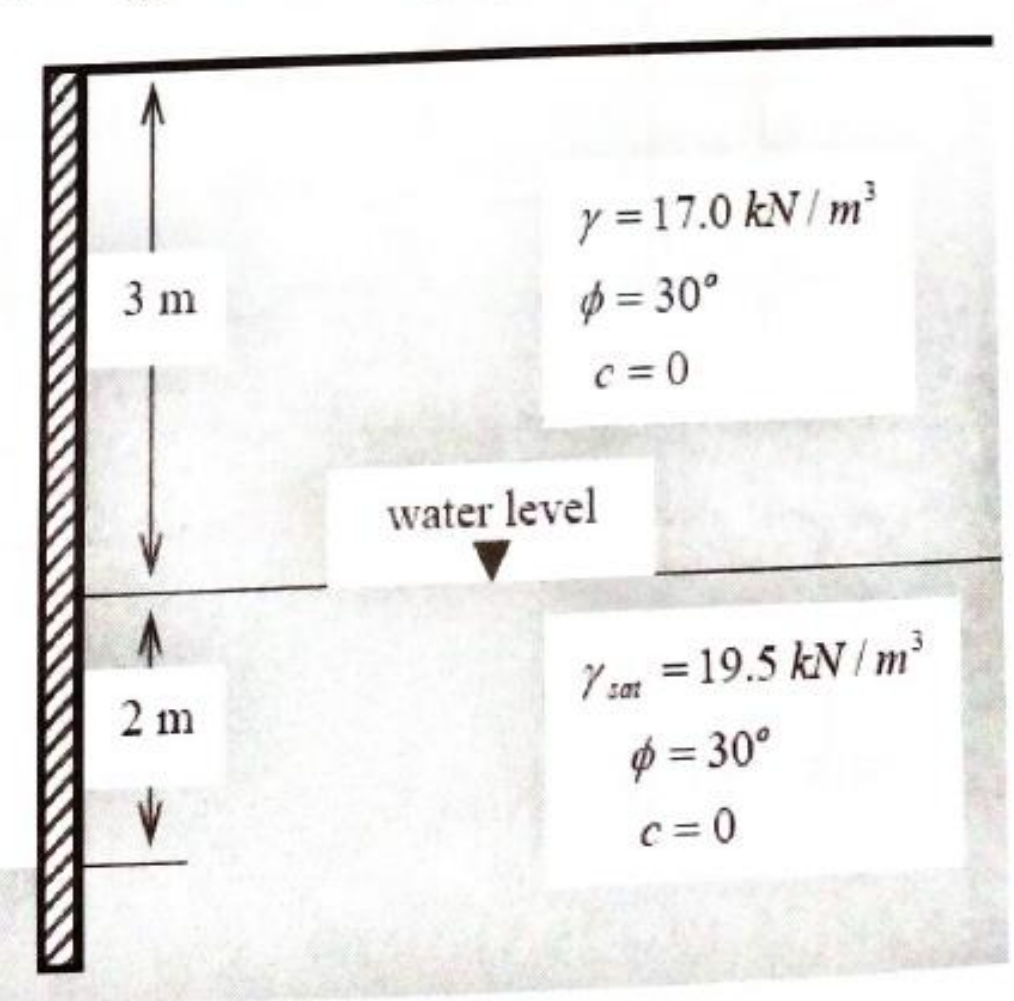


بمقارنة حالات الدفع الثلاثة التي تتعرض لها الجدران الإستنادية يتبين أن الإجهادات في التربة تضعف عندما يتحرك الجدار بعيداً عن التربة وتصبح σ_a وهي تزداد بشكل ملحوظ عندما يدفع الجدار التربة التي خلفه لتصبح قيمتها σ_b بينما تحافظ على قيمتها في حال السكون فتكون σ_b وهي الحالة التي لا يتحرك فيها الجدار أبداً، الشكل مين العلاقة بين حالات الدفع الجانبي للتربة.



مسألة (٤-١):

المطلوب حساب محصلة الدفع الجانبي للتربة الرملية في وضع الراحة للجدار الإستنادي الموضح في الشكل (٤-٧) وتعيين نقطة تأثير المحصلة.



الشكل (٧-٤) جدار استنادي في وضع الراحة

الحل:

 $K_0 = 1 - \sin \varphi$ يعطى معامل الدفع عند الراحة بالعلاقة $K_0 = 1 - \sin \varphi$ أي: 0.50 $K_0 = 1 - \sin 30 = 0.50$

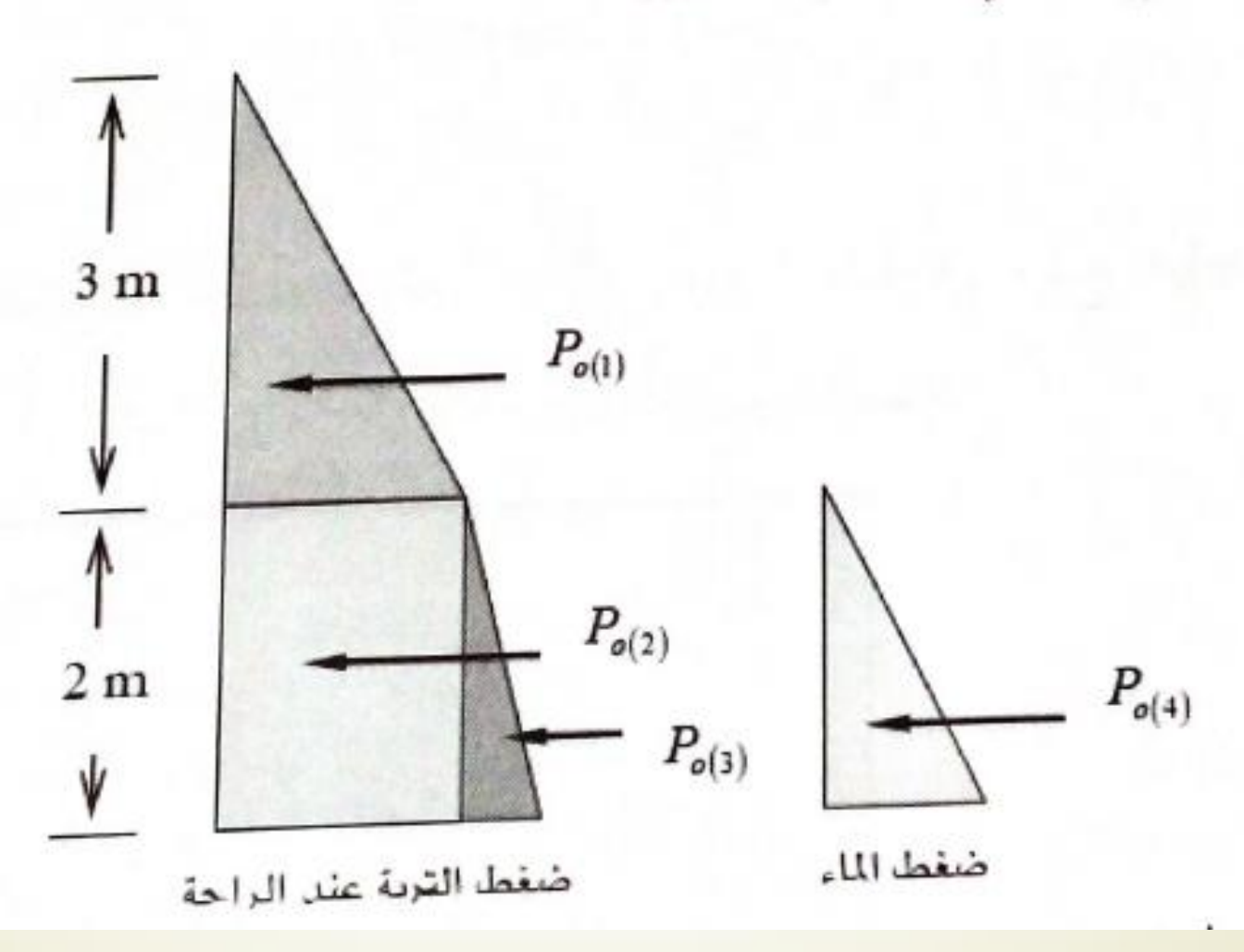
 $\sigma_0 = K_0 \cdot \sigma_v$: يساوي: H=3m عند العمق $\sigma_0 = K_0 \cdot \sigma_v$ يساوي: $\sigma_0 = 0.50 \times 17.0 \times 3 = 25.50 \text{ kN/m}^2$ وبالتالي: $\sigma_0 = 0.50 \times 17.0 \times 3 = 25.50 \text{ kN/m}^2$

• الدفع الجانبي عند العمق H=5m يساوي:

 $\sigma_0 = 0.50 \times 17.0 \times 3 + 0.50 \times (19.5 - 9.81) \times 2 = 35.19 \text{ kN/m}^2$

 $u = 9.81 \times 2 = 19.62 \text{ kN/m}^2$ ضغط الماء: •

وبتمثيل قيم الدفع الجانبي للتربة والماء يتبين:



تحسب قوى الدفع من حساب المساحات للمتر الطولي من الجدار كما يلي:

$$p_{0(1)} = \frac{1}{2} \times 3 \times 25.5 = 38.25 \text{ kN/m}$$

$$p_{0(2)} = 2 \times 25.5 = 51.00 \text{ kN/m}$$

$$p_{0(3)} = \frac{1}{2} \times 2 \times (35.19 - 25.5) = 9.69 \text{ kN/m}$$

$$p_{0(4)} = \frac{1}{2} \times 2 \times 19.62 = 19.62 \text{ kN/m}$$

وبالتالي فان محصلة قوى الدفع الجانبي في وضع الراحة:

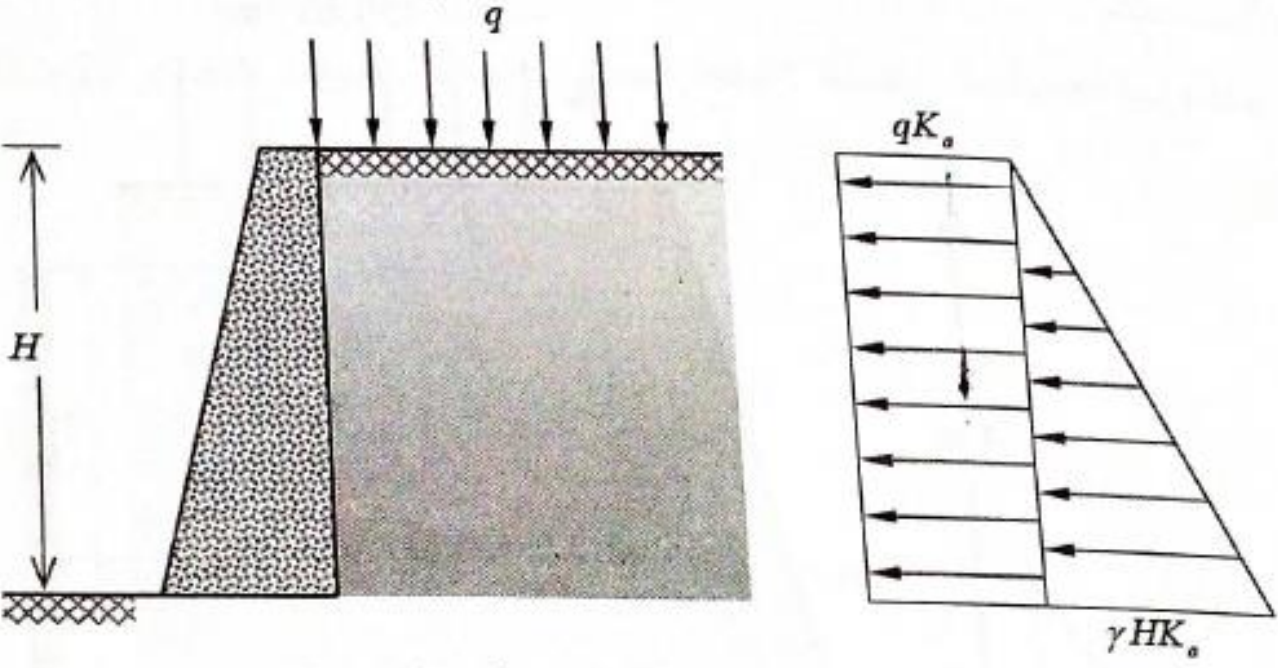
$$P_0 = P_{0(1)} + P_{0(2)} + P_{0(3)} + P_{0(4)}$$

= 38.25+51.00+9.69+19.62= 118.56 kN/m

ولتحديد نقطة تأثير المحصلة اعتباراً من أسفل الجدار:

$$h = \frac{38.25 \times \left(3 \times \frac{1}{3} + 2\right) + 51.00 \times \frac{2}{2} + 9.69 \times \frac{2}{3} + 19.62 \times \frac{2}{3}}{118.56} = 1.56m$$

ع-٦ دفع التربة في حالة وجود حمولات حية Surcharges:



الشكل (٤-٩) دفع التربة الفعلي. حالة حمولات حية

تتعرض التربة خلف الجدران الإستنادية أحياناً لحمولات قد تكون مركزة أو موزعة بانتظام q كما في الشكل q وتعطى قيمة الإجهاد الناظمي لنقطة على عمق q بالعلاقة التالية:

$$\sigma_{v} = q + \gamma \cdot z \tag{17-1}$$

ويحسب الدفع الفعلي بالعلاقة:

$$\sigma_a = (q + \gamma \cdot z) \frac{1 - \sin \varphi}{1 + \sin \varphi} = (q + \gamma \cdot z) K_a$$
 (\Y-\xi)

ومحصلة الدفع الفعلي:

$$P_a = \frac{1}{2} \gamma \cdot H^2 \cdot K_a + q \cdot H \cdot K_a \tag{1.4-1}$$

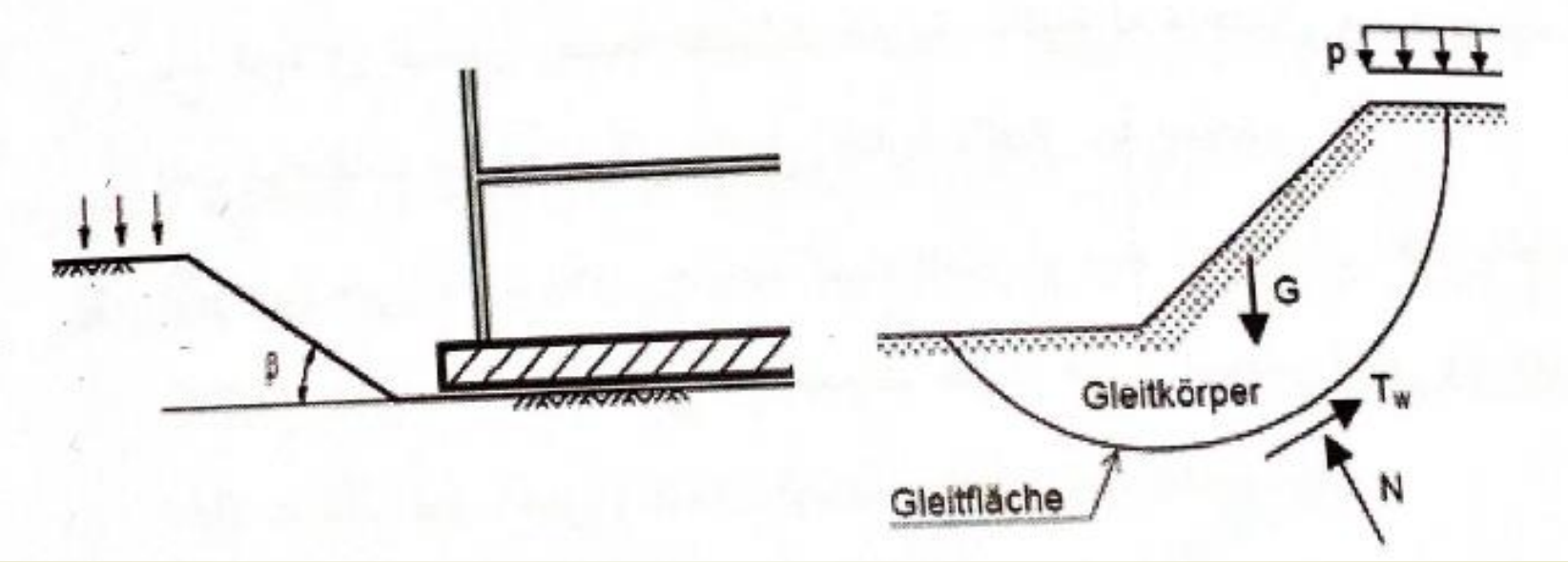
يتبين أن الإجهاد (الدفع) الناجم الحمولات الحية يبقى ثابتاً ولا يتغير مع العمق. و تكون محصلة الدفع العكسى:

$$P_p = \frac{1}{2} \gamma \cdot H^2 \cdot K_p + q \cdot H \cdot K_p \tag{19-5}$$

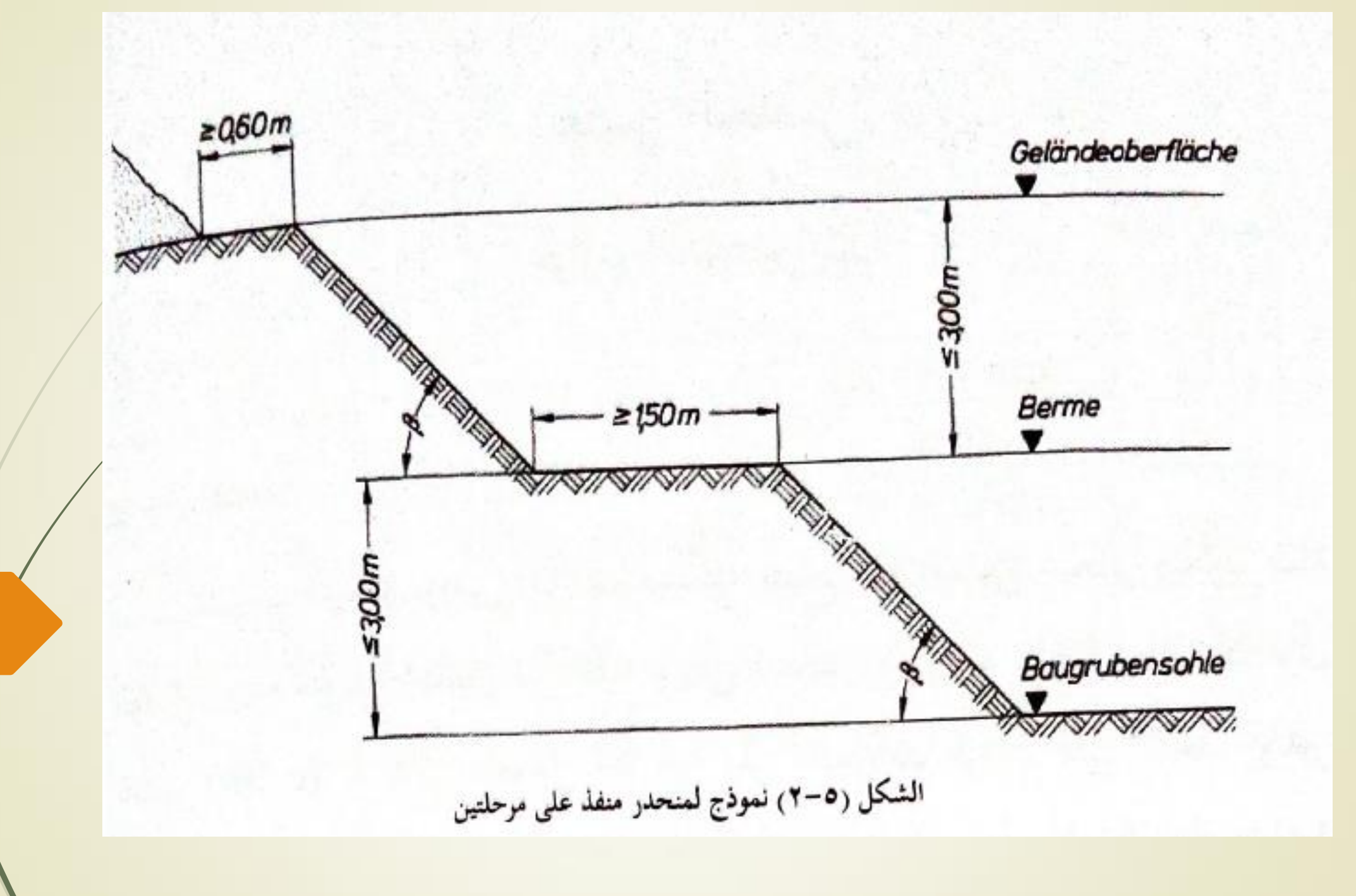
۲ • ۸

٥-١ مقدمة:

تتواجد التربة في بعض الحالات مشكلة سطح مائل يسمى منحدر ويكون صلة الوصل بين مستويين مختلفين من التربة ويبقى المنحدر في وضع استقرار طالما أن قوى القص (Φ، α) لم تتأثر بالعوامل الخارجية مثل الحمولات الزائدة على المنحدر وتغير منسوب البساط المائي فيه. يمكن للمنحدرات أن تكون طبيعية أو أن تكون اصطناعية بفعل الإنسان كما في حالة المنشآت ذات المنسوب المنخفض و مشاريع الطرق والسكك والجسور وغيرها..،الشكل (٥-١).



في المشاريع التي تحتاج فيها تنفيذ حفريات مثل مشاريع تمديد خطوط الصرف الصحي يتم اللجوء لتنفيذ حفريات طولية ذات جوانب مائلة (منحدرات) لحماية الجدران من الانميار ويجب أن تحقق شروطاً خاصة لتبقى في وضع الاستقرار حيث يتعلق ذلك بعمق الحفرية وزاوية ميل المنحدر ونوع التربة، وفي حالة الأعماق الكبيرة للحفريات يتم تنفيذ جوانب الحفرية من مجموعة منحدرات تفصل بينها مستويات أفقية لا تقل عن 1.5m كما في الشكل (٥-٢).



٥-٢ أشكال انهيار المنحدرات:

يمكن حصر العوامل المؤثرة على استقرار المنحدرات ضد الانهيار بما يلي:

التربة في المنحدر وطبيعة الطبقات الترابية المكونة له واحتمال وجود طبقات ذات مواصفات ضعيفة تشكل فواصل إجبارية الانهيار تربة المنحدر.

٢. تأثير المياه وهي إما أن تكون خارجية كمياه المطار أو مياه الري أو أن تكون داخلية كارتفاع منسوب البساط المائي أو حدوث جريان ضمن المنحدر الترابي وفي جميع الحالات تتأثر قوى القص وتضعف قيمتها وبالتالي مقاومتها.

717

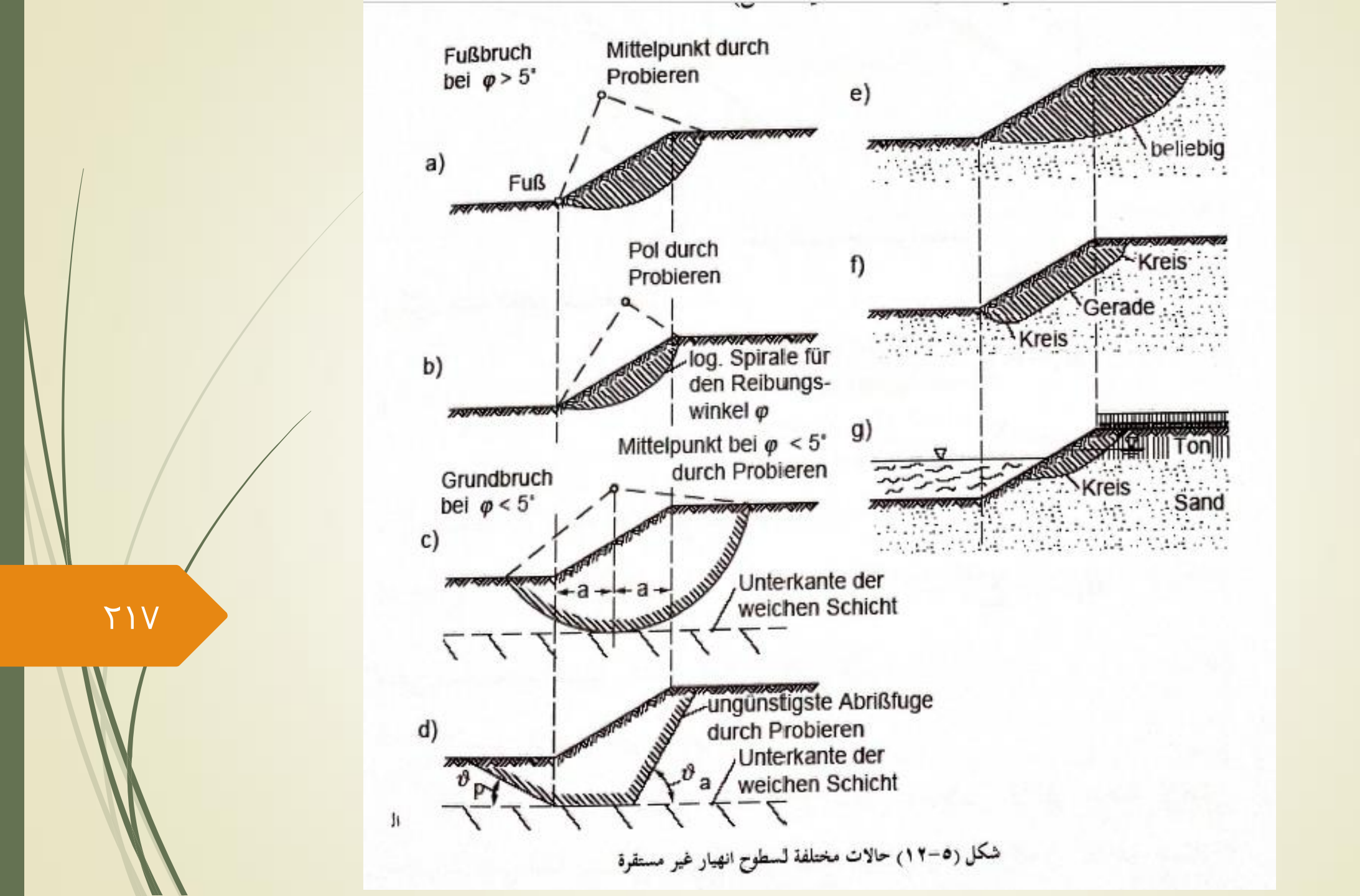
٣. الحمولات المطبقة خصوصاً الديناميكية منها كالحمولات الناجمة عن حركة الآليات الثقيلة بجانب المنحدر أو أعمال الحفريات وبناء المنشآت قرب المنحدرات بالإضافة للحمولات الناجمة عن الهزات الأرضية.

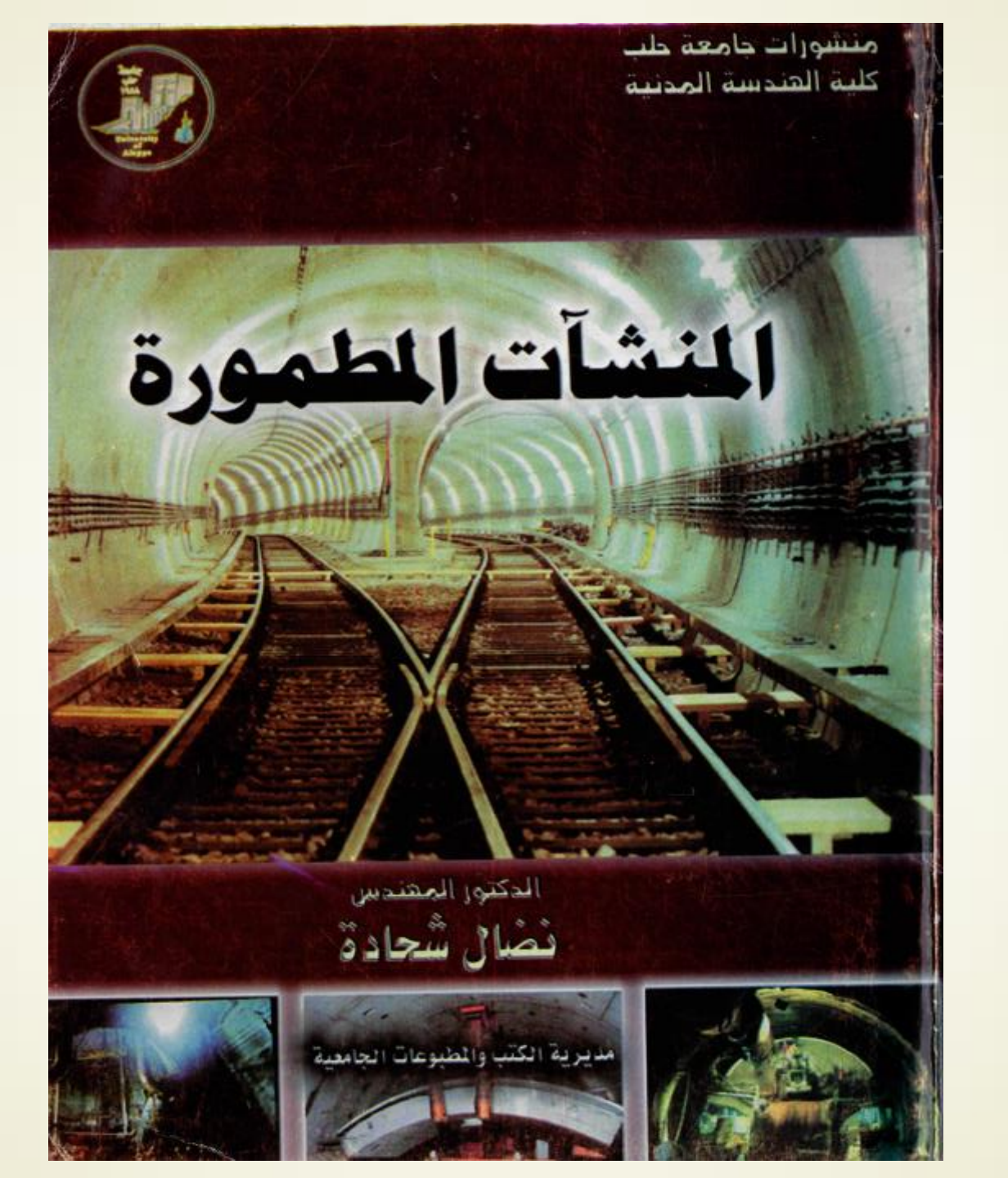
تختلف أشكال انحيار المنحدرات بحسب طبيعة كل منحدر وعموماً تأخذ سطوح الانحيار الأشكال الدائرية أو المنحنيات اللوغارتمية وأحياناً سطوح مستوية مع منحنيات، وحسب تايلور فان المنحدرات تنهار عندما تكون قيمة زاوية الاحتكاك الداخلية 0 > 0 بدون أية حمولات إضافية، يبين الشكل 0 > 0 أشكال الانحيار الشائعة.

٥-٣-٣ سطوح الانهيار الغير مستقرة:

يمكن من خلال الشكل (٥-١٢) عرض الحالات الأكثر عرضة لانحيار المنحدرات والتي تبدأ بتشكل سطوح انحيار مختلفة فيما بينها ومشتركة في أنحا غير مستقرة وستؤول إلى الانحيار، وهذه الحالات هي:

- سطح انحيار دائري يصل لقاعدة المنحدر
- سطح انهيار دائري بسبب ضعف قوى الاحتكاك وتغلب قوى التماسك
 - سطح انحيار دائري محدود لا يصل لقاعدة المنحدر
 - سطح انهيار لوغاريتمي يصل لقاعدة المنحدر (نادر الحدوث)
 - سطح انهيار مركب دائري ومستوي
 - سطح انحيار مستوي محدد بطبقة ضعيفة
 - سطح انهیار منحنی (یمکن أن یأخذ أي شكل)



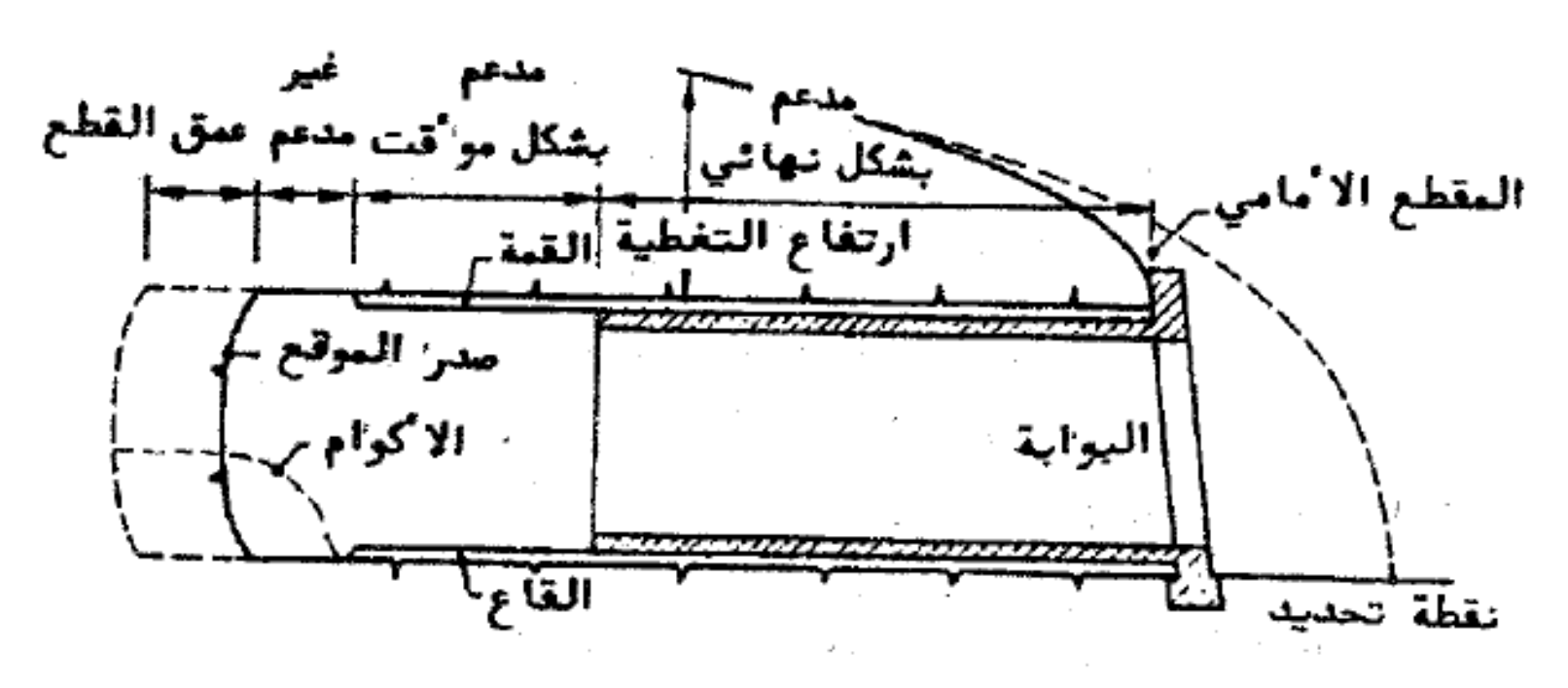


بمكن تعريف "المنشآت المطمورة" بأنها جميع المنشآت التي تنفذ تحت سطح الأرض مهما كانت أبعادها أو الغرض من استحدامها، وبغض النظر عن طريقة تنفيذها ومن المهم التمييز بين طريقتين أساسيتين في تنفيذ المنشآت المطمورة هما: . الطريقة المغلقة: حيث يتم تنفيذ المنشأة في هذه الطريقة بواسطة الحفر ضمن الجبل أي تحت سطح الأرض الطبيعية، سواء كانت عمليات الحفر بالتفجير أو بالطرق الآلية (الشكل ١.١)٠

ب . الطريقة المفتوحة (المكشوفة): حيث يتم تنفيذ المنشأة في هذه الطريقة من خلال تنفيذ حفرية مكشوفة (خندق) ابتداءً من سطح الأرض الطبيعية، وبعد ذلك تنفذ المنشأة على قاع الحفرية ثم يتم ردمها (الشكل ١٠٠١):

١ . ٣٠ المصطلحات المستخدمة في بناء المنشآت المطمورة

يتضمن الشكلان (١ .٤ و ١ .٥) بعض المصطلحات الأساسية المستخدمة في مجال بناء المنشآت تحت الأرضية من خلال مقطع طولي في نفق أثناء التنفيذ ومن خلال مقطع عرضي تقليدي.



شكل (٢. ١) مقطع طولي في نفق في طور الإنشاء

77.

الحبال (١)

نه هو مجموعة الروابط الصخرية للمادة الواقعة في محيط النفق سواء كان النفق ضمن حبل بالمفهوم العام أو تحت الماء أو ضمن المدن أي أن هذا المفهوم يطلق على المادة التي سينفذ ضمنها النفق مهما كان نوعها.

الضغط الجبلي (٢) : هو القوى التي يظهر تأثيرها عند فتحة النفق مباشرة·

ص . در الموقد ع : هو المقطع العرضي المغلق الذي سيتعرض للإغارة ·

الإغارة (أو الاقتحام) : هي عمليات الحفر والتفحير والتهوية والترحيل:

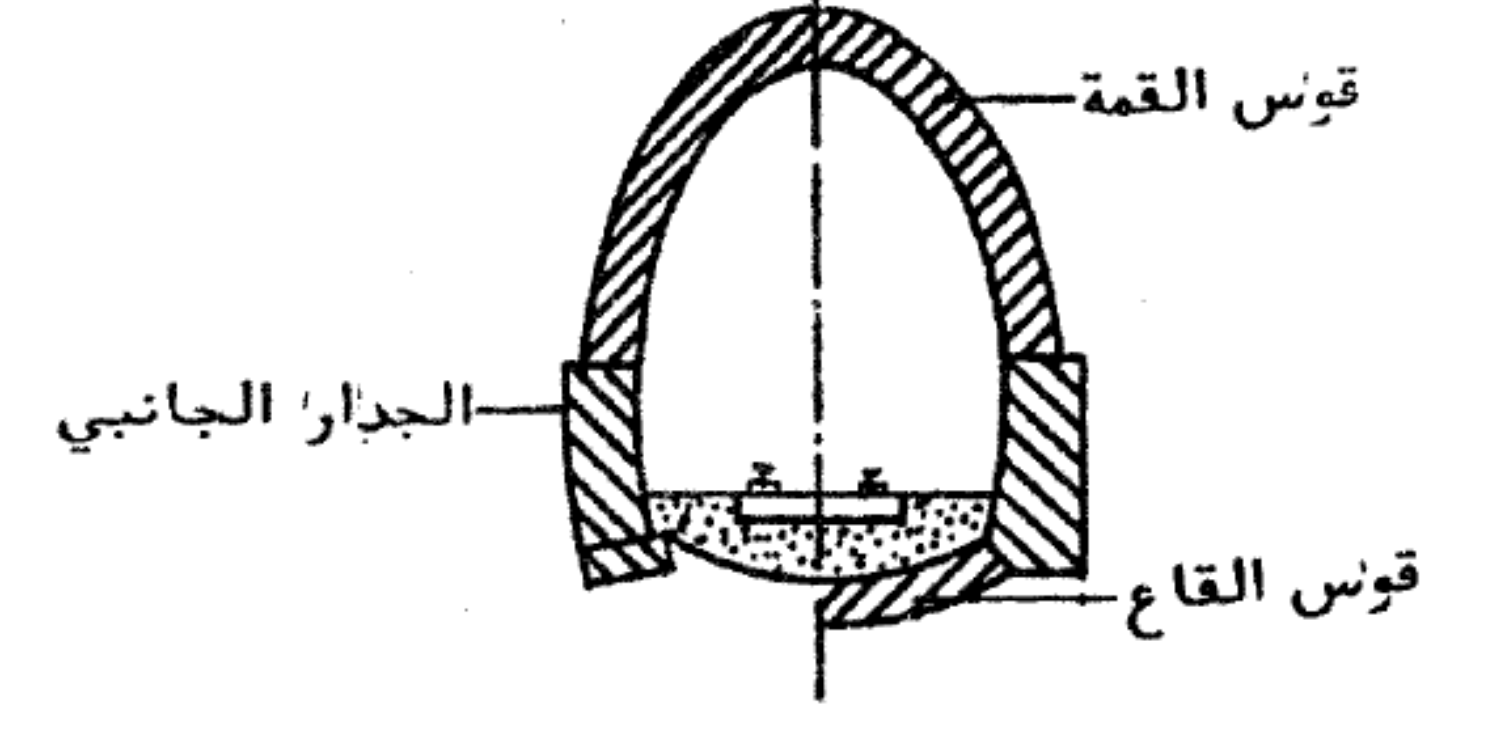
القد على عملية التقدم في كل إغارة القدم في كل إغارة

القد مد من قطع الفتحة على السطح العلوي لمقطع الفتحة

ال قد ماع (أو القد ر) : هو السطح السفلي لمقطع الفتحة ·

الة رح يه . . ل عملية نقل الكتل الناجمة عن فتح المقطع من أمام صدر

الموقع



شكل (١ .٥) مقطع عرضي في نفق موضحاً عليه عناصر الكسوة

الة هوي . ة : عملية سحب وضخ الهواء من أجل الحفاظ على صدر الموقع نقياً من الغبار ·

كسوة (بطانة) النفق : يقصد بها مادة البناء التي تعطي للمقطع العرضي للنفق شكله النهائي وتتألف عادة من قوس القمة والجدران الجانبية وقوس القاع، ويمكن أن تكون من الأحجار أو القرميد أو البيتون البيتون الخ

ويمكن تعريف زمن الصمود ^t بأنه الزمن الذي يستطيع أثناءه الجبل بالصصود (عدم الانحيار) ابتداءً من لحظة حفره وحتى لحظة تدعيمه و بتعبير آخر فان زمس الصمود هو الزمن الفاصل بين لحظة شق النفق وانحياره (دون وجود تدعيم) .

20 y. 6 mon. 1 w. 5 h. 20 min. 2 min. 10 s.

| الوصف | معد الجل |
|-----------------|----------|
| ثابت (مقاوم) | A |
| تصدعي | В |
| شديد التصدع | C |
| تكسري | D |
| سريع التكسر | E |
| انضغاطي | F |
| عالي الانضغاطية | G |

١. ٥. ٢ . تدعيم المنشآت تحت الأرضية بواسطة بيتون الرش

إن تدعيم (تبطين) المنشآت تحت الأرضية بواسطة بيتون الرش أو م ايمكن تسميته بالبيتون المقذوف (Shotcrete) يعتمد على رش البيتون على السطح الخارجي للتحاويف الجبلية دون استخدام قوالب معينة .

ويتكون بيتون الرش من مزيج من الاسمنت ومواد مضافة ذات حجوم حيات محددة وكذلك الماء ويمكن إضافة مواد أخرى حسب الضرورة، أي أن تركيبه يشابه تماماً لتركيب البيتون العادي وفي حالات خاصة يتم استخدام تعبير ملاط الرش

۲۰ ۲۰ تعریف

من أجل دراسة الإجهادات في الجبال لابد من التنويه إلى حالتين أساسيتين:

أ حالة الإجهادات الأولية (الابتدائية) (Primary stresses condition)

وتعرف بأنها حالة الإجهادات السائدة في الجبال المتوضعة طبيعياً أي قبل
التعرض لها بعملية شق نفق أو منشأة تحت أرضية

ب . حالة الإجهادات الثانوية (التالية) (Secondary stresses condition) وتعرف بأنها حالة الإجهادات التي تنشأ في الجبال نتيجة عمليات الحفر التي تتعرض لها.

779

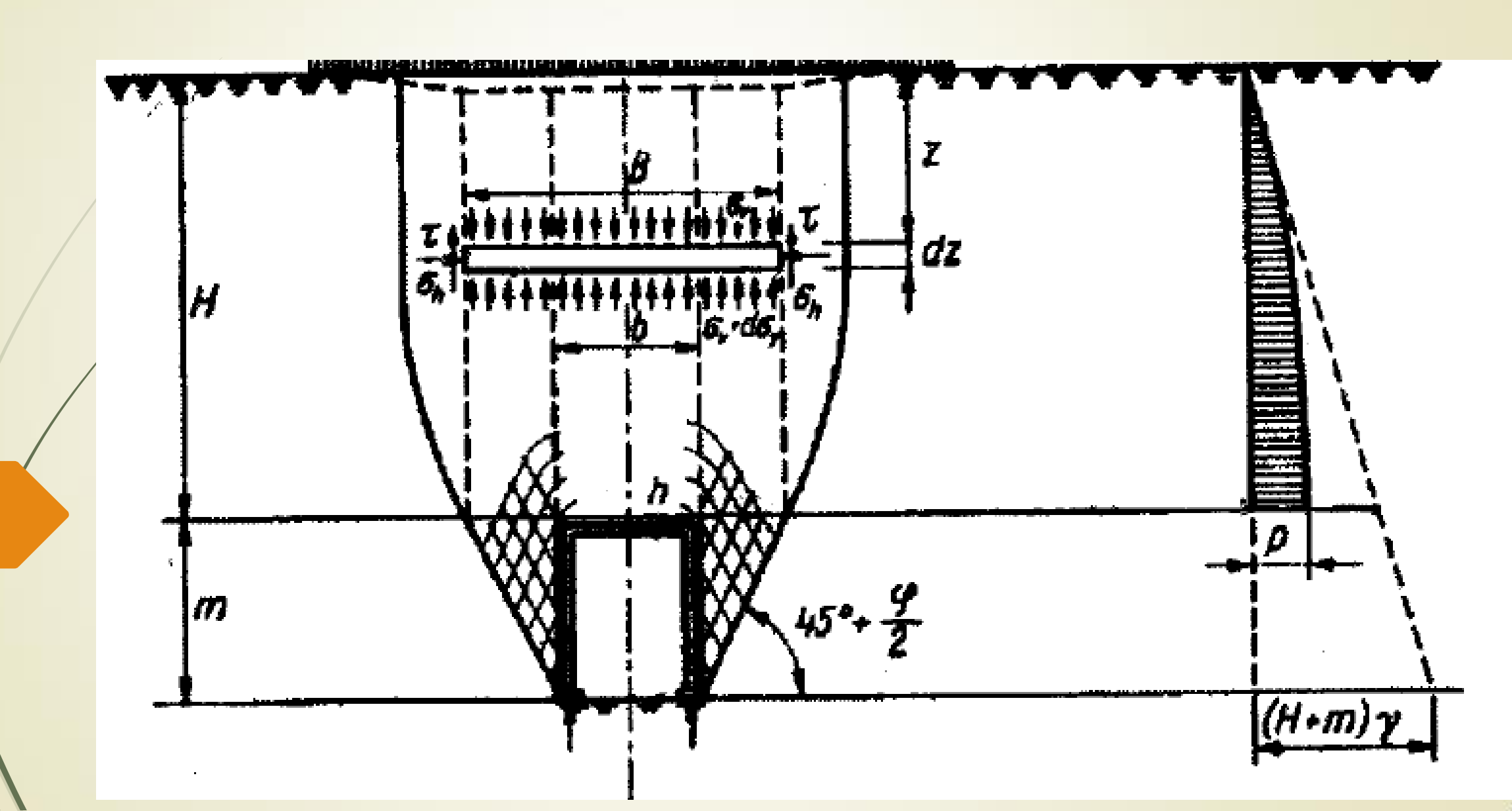
إن تزايد الإجهادات يجب أن يؤخذ بعين الاعتبار في محال المنشآت تحت الأرضية المستقبلية في حالة ارتفاعات التغطية القليلة أما في الأعماق الكبيرة فيمكن إهمال هذا التزايد على ارتفاع المنشأة بالمقارنة مع قيم الإحهادات ٢٠ و ٩٠ وبذلك تكون المعالجة النظرية للمنشآت العميقة الواقعة في الأعماق الكبيرة معتمدةً على شرط أساسي وهو أن حالة الإجهادات الأولية في محال المنشأة تكون ثابتة في كل نقطة منها، بحيث تؤخذ قيمة الإجهاد الأساسي p_v عند قمة المنشأة ويتم تعميمها بالنسبة للمحور الأفقى ولقعر هذه المنشأة ا

الضغوط على المنشآت المنفذة بالطريقة المغلقة

يتأرجح مقدار الضغط الجبلي بين قيمتين حديتين هما الضغط الجيوستاتيكي الكلي، وقيمة الصفر في الصخر الشديد الثبات

إن التحديد الأدق للضغوط يكون فقط من نصيب الضغط الثقلي الكلي (الضغط الجيوستاتيكي) والذي يحسب ببساطة من ثقل الطبقات الواقعة فوق النفق ولكن هذا الأمر يتعلق فقط بالأنفاق القريبة جداً من سطح الأرض الطبيعية و

۲٣،



ومن الطبيعي أن يتم تحديد كتلة التربة الهابطة عند قمة النفق (أو الممر تحت الأرضي) اعتماداً على الزاوية ? في والتي تمثل ميل سطح الانزلاق لدفع التربة الفعلي ...
الفعلي ...

وهكذا فإن عرض كتلة التربة الهابطة يبلغ حسب الشكل (٤ ٤):

$$B = 2\left[\frac{b}{2} + m \cdot tg\left(45 - \frac{\varphi}{2}\right)\right]$$

الضغط الجبلي الشاقولي يتكون من جزئين، يتحدد الجزء

الأول منه بارتفاع التربة الذي يخضع لفعل التقوس $^{\rm H_2}$ ، أما الجزء الثاني فيتحدد بالارتفاع المتمم له حتى سطح الأرض الطبيعية $^{\rm H_1}$ (شكل $^{\rm H_2}$. $^{\rm o}$

 $H = H_1 + H_2$

شكل (٤. ٥) تحول الضغوط الجبلية في الاعماق الكبيرة حسب ترزاكي

$$\sigma_{v} = \frac{B(\gamma - \frac{2C}{B})}{2k \cdot tg\varphi} (1 - e^{-k \cdot tg\varphi \frac{2Z}{B}}) + q \cdot e^{-k \cdot tg\varphi \frac{2Z}{B}}$$

$$(1 \cdot . \cdot \xi)$$

تمثل المعادلة (٤ .٠٠) الشكل العام لمعادلة ترزاكي والمعممة على كافة أنواع الترب كما ورد ذكره في بداية شرح النظرية ·

عندما تكون الترب خشنة والتماسك معدوم يكون:

$$p_v = \frac{\gamma \cdot B}{2k \cdot \lg \varphi} (1 - e^{-k \cdot \lg \varphi} \frac{2H_2}{B}) + \gamma \cdot H_1 \cdot e^{-k \cdot \lg \varphi} \frac{2H_2}{B}$$
 (\gamma_v.\xi\)

 $H_2 = 2.5 * B$

قيمة الضغط الجبلي على الأنفاق الواقعة في الأعماق الكبيرة جداً تستقر مع مرور الزمن لتأخذ القيمة النهائية :

$$p_{\text{max}} = \frac{\gamma \cdot \mathbf{B}}{2\mathbf{k} \cdot \mathsf{tg}\varphi} \tag{12. } \xi$$

وفي هذه الحالة الخاصة فقط يمكن ملاحظة أن الضغط الشاقولي على النف ق لم يع د متعلقاً بارتفاع التغطية ·

في البداية يتوجب حساب قيمة
$$\frac{B}{a}$$
 التي تعطى بالعلاقة
$$B=b+2m\ .\ tg\ (\ 45-\frac{\phi}{2})$$

من أحل حساب الأعماق التي يتم ضمنها تعرض المنشآت تحت الأرضية بشكل عام إلى الضغط الجيوستاتيكي (γ · H)، يؤخذ عمق المقارنة بمقدار γ · B · γ · B · γ · المنط المعط المعط المعط المعط المعط المعط المعلق المعلق

$$P_{\nu} = (7. H) - H < 2.5*B$$

$H_1=0$

التوتر سوف يصل ضمن التربة الواقعة فوق الممر

حتى سطح الأرض الطبيعية.

وبتطبيق معادلة ترزاكي (١٢. ٤)

$$p_{v} = \frac{\gamma \cdot B}{2K \cdot tg\phi} \left(1 - e^{-k \cdot tg\phi} \frac{2\Pi}{a} \right)$$

777

 $H=H_2=2.5*B$

$H = H_1 + H_2$

التوتر لا يصل إلى السطح الطبيعية:

$$p_{\nu} = \frac{\gamma \cdot B}{2k \cdot tg\phi} \left(1 - e^{-k \cdot tg\phi} \frac{2H_2}{B}\right) + \gamma \cdot H_1 \cdot e^{-k \cdot tg\phi} \frac{2H_2}{B}$$

777

H > 2.5*B

$H_2 < 0.20$. H في حالة

فسوف تزداد قيمة $^{\rm H2}$ لتصل إلى $^{\rm H}$ وبالتالي سوف تستقر قيمة الضغط عند القيمة الواردة في المعادلة (٤ ـ ١٤٠).

$$p_{\text{max}} = \frac{\gamma \cdot \mathbf{B}}{2\mathbf{k} \cdot \mathsf{tg}\varphi} \tag{15. 5}$$

$$P_{v}=(\gamma, H)$$

$$H < 2.5*B$$

$$p_{v} = \frac{\gamma \cdot B}{2K \cdot tg\varphi} \left(1 - e^{-k \cdot tg\varphi} \frac{^{211}}{^{3}}\right)$$

$$H=2.5*B$$

$$p_{v} = \frac{\gamma \cdot B}{2k \cdot tg\phi} (1 - e^{-k \cdot tg\phi} \frac{2H_{2}}{B}) + \gamma \cdot \Pi_{i} \cdot e^{-k \cdot tg\phi} \frac{2H_{2}}{B} \longleftarrow H > 2.5*B$$

72.

$$p_{\text{max}} = \frac{\gamma \cdot \mathbf{B}}{2\mathbf{k} \cdot \mathsf{tg}\boldsymbol{\varphi}}$$

0.2*H>2.5*B

اعتماداً على المعادلة (1 · · ·) والشرط الحدي (z = H) وبالأخذ بعين الاعتبار أن q = 0 فإنه يتم الحصول على معادلة تصلح من أحل حساب الضغط الشاقولي على نفق منفذ في تربة متماسكة وذلك على الشكل التالي:

$$p_{v} = \frac{B\left(\gamma - \frac{2C}{B}\right)}{2k \cdot \lg \varphi} \left(1 - e^{-k \cdot \lg \varphi} \frac{2H}{B}\right)$$
(10. £)

ويلاحظ من العلاقة أن الضغط الجبلي لن ينشأ عندما تكون $\frac{2C}{B}$ وبتعبير $\frac{2C}{1}$ وتعبير آخر عندما تكون $\frac{2C}{\gamma}$

إن إنشاء الأنفاق في حبال الألب كان الحافز الرئيسي للباحث بيرباومر لكي يضع نظريته الشهيرة والتي تنص على أن النفق يتعرض للإجهاد بموجب كتلة جبلية محددة بقطع مكافئ يساوي ارتفاعه $^{\rm h}$ نسبة معينة من ارتفاع التغطية الكلي $^{\rm H}$, ويعطى بالعلاقة $^{\rm h}$ حيث تمثل $^{\rm a}$ عامل التخفيض (شكل ٢٠ ٢٠).

وسوف يكون الضغط في هذه الحالة مساوياً للقيمة: (٢. ٤)

 $p = \alpha \cdot H \cdot \gamma$

٤ . ١. ٢. ١ التحديد التقريبي للضغوط الجانبية

يمكن تحديد الضغط الجانبي بشكل تقريبي وحسب مفاهيم دفع التربة كذ التج لضغط القمة أو الضغط الجيوستاتيكي مضروباً بعامل دفع التربة الجانبي .

إن نتائج دراسات ^{STINI} تقضي بأن الضغوط الجانبية تصل إلى حوالي ^{1/3} أو

1/4 من قيمة الضغط الشاقولي

نمي الصخور عالية التماسك لا ينشأ أي ضغط جانبي

من المفترض نظرياً أن يظهر ضغط القعر على شكل صورة معكوسة لضغط القمة كرد فعل يجهد النفق من الأسفل عندما يكون المقطع العرضي للنفق مغلقاً (في حالة وجود قوس القعر) · ولكن هذا الأمر لا يتحقق بسبب التأثير المشترك للكتل الجبلية المحيطة بالنفق وغالباً ما تكون قيمة ضغط القعر أقل من ضغط القمة. ويذكر ترزاكي بناءً على خبرته أن ضغط القعر يبلغ بشكل تقديري نصف قيمة ضغط القمة بينما يبلغ الضغط الجانبي ثلث هذه القيمة .

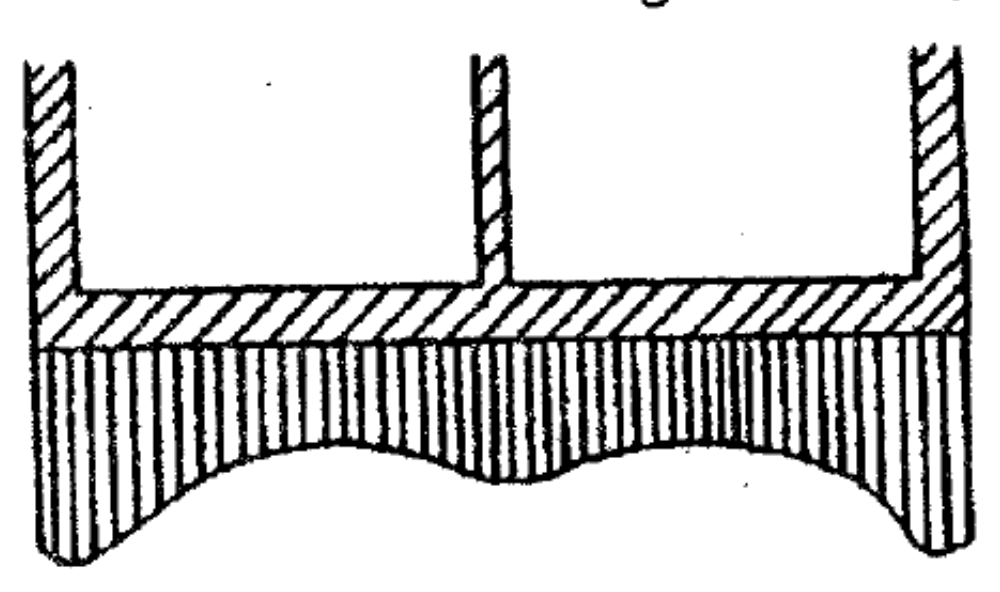
تعتمد هذه الطريقة على شق النفق باستخدام أسلوبين هما أسلوب الثقب (الحفر) والتفجير وأسلوب التقدم الآلي. وقد بدئ باستخدام أسلوب التفجير منذ القرن السابع عشر ولازال منتشراً حتى يومنا هذا، أما أسلوب التقدم الآلي فلم يبدأ استخدامه إلا في عام ١٩٦٠ وعلى الرغم من أن شق النفق بالطريقة الآلية يقدم فوائد عدة بالمقارنة مع أسلوب الثقب والتفجير وعلى الرغم من انتشاره المتزايد في المحال العملي إلا أن الحاجة لاستحدام أسلوب الثقب والتفجير تطغي عليه في بعض الأحيان

دراسة المنشآت وتنفيذها بالطريقة المفتوحة

الضغط الشاقولي يؤخذ من وزن الطبقات فوق النفق، أما الدفع الجانبي يؤخذ نسبة من الضغط الشاقولي كالعادة

٧ . ٤ . ٢. ٢. ضغط القعر

يتعلق ضغط القعر في المنشآت المنفذة بالطرية له المفتوح له بصلابة المنشأة والأرضية التي تستند عليها وعادةً ما يتركز الضغط تحت الجدران الخارجية وبشكل والأرضية الجدران الوسطية (الشكل ١٩٠٧).



شكل (١٩.٧) تمركز الضغوط تحت فاع المنشأة

YZV

وفي الواقع العملي يمكن اعتماد بعض الحسابات التقريبية البسطة من أجل تحديد قمة ضغط القعر وشكل توزعه تحت المنشأة وفي هذا الشأن يمكن أن تلح ظ أرب مح حالات مختلفة لحساب ضغط القعر وتوزعه وفقاً لعرض المنشأة، وذلك كما يلي:

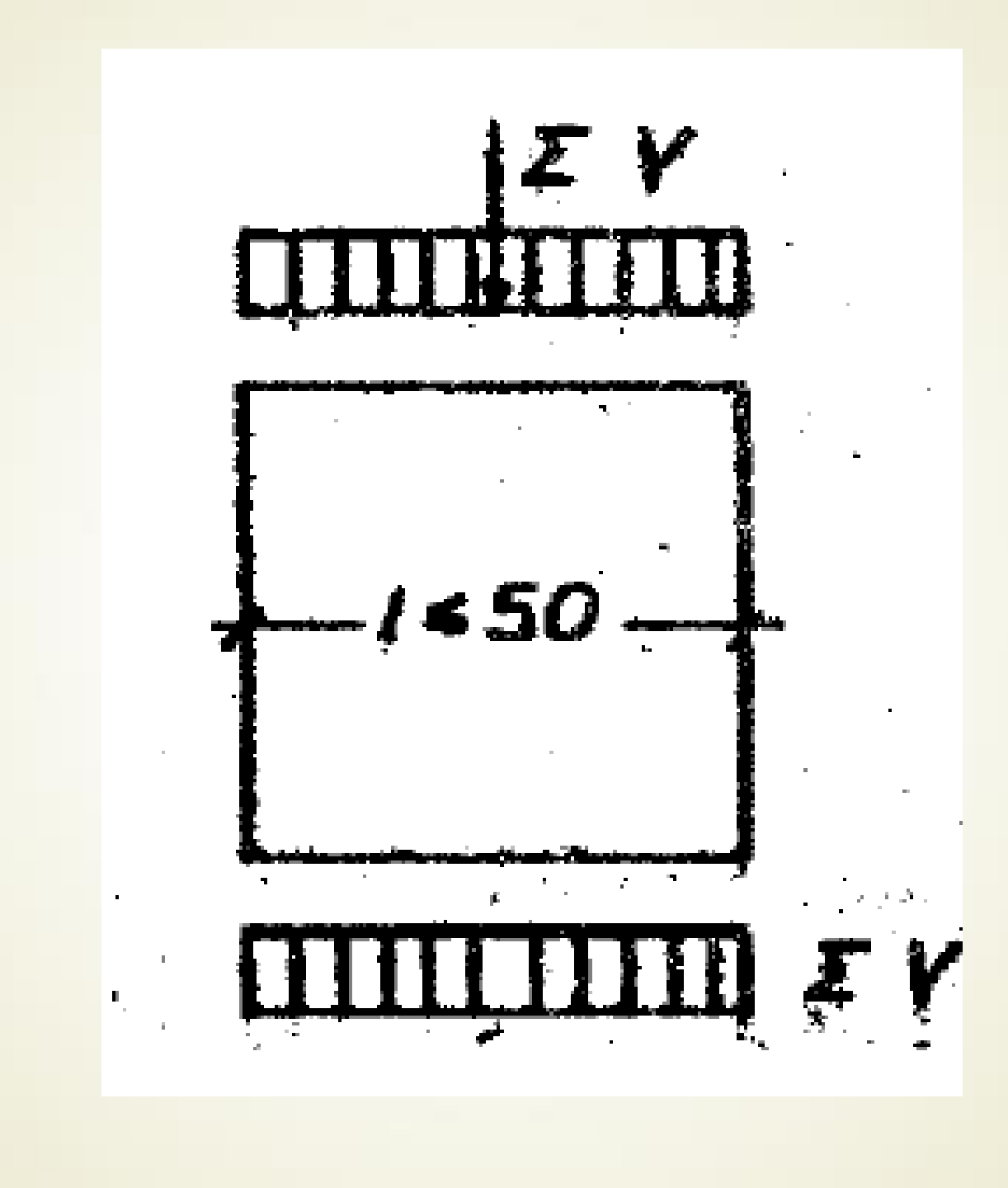
أ. عرض المنشأة أقل أو يساوي 5m ويمكن اعتبارها حالة نفق بخط سكة وحيد على سبيل المثال وفي مثل هذه الحالة يعطى الضغط بالقيمة والتوزع الواردين في الشكل (٢٠.٧).

٢٠ عرض المنشأة أقل أو يساوي 10m، ويمكن اعتبارها حالة نفق بخطي سكة حديدية على سبيل المثال وفي مثل هذه الحالة يعط ى الضعط بالقيمة والتوزع الواردين في الشكل (٢١٠٧)، حيث يمكن اعتماد أحد الحلين الواردين في الشكل (٢١٠٧)، حيث يمكن اعتماد أحد الحلين الواردين في الشكل (٢١٠٧)، حيث يمكن اعتماد أحد الحلين الواردين في الشكل المشكل (٢١٠٥)

' عرض المنشأة أقل أو يساوي ^{15m} ومدعمة وفي مثل هذه الحالة تكون المنشأة مدعمة في الوسط ويعطى فيها الضغط بالقيمة والتوزع الواردين في

الشكل (۲۲. ۷)

ع. عرض المنشأة أكثر من ^{15m} مهما كانت طبيعة الدعم الوسطي، وفي مثل هذه الحالة يحسب التوزع الحقيقي للضغط ويكون توزعه كما هو وارد في الشكل (٢٣. ٧).



70.

